

土木研究所資料

滝坂地すべり調査報告書

昭和61年9月

建設省土木研究所
新潟試験所

「Copyright © (1986) by P, W, R, I.

All rights reserved, No part of this book may be reproduced by any means, nor transmitted, nor translated into a machine language without the written permission of the Director General of P, W, R, I.

この報告書は、土木研究所長の承認を得て刊行したものである。したがって、本報告書の全部又は一部の転載、複製は、土木研究所長の承認を得ずしてこれを行ってはならない。」

滝坂地すべり調査報告書

新潟試験所 吉松 弘行
近藤 政司
丸山 清輝

要旨

地すべりの調査方法、防止工法についての明確なガイドとなる基準がまだ確立されていないことから、効率良く効果的な地すべり防止工事を行うのに苦慮している現状にある。このため、全国的に広く分布する地すべりの中からモデル地域を選び地すべりの状況調査を行い、調査方法、防止工法の基準化を進めている。滝坂地すべりはこの一環として、第三紀緑色凝灰岩地域における大規模な深層岩すべりのモデル試験地として(1)地質調査 (2)移動量調査 (3)地下水位調査 (4)すべり面調査 (5)土質試験 を実施したものである。この資料は、先の地すべり調査結果をもとに(1)地すべり運動特性 (2)地すべり発生機構 (3)防止工事の効果判定 について考察を行った。

キーワード：第三紀層地すべり、調査方法、地すべり運動特性、防止工事効果判定、発生機構

滝坂地すべり調査報告書

まえがき

地すべりの分布は、その地域の地質あるいは地質構造と密接に関連し、特定の地域に集中している。なかでも、東北、北陸地方は新第三紀層の黒色泥岩、凝灰岩が広く分布し地すべり多発地帯となっている。滝坂地すべりは、福島県西部の地すべり多発地帯にあって、明治初期に活動を開始して以来、一級水系阿賀川に向かって移動を続けており、この間に一部落と田畑の壊滅をみ、阿賀川に多量の土砂を押し出している。

本地すべりは、わが国においても規模が最大級の地すべりであり、これまでに、幾多の調査¹⁾²⁾、防止工事が実施されてきた。この報告は、滝坂地すべりを第三紀緑色凝灰岩地域における大規模な深層岩すべりのモデル試験地として、地すべりの運動特性及び地下構造を把握し、有効且つ適切な防止工法をみい出すことを目的に、調査及び観測を実施したものである。

本資料は、昭和54年度から昭和60年度まで、福島県土木部砂防課及び新潟試験所で実施したボーリングによる地質調査、すべり面調査、地下水位調査、移動量調査、すべり面の土質試験等の結果³⁾⁴⁾を検討し、大規模な深層岩すべりの地すべり機構及び特性と調査方法、防止工事の効果判定について検討したものである。

今後、類似の地すべり調査、及び防止工事を行う技術者の参考になれば幸いである。

最後に、本調査を行うにあたり、御援助下さった福島県土木部砂防課、ならびに喜多方建設事務所の方々、また新潟試験所歴代の所長、及びいろいろ御手伝い下された新潟試験所の皆様に厚く感謝いたします。

昭和61年9月

新潟試験所 吉松 弘行
近藤 政司
丸山 清輝

目 次

1. 地すべりの概要	1
2. 地すべり調査	3
2.1 地質調査	3
2.2 移動量調査	16
2.2.1 航測による方法	16
2.2.2 移動杭による方法	20
2.2.3 移動計による方法	21
2.3 地下水位調査	28
2.4 すべり面調査	70
2.5 土質試験	72
3. 地すべり運動特性	73
4. 地すべり発生機構	75
5. 安定解析	81
6. 地すべり対策	82
6.1 防止工事の効果判定	82
6.1.1 防止工事前後の地下水位と移動量の変化	82
6.1.2 降雨と地下水位のモデル化	87
あしがき	92
参考文献	92

1. 地すべりの概要

滝坂地すべりは、図-1に示すように福島県西部の新潟県との県境に近い国鉄盤越西線上野尻駅の西方約2kmの、1級水系阿賀川の右岸に面する福島県耶麻郡西会津町滝坂地区に位置している。

当地区は、図-2に示すように北方の飯豊山塊からの支尾根の一部であり、標高約350m前後の山地が20~30°の勾配で阿賀川に向けて降下している。滝坂地すべりは、円弧上に曲流する阿賀川に耳たぶ状に接し、阿賀川は、当地区上流部では段丘を伴う広い河谷平野を形成し、下流部では、いわゆる先行谷となってV字谷を形成している。このため、洪水時には水位上昇が著しい状態となり、地すべり末端部が水没及び侵食の受け易い状況になる。

地すべり境界は、北部では山稜を越えて反対側山腹斜面に、東部はほぼ山稜沿いに、南部は笹川に、西部は阿賀川に接している。地すべり防止区域は、南北約2,100m、東西約1,300m、面積147haである。

地すべり地内の地形は、全体として南北の方向性を示す稜線群とその間の沢地形とが帯状に配列し、北部においては、地すべり頭部の稜線を横切るように、藤田ほかの提唱する平行正断層型亀裂（地すべり冠頭部や下流部の崩積土のやや盛り上がった部分に発達する亀裂）及び交差正断層型亀裂（平行正断層型亀裂の下流側に平行正断層型亀裂と対をなして発達する亀裂）⁵⁾が存在している。南部においては、東側の標高300m前後の稜線から西側の阿賀川に向けて、陥没地及び70m前後の一次滑落崖が存在し、徐々に下降している。地すべりのほぼ中央部には、

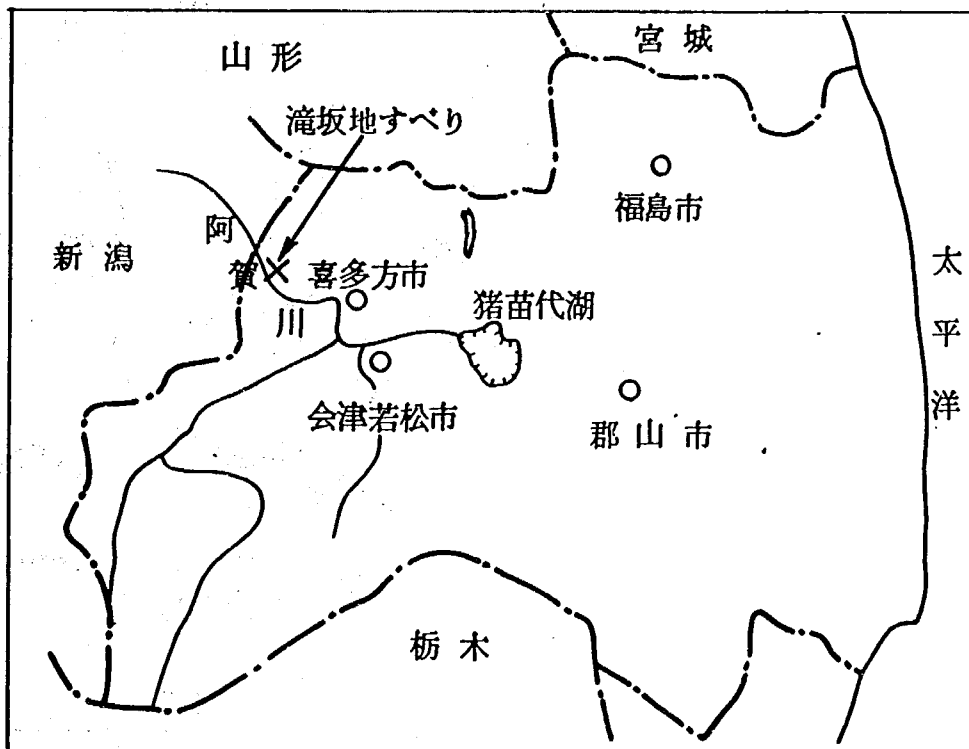


図-1 位置図

滝坂地すべり平面図

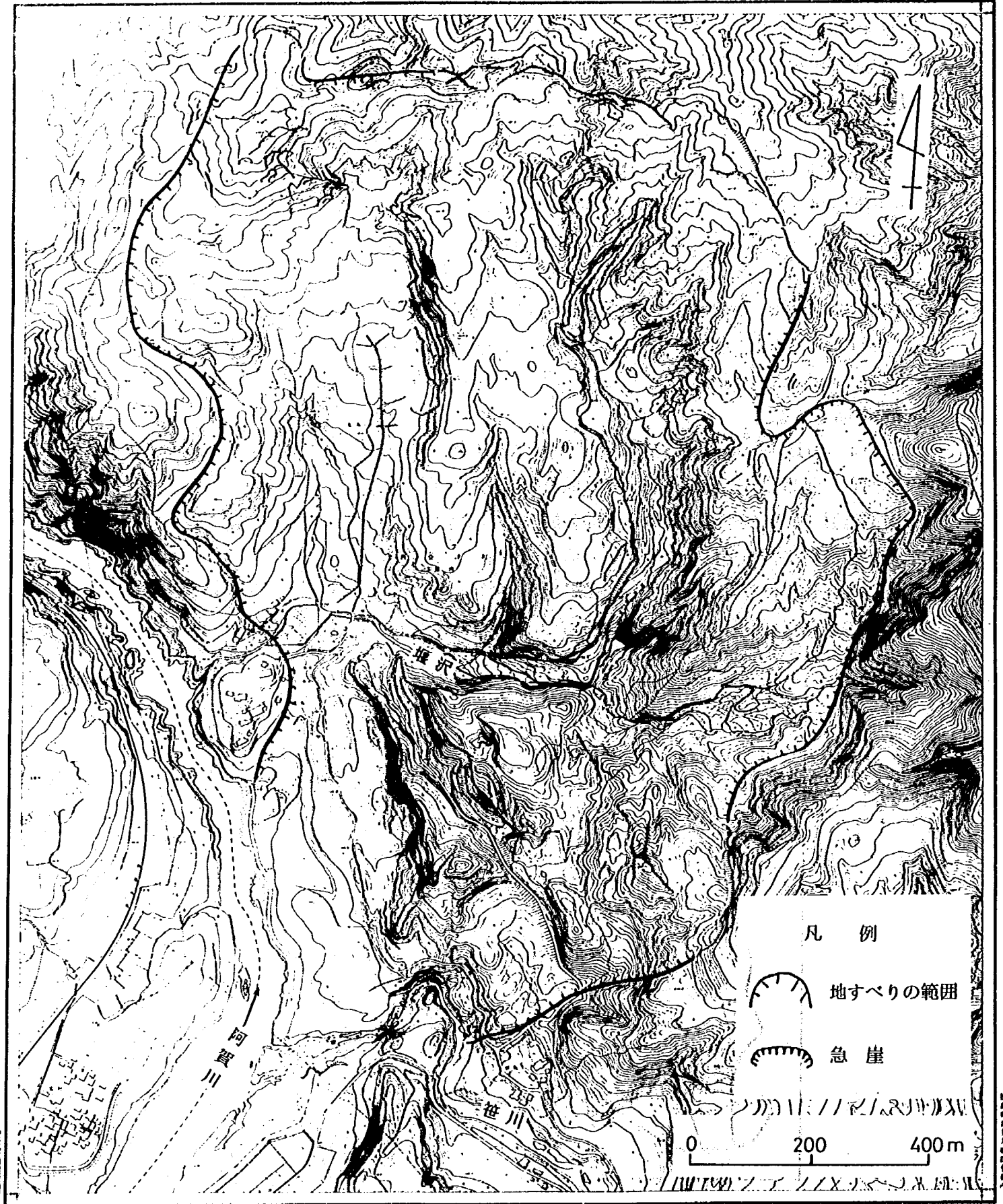


図-2 滝坂地すべり地形図

東西の方向に堰沢が流下し、地区内を2分している。堰沢より北側では、南北性の溪流が発達しているが、南側では堰沢方向に向かう類似の沢地形が存在するものの、陥没によりいずれも涸沢となっている。

なお、本地すべりは、地すべり滑落地形から図-3に示す8地区に分けられ、堰沢を境として北側の地区を松阪、湯出野沢、南側の地区を常磐、沼田、袖の沢、引牧、下沢の目、そして、大石出口と称している。

地すべり災害については古い記録はないが、福島県の報告書によると、明治21年に松坂、同38年に常磐、昭和24年に松坂で大規模な活動が記録されている。その後大きな活動は起っていないが、地すべりの南端を流れる笹川においては、押し出した土砂が川を堰止め天然のダムを形成したり、阿賀川本流沿いにおいては、地すべり末端部が約400mにわたって押し出している現象がみられる。

2. 地すべり調査

滝坂地すべりは、前述したように非常に広大で且つすべり面の深い地すべりであるため、従来の地すべり調査がどの程度利用できるかという疑問があった。以下に、その調査について示す。なお、地すべり調査は、堰沢の南側に位置する袖の沢を中心としたブロックにおけるものである。

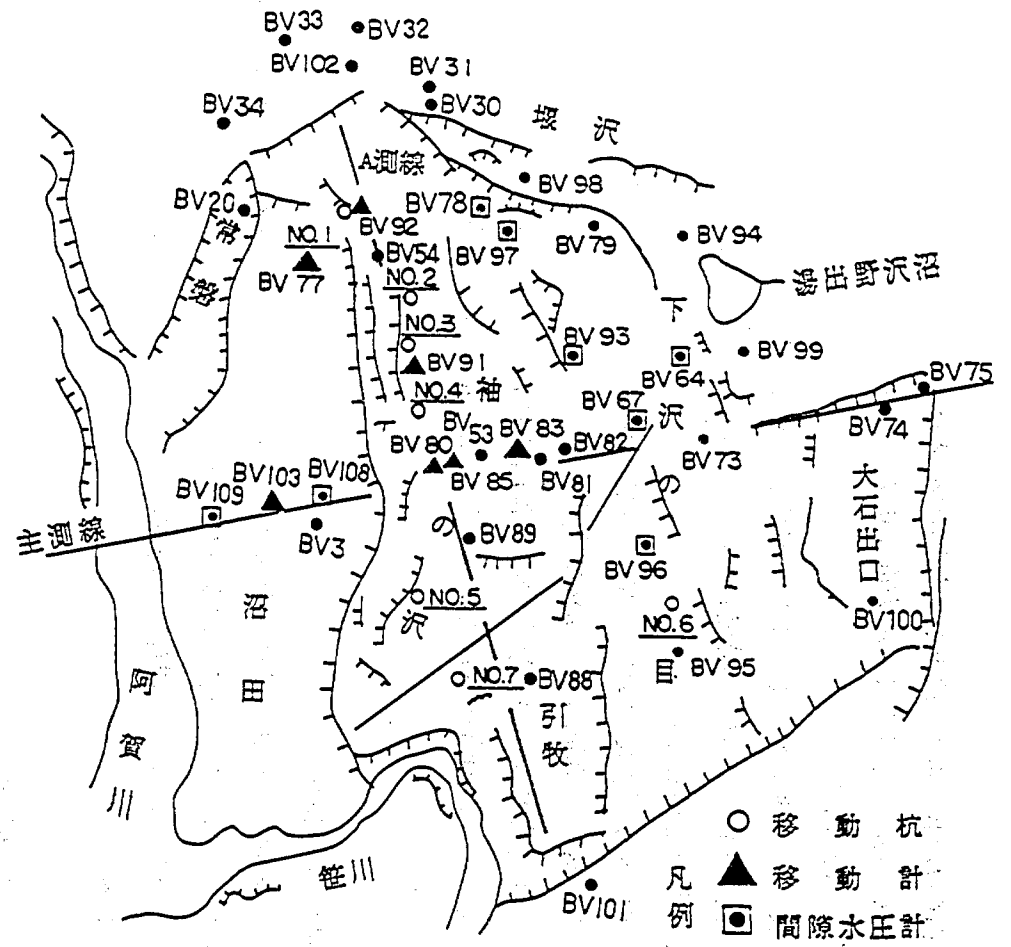
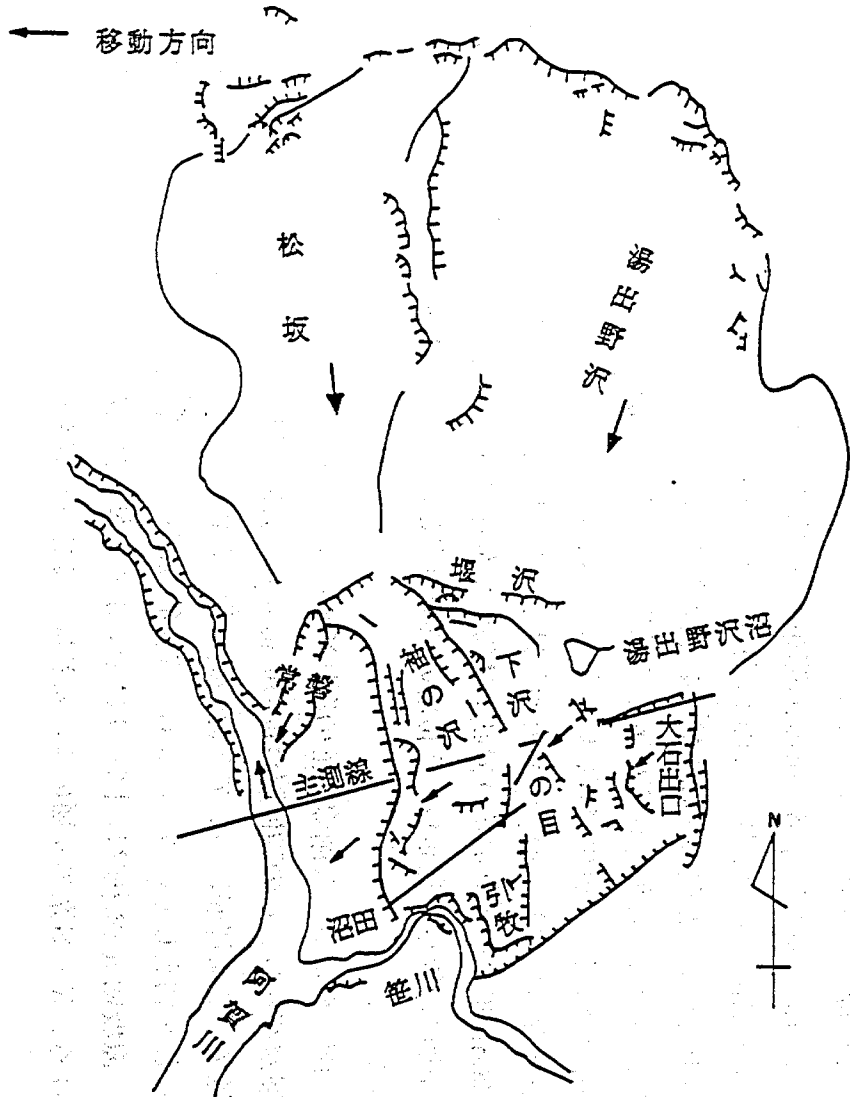
2.1 地質調査

滝坂地区に分布する新第三系は、東北グリーンタフ地域に属し、図-4の地質図に示すように東西に分布する先第三系の花崗閃緑岩の間に、地溝性の構造に支配されて分布している。これらの新第三系は、図-5の主測線地すべり縦断面図に示すように概ね最下位層の花崗砂岩（利田層）が、基盤の花崗閃緑岩を不整合に覆い、緑色凝灰岩（萩野層）、泥岩（縄沢層）が整合に重なる。緑色凝灰岩は著しく風化しており、一部は粘土化し非常に軟質である。また、花崗砂岩も同様に風化が著しい。なお、この新第三系は $10^{\circ}\sim 30^{\circ}$ の勾配で東方へ傾斜した単斜構造となっており、地すべり方向とは逆の受け盤構造となっている。しかし、袖の沢の地表面下100m付近に 5° 程度の流れ盤状で連続的に分布する破碎層が存在している。この破碎層は、凝灰岩中に連続して分布し、下位層の花崗砂岩と接する袖の沢直下においては、多量の粘土を伴っている。

図-6には、A測線の袖の沢横断面図を示した。堰沢から 8° 程度の流れ盤状に連続する破碎層が存在し、この破碎層は地層の最大傾斜方向とほぼ一致している。また、BV-91、92の位置でこの破碎層についてX線回析を行った結果では、モンモリロナイトが多量に含まれていることが判明している⁷⁾。なお、代表的なボーリング柱状図を図-7(a)~(h)に示した。

滝坂地域の断層は、図-4に示すようにN-S系とNE-SW系の2系統の断層群に区分される。N-S系の断層のほとんどは、NE-SW系の断層に切られていることから、NE-S

凡例



- 移動杭
- ▲ 移動計
- 間隙水圧計
- 地下水位計

図-3 滝坂地すべり平面図

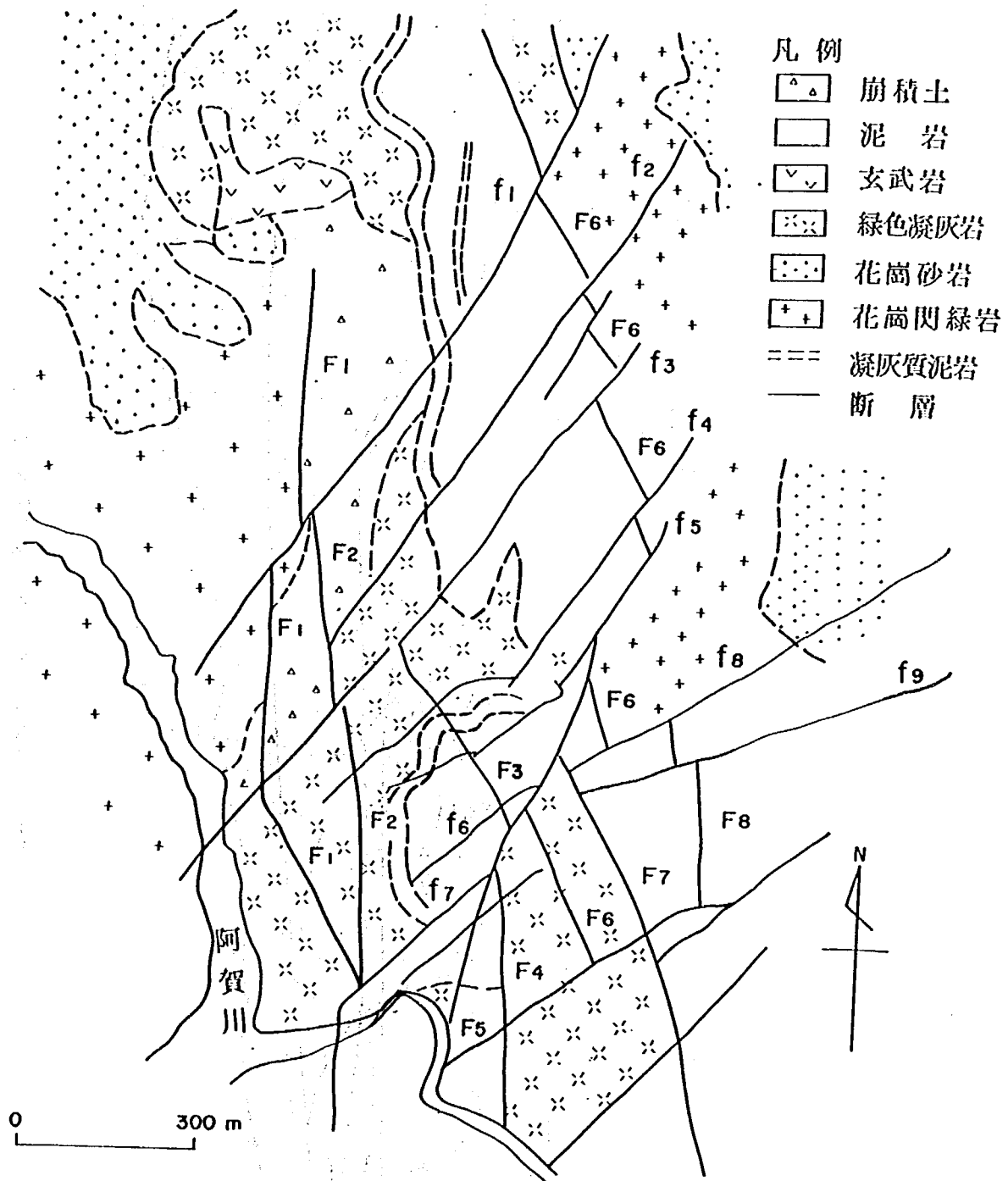


図-4 滝坂地すべり地質図

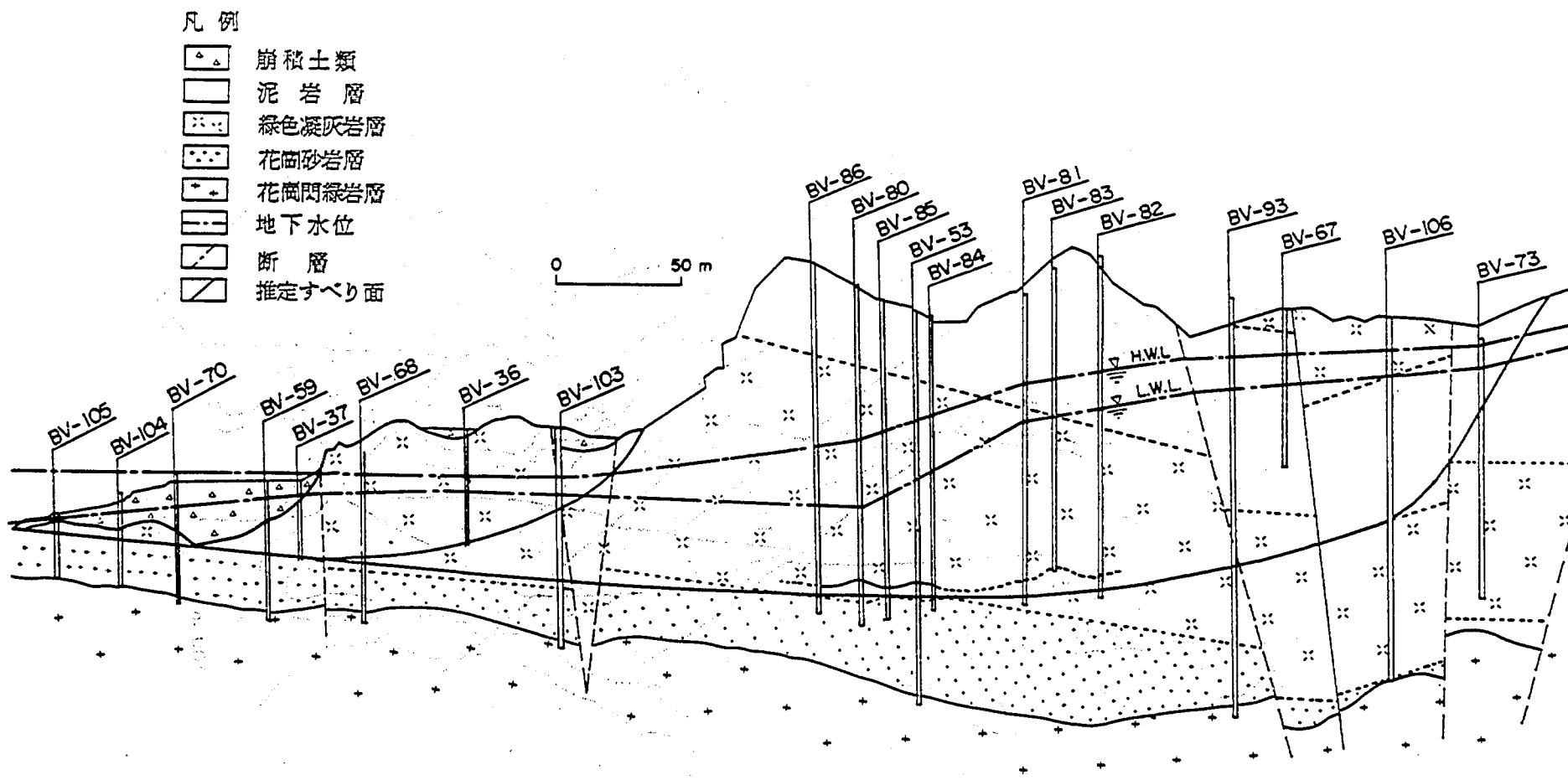











図-5 滝坂地すべり主測線地すべり断面図

凡例

-  崩積土類
-  泥岩層
-  綠色凝灰岩層
-  花崗砂岩層
-  花崗閃綠岩層
-  沖積堆積物
-  高位段丘堆積物
-  斷層
-  推定すべり面

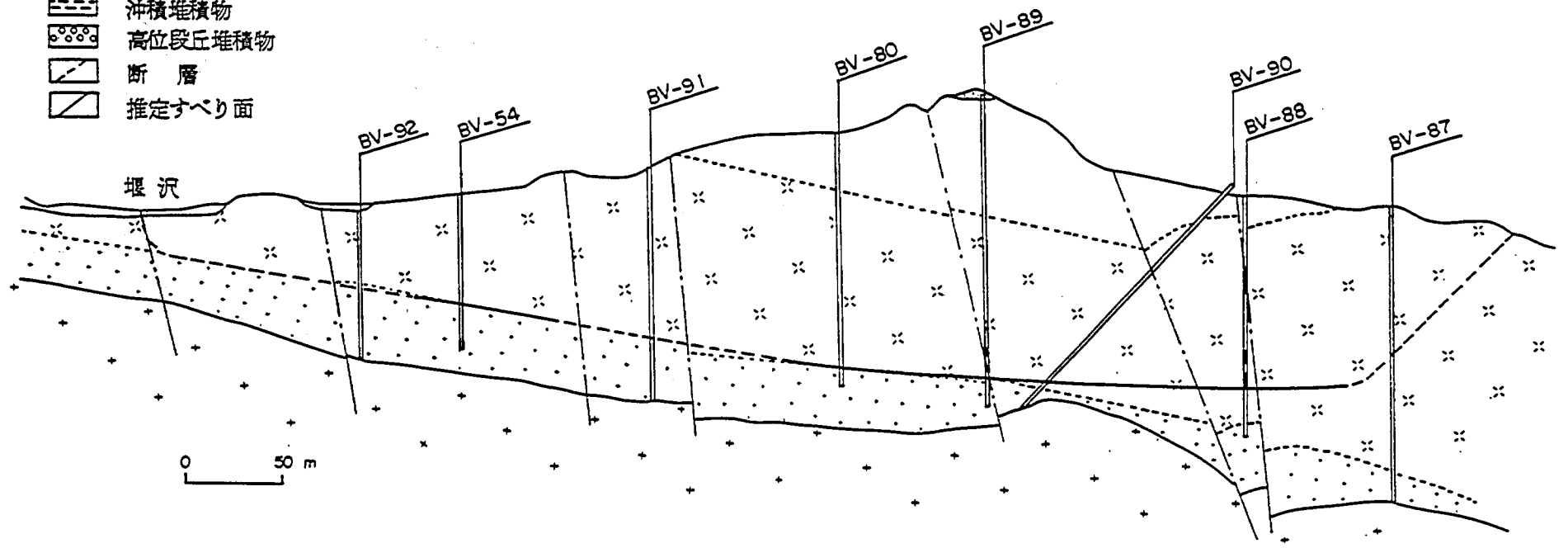


図-6 A測線横断面図

標尺 (m)	深度 (m)	層厚 (m)	記号	分類	硬軟	色	採取率	記号
	2.0	2.0		崩積土				
60	60.0							
	63.0	3.0	※※※	凝灰角礫岩	中硬	青灰色	100	φ10~50mm軽石片多量に混入
70	74.0	11.0	※※※	凝灰岩	中硬	青灰色		66.10~66.20 } W1 71.35~71.50 } 73.00~73.15 } 亀裂面に沿って粘土化
80			※※※	凝灰岩	硬	青灰色		
90			※※※	凝灰岩	硬	青灰色		94.3m付近 75'前後の亀裂 亀裂面→黒褐色
100	101.1	27.1	※※※	凝灰角礫岩	硬	青灰色	100	φ5~10軽石片(白色)多し
	108.8	7.7	※※※	凝灰角礫岩	硬	青灰色	100	107.0~108.8砂質凝灰岩
110	111.8	3.0	※※※	凝灰岩	中硬	青灰色	100	岩質やや良好
	115.6	3.8	※※※	凝灰岩	中硬	暗青灰	100	10'前後の亀裂発達、亀裂面に沿って厚さ1mm程度の粘土形成
	119.3	3.7	※※※	凝灰岩	軟	緑灰色	100	111.8~112.1 W1 礫混り粘土状 凝灰岩 礫混り粘土
120	121.0	1.7	※※※	凝灰岩 砂岩互層	軟	帯青 緑灰色	100	一部黄灰色 破砕帯 砂混り粘土 粘性大
			※※※	砂岩	軟	黄灰色		凝灰質砂岩 固結度低く砂状
130	130.0	9.0					100	下部硬質

標尺 (m)	深度 (m)	層厚 (m)	記号	分類	硬軟	色	採取率	記号
	1.5	1.5		崩積土				
60	60.0							
	64.0	4.0	※※※	凝灰角礫岩	中硬	青灰色	100	φ10~30軽石片多し
70			※※※					67.5~69.0 10~40"の亀裂発達 67.8m付近10'前後の亀裂面に沿って厚さ5mm程度の粘土形成
80			※※※	凝灰岩	硬	青		71.0~73.0 φ5~20軽石片多し 78.9~79.5 W2~3 岩質やや不良 80.0~83.5 φ3mm以下の白斑多し 85.0~87.3 10~20"の亀裂発達、亀裂面に沿って厚さ5mm程度の粘土形成
90			※※※	凝灰岩	硬	灰		87.25~87.3 白灰色粘土 91.8~92.0' 亀裂発達 93.2~93.6
100			※※※	凝灰岩	硬	色		101.8~102.6' 亀裂発達 104.0~104.3
	109.3	45.3	※※※				100	φ5~20の軽石片を普遍的に混入 流理構造あり
110	109.9	0.6	※※※	凝灰角礫岩	軟	暗青灰	100	破砕帯 φ5~10玄武岩質 多量に混入
	110.3	0.4	※※※		中硬		100	礫混り粘土状
	111.2	0.9	※※※				100	硬質粘土状
	111.9	0.7	※※※	凝灰岩	軟	緑灰	100	硬質凝灰岩、ムフストーン
	112.4	0.5	※※※		中硬		100	破砕粘土
			※※※					硬質粘土
120	120.0	7.6	※※※	凝灰岩	中硬	暗青灰	100	10~30"の亀裂発達
130								

図-7(a) ボーリング柱状図

BV-87(1)

標尺 (m)	深度 (m)	層厚 (m)	記号	分類	硬軟	色	採取率	記号
10	2.10	2.10	△	細粒凝灰岩	中硬	灰白		細粒凝灰岩
	11.20	9.10	△		中硬	灰白		マトリックスは細粒凝灰岩で長石・角閃石等の結晶を多く含む。9.50~9.60mはやや粘土質である。
20	21.60		△	細~中粒凝灰岩	中硬	灰白		マトリックスは細粒~中粒凝灰岩。明褐色の割れ目発達。 断層接触部全体に「ラ」ラうしておりφ5~10mmの礫を「フ」状に含む
	22.65	11.45	△		軟	青灰		22.65~22.68は断層粘土
	23.38	0.73	△		中硬	灰白		22.68~23.38はシルト質で断層帯
	25.58	2.20	△		細粒凝灰岩	軟	灰白	マトリックスは細~中粒凝灰岩。明褐色の割れ目が発達
30	27.21	1.68	△	粗粒凝灰岩	軟	灰白	割れ目帯。マトリックスは細粒凝灰岩でシルト質	
	29.00	1.79	△	粗粒凝灰岩	硬	灰	粗粒凝灰岩。割れ目開口(45°)	
40	41.40	12.40	△	火山礫凝灰岩	硬	灰	φ2~5cm程の角閃石を含む火山礫凝灰岩。所々流入礫・流入粘土あり	
	43.70	2.30	△		軟	灰	66 流入粘土。流入角礫よりなり断層帯	
	45.00	1.30	△	火山礫凝灰岩	硬	灰	火山礫凝灰岩	
50	59.30		△	中粒凝灰岩	硬	緑灰	φ0.5cm程の角閃石を含む中粒凝灰岩。51.32~51.70は礫状。所々流入粘土介在。56.10~56.90は割れ目は明褐色を呈す	
	63.10	18.10	△		中粒凝灰岩	中硬	緑灰	礫状。60.9~61.0及び63.0~63.05は粘土質。61.64~61.50は粘土シルト挟在
70	66.90		△	粗粒凝灰岩	硬	緑灰	割れ目は開口しているが鮮色を呈す	
	70.00		△		中硬	緑灰	全体的に「ラ」の岩で風化が著しい	
	70.60		△		中硬	緑灰	所々粘土状	
	72.00	8.90	△		中硬	緑灰	割れ目帯。70.95~71.05mは粘土	
	72.80		△		硬	緑灰	72.8~73.4は中に流入粘土を密に介在	
80	73.40		△	細粒凝灰岩	軟	緑灰	74.20~74.68mは「ラ」	
	75.28	3.28	△		硬	緑灰	割れ目開口し流入粘土挟在する	
	79.20	3.92	△		硬	緑灰	78.45~78.55は白の「フ」を含む	

BV-87(2)

標尺 (m)	深度 (m)	層厚 (m)	記号	分類	硬軟	色	採取率	記号	
90	80.55	2.98	△	粗粒凝灰岩	硬	緑灰		80.55~82.18mは流入礫および粘土シルトを多数介在する	
	82.18		△		中硬	明緑灰	グレイングにより20°の層理面。砂質。83.5~84.1及び84.7~85.0は礫の亀裂発達し粘土シルト挟在する		
	85.50		△		中硬	暗緑			
100	86.10	5.92	△	細粒凝灰岩	中硬	明緑灰		全体的に風化著しい。88.0~88.1は粘土	
	88.1	△	88.1~88.2は暗緑色で粘土状						
	88.1	△	全体的に緑泥岩作用を受け、指圧にて容易に崩れる。マトリックスは細粒凝灰岩からなり長石等の結晶を多く含む						
	88.1	△	割れ目は密着~開口を示し鮮色を呈す						
	88.1	△	110.35~121.45は所々粘土状を呈し一部「ラ」粘土質部は鏡肌が見られる						
	88.1	△							
	88.1	△							
	88.1	△							
	88.1	△							
	88.1	△							
110	112.25	33.35	△	粗粒凝灰岩	軟				
	117.00		△		中硬				
120	121.45	33.35	△	粗粒凝灰岩	中硬	暗緑		121.45~124.15は泥岩作用が著しい	
	134.80		△		中硬	明緑灰	中にφ20mmの黒色角礫の面円~亜角礫。130.0~130.7は一本の礫状の亀裂よりなり鏡肌がみられる。133.0~133.15及び134.0~134.1は粘土状を呈す		
130	142.30	7.50	△	粗粒凝灰岩	軟	明緑灰		マトリックスは凝灰岩よりなるが中に花崗岩質スズルを(石英・長石)含む	
	145.00	2.70	△		中硬	明緑灰	129.15~142.3はφ10~30mmの角礫、砂岩の面円礫を含む		
	148.60	3.60	△		中硬	明緑灰	マトリックスは凝灰岩質シルトφ10~20mmの円礫を含む		
	148.75	0.15	△		中硬	暗赤	非常に凝灰質で所々凝灰岩の層を挟む		
	149.00	0.25	△		中硬	暗赤	硬い暗赤色帯、多孔質な玄武岩		
150	149.00	0.25	△	凝灰岩	中硬	明緑灰		鏡肌が見られる	
	152.70	3.70	△					マトリックスは流出しているが中とφ30mm程の角礫、花崗岩の円礫を多く含む	
	153.40	0.70	△					軟	
	156.50	3.10	△					中硬	灰白
160									

図-7(b) ボーリング柱状図

BV-88(1)

掘尺 (B)	深層 (B)	層厚 (m)	記号	分類	硬軟	色	採取	記号
	2.3	2.3	×	崩積土	軟			泥岩片を多量に混入
10			斜線	泥岩	軟 中硬			全体に岩質不良部分多し
20	18.0	16.7	斜線					
30			×	凝灰岩	中			互層状に岩質不良部挟在 28.2~28.5 粘土挟在
40			×	凝灰岩	硬			45.9~54.5 Type ㊸ 1~5cm間隔に粘土シム挟在
50			×	凝灰岩	硬			
60			×	凝灰岩	硬			
70			×	凝灰岩	硬			61.5~62.0 91° 70.3~71.0 ㊸ 72.1~72.6 50°~55°の亀裂 73.1~75.3 60° 76.0~76.5
80	77.8	59.8	斜線					

BV-88(2)

掘尺 (B)	深層 (B)	層厚 (m)	記号	分類	硬軟	色	採取	記号
	80.8	3.0	斜線	凝灰岩	中硬			シフトン状 粘土シム随所に挟在
	85.1	4.3	斜線	凝灰岩	中硬 硬			岩質やや良好
90	88.0	2.9	斜線	凝灰岩	軟 中硬			凝灰岩破砕部 凝結り粘土状
	92.5	4.5	斜線	凝灰岩	硬			岩質良好 全体に軽化
	95.0	2.5	斜線	凝灰岩	中硬			凝灰岩破砕部
100			×	凝灰岩	中硬			岩質やや良
	109.0	14.0	×					
110	111.0	2.0	斜線	凝灰岩	軟 中硬			凝灰岩破砕部
	119.5	8.5	×	凝灰岩	軟			岩質不良 全体に軟質である。
120			斜線					
	125.0	5.5	斜線	砂岩	軟			未固結砂岩 崩壊激しい
130								

図-7(c) ボーリング柱状図

BV-89

標尺 (m)	深度 (m)	層厚 (m)	記 号	分 類	硬 軟	色	コ ブ 採取 部	記 事
10	3.6	3.6	×	崩積土	軟	茶褐色		φ1~2cmの円礫混入 旧段丘砂層
	10.8	7.2	⊗	砂質 凝灰岩	軟~ 中硬	茶褐色		風化帯 7.2~7.5 粘土挟在 6.8~7.0
20	22.5	11.7	〰	泥岩	軟~ 中硬	暗灰色		風化帯 12.65~12.75 粘土挟在 14.5~16.0 岩質良好
	24.7	1.7	⊗	凝灰岩	中硬			泥岩-砂岩との互層
30	62.8	38.6	〰	泥 岩	中硬 硬	暗 灰 色		風化帯 25.55~25.6 } 粘土挟在 36.0~36.7 } 53.1~53.1 } 全体に破砕状で破片~塊状の7-を主体と する 62.4~62.8 軽石片を混入する泥岩
	130.4	67.6	⊗	凝 灰 岩	硬	緑 灰 色		岩質良好で完全塊状の7-として採取され る
140	137.4	7.0	⊗	砂質 凝灰岩	中硬	淡緑		ノーストーン状 中硬質 本層より下位は全 体に孔壁部の押し出しが顕著
	140.1	2.7	⊗	破砕帯	軟	緑灰		凝灰岩破砕部
150	146.1	6.0	⊗	凝灰岩	中硬	緑灰		145.2~146.1 破砕粘土
	153.0	6.9	〰	破砕状 凝灰岩	中硬	緑灰		5~10cm間隔で亀裂発達 亀裂面には粘 土を挟在 亀裂面傾斜10~40° 151.2~156.9 凝灰質泥岩
	156.0	3.0	⊗	破砕帯	軟	暗緑灰		凝灰岩破砕部 下位の砂岩を巻き込み砂礫 混り粘土を形成 φ10~50の円礫伴う
160	160.0	4.0	⊗	砂岩	軟	暗緑灰		未固結砂岩 全体に崩壊激しく孔壁の 維持困難
	161.5	1.5	+	花崗岩	硬	暗灰		質硬質

図-7(d) ボーリング柱状図

深尺 (m)	深度 (m)	層厚 (m)	記号	分類	軟硬	色	コ採取	記号	備考
10	3.00	3.00	⊗	表土	⊗	黒褐色			植根含む
	7.20	4.20	≡	凝灰質 泥岩	中硬	明黄褐色			礫状を呈し、風化が著しい マトリックスは泥岩よりなるが中にφ50m/m以上の 黒色質岩の歪円～歪角礫を多数含み全体に礫混り土を呈す 16.00～18.30 粘土質 18.30～19.85 マトリックス分流出しφ30～70 m/m以上の礫よりなる
20	19.85	12.65	≡	凝灰質 泥岩 (スランピング)	中硬	黒褐色			
	23.70		△	粗粒 凝灰岩	軟	浅黄 ～灰白			強風化粗粒凝灰岩で所々緑泥岩を含む 29.30, 29.60m 負岩の角礫含む 35.00～35.32m 粘土質
	25.20		△		中硬				
	27.00		△		軟				
30	35.32	15.47	△		中硬				所々棒状を呈すものの割れ目開口し、黒色を呈し、風化が著しい 35.8m, 36.2m, 36.8m及び37.9～38.0m, 38.7～39.6mは割れ目が開口し黒色を呈す 37.6, 37.8 粘土シム挟在 38.0～38.2 ノコリ
40	40.25	4.93	△	火山礫 凝灰岩	中硬	浅黄			
	45.00	4.75	△	(断層帯)	中硬	青灰			粘土を多数介在し、指圧にてつぶせる 43.6～43.7m 割れ目開口し明褐色を呈す
50	49.85	4.35	△	火山礫 凝灰岩	中硬	灰白～ 灰ナツ			45.8mの45°亀裂は特に黄褐色に変色 その他粘土シム挟在
	56.00	6.15	⊗	(断層帯)	中硬	青灰			37の流出部が多く表面がすりすりしている 52.0～56.0mはコ採取率20～30%程度
60	57.30	1.30	△	熔結凝灰	中硬	青灰			断層帯に取り込まれたものと考えられる
	59.30	2.00	⊗	(断層帯)	中硬	青灰			57.9～58.0は粘土状 58.0～58.7はノコリ
	60.88	1.58	△	粗粒凝灰	ナツ				その他礫状 軟らかく手で崩せる 60.28～60.88 粘土シム特に介在
70	74.90		△	火山礫 凝灰岩	硬	ナツ			全体的に割れ目密着。但し62.83m, 62.90m 64.30m, 78.20m, 78.40m, 78.60mは粘土シム 挟在し、75.90～76.00mは粘土状を呈す。 30°の亀裂及び流理構造が発達 74.90m, 75.15mは流入礫含み所々鏡肌
80	80.23	19.35	△		中硬				

深尺 (m)	深度 (m)	層厚 (m)	記号	分類	軟硬	色	コ採取	記号	備考
90	88.23	8.00	△	中粒 凝灰岩	中硬	ナツ			所々細粒部分含み鏡肌が見られる 83.60～84.00 流入礫及び粘土シム介在 89.60～89.74
	98.40	10.17	△	中～粗粒 凝灰岩	中硬	ナツ			87.0～87.4は一連の亀裂帯で黄褐色を 呈し粘土シム挟在 上部は粗粒、下部は細粒で「クレディング」 している。91.7～92.0m, 93.5～93.9m, 95.48～95.60mは粘土シム挟在
100	105.00	6.60	△	中粒	硬	緑灰			割れ目密着
110			△	粗粒 凝灰岩	硬	緑灰			割れ目密着 但し121.64～121.65m 粘土シム挟在する
			△						
			△						
120	121.65	16.65	△						
	125.58		△	極粗粒 凝灰岩	硬	緑灰			125.58～126.00は流入礫含む 126.00～126.70は土砂状よりなる
	126.27	4.62	△		中硬				
	128.00		△	細粒 凝灰岩	硬	灰白			128.30は粘土シム挟在 128.00～128.72は緑色部介在する
	128.72	2.45	△		中硬				
130			△	中粒 凝灰岩	中硬	暗緑			全体的に軟質 128.72～130.0mは指圧にて潰れる 128.85～129.0, 129.9～130.0mは粘土状 136.80～136.85mは流入礫及び粘土シム 140.65～145.08mは全体的に「カ」りして おり風化著しい 全体にナツし凝灰岩との境界は45° 146.0～147.0mはコ採取率10%
	145.08	16.36	△						
	147.00	1.92	≡				シルト	中硬	
150	150.00	3.00	△	凝灰・花 崗岩砂岩	軟				凝灰岩質・花崗岩質砂岩
	152.80	2.80	+	花崗岩	中硬	灰白			強風化花崗岩 礫状をなす
160	160.00	7.20	+	花崗岩	硬	灰白			0°及び45°の亀裂 全体に棒状 但し157.0～157.2mは岩片状を呈す

図-7(e) ボーリング柱状図

BV-91(1)

標尺 (m)	深度 (m)	層厚 (m)	記号	分類	硬軟	色	コ採取	記事
	1.00	1.00	△	粘土				権根含む
10	5.95		△	火山礫 凝灰岩	中硬	浅黄		全体的に割れ目開口(0°) 8.55, 8.84, 9.65, 10.00, 10.60mは浅黄色 12.5~12.7は砂状 16.17~16.4はやや軟質 17.6~20.0は特に浅黄色を呈す 17.60~17.70, 17.75~18.10 は割れ目 19.00~19.05, 19.60~19.65 明褐色 特に18.70mの割れ目は粘土シーム挟在
			△		軟	灰白~ グレー灰		
			△		中硬	浅黄		
20	20.70	19.70	△					
30	24.85	10.30	△	極粗粒 凝灰岩	中硬	灰白	-	全体的に割れ目開口 26.38, 26.70mは明褐色を呈す 29.72~30.00及び30.55は浅黄色 24.85~25.15mは粘土質
	25.15		軟		浅黄			
	31.00		中硬	グレー灰				
	32.15		中硬	グレー灰				
40	33.00	4.70	△	粗粒 凝灰岩	中硬	グレー灰	-	32.15~33.00は割れ目密着 その他は開口し黒色を呈す 31.00~31.10m, 31.50~31.60mは流入粘土
	35.70		中硬					
	37.80		細~中粒					
50	42.60	6.27	△	粗粒 凝灰岩	中硬		-	割れ目密着 38.70~39.70mは繊維質の軽いφ30m/程のものを含む 46.6~47.0は粘土シーム挟在 47.5~48.87は全体に粘土が介在(断層)
	45.00		中硬					
	47.50		中硬					
60	50.00	11.33	△	極粗粒 凝灰岩	硬		-	全体に割れ目密着しているが黒色部に沿って割れる 56.5~58.7mは断層 56.50~56.90 は黒色の割れ目開口 57.50~57.75 58.65~58.70は粘土
	56.50		中硬					
	58.70		硬		グレー灰			
	60.20		硬		グレー灰			
70	62.00	9.85	△	凝結 凝灰岩	硬	グレー灰	-	火山礫凝灰岩 中粒凝灰岩 所々極粗粒凝灰岩を介在 68.84~69.00, 70.85~71.45, 72.87~73.65mは粘土シーム挟在
	63.78		中粒		グレー灰			
	73.65		中硬		明グレー灰			
	75.40		粗粒		中硬			
80	79.30	3.90	△	凝結 凝灰岩	中硬	灰白	-	長石の結晶を多く含む 75.7~76.6, 78.1~78.26, 79.0~79.3mは砂状 78.55~78.64mは粘土状

BV-91(2)

標尺 (m)	深度 (m)	層厚 (m)	記号	分類	硬軟	色	コ採取	記事	
90	86.40	7.10	△	緑色中粒 凝灰岩 (断層帯)	軟	緑灰	-	79.3~86.4はすべて粘土質 指圧にて容易にへこむ 85.9~86.4は灰白色の粘土	
	87.25		0.85		細粒砂	暗赤			暗赤色及び浅黄色を呈す砂よりなる
100	99.00	11.75	△	砂岩	軟		-	87.5~87.7, 92.2, 93.6は花崗岩の円~角礫よりなる 90.0~90.2mはφ20~50m/の花崗岩及び角礫の円礫含む	
110	117.70	18.70	△	花崗岩質 砂岩	軟		-	全体的に花崗岩質な砂岩よりなる	
120	123.30	5.60	△	花崗岩	中硬		-	花崗岩の乾石 119.9~120.0, 121.00~121.15mはアラバの乾石	
	125.00				1.70	++			花崗岩
130			△				-		
140			△				-		

図-7(f) ボーリング柱状図

掘入 深さ (m)	掘入 厚さ (m)	記 号	分 類	硬 軟	色	採取 位置	記 事
2.70	2.70	—	表土	×	黒褐色		シル質で植根含む
10	16.25	△ △ △ △	粗粒 凝灰岩	中硬	明緑灰		全体的に粗粒凝灰岩よりなり割れ目閉口 6.1~10.7mは所々緑泥岩で弱体化し容易に 割れる 10.7mに70°の亀裂あり粘土シル質 11.12~11.15mは変質し青灰色を呈し特 に11.12~12.00mは悪化している
				硬			
				軟			
				明緑灰			
20	19.00	△ △	中~粗粒 凝灰岩	軟	明緑灰		18.0~18.8 多孔質で針状結晶含む 18.0~19.0 シル質で軟らかい
	22.10	△ △	細~中粒 凝灰岩	硬	明緑灰		10°の層状 割れ目は密着 20.7~21.0はφ2m/mの白のハッを含む
	24.00	△	粗粒	軟	明緑灰		22.5mに80°の亀裂、粘土シル質 23.14 ~24.0は粘土状 23.3~23.75はシル質
	26.10	△△	凝結	硬	明緑灰		10°層状を呈す
	28.60	△△	極粗粒	硬	明緑灰		白色のφ2m/mのハッを含み緑泥岩挟在
	32.32	△ △	細粒	硬	灰白		灰白色を呈し中にφ1~10m/mの角 礫を含む 割れ目密着
40	34.60	△	緑色中粒 凝灰岩 (断層帯)	軟	暗緑		固結質に貧しく緑泥岩化が著しい 34.6 ~35.0は浸入礫が多い 39.7~40.0はφ 40m/m程の角礫の円礫(2ヶ)で 40.0~ 42.7はφ2m/m程の円礫を含む中粒凝灰岩で
	35.00	△					
	40.00	△					
	42.70	△	中硬		41.7~42.0は20m/mの角礫の円礫含む		
	43.50	△	細粒シル	軟	灰白・暗赤		細粒シルで灰白色を呈し暗赤色部を以 状に挟む 全体に表面はカカしている
	45.00	△	砂岩	軟	鈍い褐		汚汚して砂岩 やや花崗岩質である
50	49.30	△	花崗岩質 砂岩	軟	黄灰		45.0~49.3は汚汚した花崗岩質砂岩
	49.87	△	砂岩	軟	鈍い褐		45.3に花崗岩の乾石あり
			花崗岩質 砂岩	軟	鈍い褐		汚汚した砂岩 やや花崗岩質である 49.87~50.00は細粒層状砂岩 50.00~62.70は花崗岩質砂岩で全体的に グレイディングしている
60	62.70	△	花崗岩質 砂岩	軟	鈍い褐		花崗岩乾石 花崗岩質砂岩で中φ20~50m/m程の花崗 岩の角礫を少量含む
	63.62	△					
	66.00	△	花崗岩質 砂岩	軟~ 中硬			マトリックスは流出ししまっているものの中 にφ20~50m/mのファット、角礫、砂岩、花崗 岩の円礫を多く含む
	68.00	△	砂混り土				
	74.80	△	花崗岩質 砂岩	中硬	鈍い褐		花崗岩質砂岩で中にφ30~50m/m程の花 崗岩の角礫を多量に含む
	75.00	△	砂混り土				66~68mと同じ
	76.00	△	花崗岩質 砂岩				66~68mと同じ
	78.70	△	砂混り土				68~74.8mと同じ
79.50	△	花崗岩質 砂岩	硬	灰白		マトリックスは赤味を帯びたシル質で中にφ20~ 50m/mのファット、角礫、砂岩の角礫が多量	
84.00	△	花崗岩	中硬	灰白		花崗岩で表面が汚汚し風化が著しい 割れ目閉口し粘土シル質挟在	

図-7(g) ボーリング柱状図

標尺 (m)	深度 (m)	層厚 (m)	記号	分類	硬軟	色	コ採取	記 事
	1.30			表土				根が多い
	9.00	7.70		礫入り土	軟	黄褐色		マトリクスは細粒凝灰岩でφ10~20mm程の円礫を含む 2.8~3.0m, 3.7~4.0m, 4.5~5.0m, 5.9~6.0mはφ50mm程の負岩及びマトリクスの円礫を含む
10	10.50			凝灰質泥岩及び中粒砂岩の互層	中硬	黄灰		割れ目開口し茶褐色を呈す 全体的に45°亀裂多いが18.85~19.0は90°亀裂 12.65~13.0m, 14.0~15.0m, 21.8~22.0mは特に茶褐色を呈し19.92~20.0mは明黄褐色を呈す 20.45~22.1mは極粗粒砂岩でφ10mm程の負岩、緑色凝灰岩の円礫を含む 尚、20.25m付近は白色のφ5mm程の凝灰質なハダを含む
20	22.10	13.10						
30				泥岩	中硬	黒褐色		28.428.7mは極粗粒砂岩 28.730.1mは泥岩であるが比重が重い 30.1mより下位は割れ目開口しているものの茶色部分が少なくなる
40	41.82	19.72						
50	47.25	5.43		中~細粒砂岩				42.5m付近に化石あり 43.1~44.8は90°の亀裂多く、明褐色が著しい 尚、これより下部は酸化帯がほとんどない
60	61.20			泥岩	中硬	黒褐色		47.25~71.0mは全体に軟らかくルマの軽打にて砕ける 49.2~47.3mはシルト質でそれより下部は酸化帯がみられない 61.2~61.8mは細破されている 61.8mは粘土状を呈す 70.05~71.0mはシルト状を呈し中にφ10mm程の泥岩の垂角礫を多数含む(断層) 尚、所々指圧にて崩せる部分もみられる
70	70.05				中硬			
	71.00				軟			
80	80.05	32.80			中硬			

標尺 (m)	深度 (m)	層厚 (m)	記号	分類	硬軟	色	コ採取	記 事
	82.62		△	火山礫	中硬	暗緑~灰白		82.62~82.8mはシルト状を呈し7°のライ化が著しい 82.4mは45°亀裂あり粘土シルト挟在 86.0~94.5mは水平の亀裂が多い
	82.80		△		軟			
	86.00		△		中硬	灰~灰		
	91.76		△		中硬			
90	92.00		△	凝灰岩	中硬			91.76~92.0mは50°亀裂あり粘土シルト挟在 93.8~94.55mは流入亀裂がみられる
	94.50	14.45	△		中硬			
100	102.15		△	中~細粒凝灰岩	中硬	緑灰		水平の亀裂多く割れ目開口している、黒色負岩のφ2mm程の角礫が所々入る 102.15~102.7mは流入礫よりなり、その内102.67~102.7mは粘土シルト挟在 104.4mは85°亀裂あり粘土シルト挟在
	102.70		△		軟			
	104.65	10.15	△		中硬			
	107.23	2.58	△	細粒凝灰岩	中硬	灰白		105.0, 105.15~105.25mに粘土シルト挟在 45°亀裂があるが密着している
110	112.75		△	粗粒凝灰岩	中硬	暗緑		107.23~112.75mは風化が著しく粘土シルト挟在する 112.65~112.75mは7°のライ化が特に著しい 全体的には風化が進み石英・長石を少量含む
	114.50	7.27	△		中硬			
	116.62		△		中硬			
	117.00		△	粗粒凝灰岩	中硬	淡緑		局部的な7°のライ化がなくなる 11.62~117.0mはシルト状を呈す 119.45~120.90粘土質部分多く、指圧にて容易に崩せる
120	120.90	6.40	△		中硬			
	124.40	3.50	△	粗粒凝灰岩	中硬	淡緑		石英・長石を多く含む 123.15~124.40mは粘土質である
			△	花崗岩質凝灰岩	軟			砂状~礫状を呈し、129.60~129.64は粘土状を呈す
130	129.64	5.24	△					
	131.40	1.76	△	極粗粒				φ3mm程の負岩の円礫を含む
	131.90	0.50	△	細粒				細粒凝灰岩よりなる
	133.00	1.60		凝灰岩質砂岩		暗赤		赤味を帯びた凝灰岩質砂岩で所々黄味を帯びた部分を含む
140				中粒砂岩	軟~中硬			中粒砂岩で負岩、花崗岩の転石を所々含む 145.3~148.2mは砂岩、負岩、花崗岩のφ20~40mmの円礫を非常に多く含む 155.9~155.95mは玄武岩の転石よりなる
	156.40	23.40						
	157.50							
	159.15							
160	160.00	3.60	+	花崗岩	中硬	灰白~暗赤		風化が著しく割れ目が開口し暗赤色を呈す 割れ目は全体的に45°~70°が多い

図-7(h) ボーリング柱状図

W系の断層はN-S系の断層形成後の造構運動により形成されたものと思われ、地質図幅「野沢：1/5,000」の広域的断層系とも一致している。また、N-S系の断層は逆断層が多く断層規模も大きい。それに対して、NE-SW系の断層は正断層が多く、規模もN-S系断層に比較して小規模である。

堰沢南部の地すべり境界部の東部域はN-S系断層に、側面部はNE-SW系の断層に規制されている。地すべり地内においては、沼田と袖の沢の間にF2断層が、袖の沢と下沢の目の間にはF3断層が、袖の沢と引牧の間にはf7断層が、推定または確認されていることより、当地区の地すべりブロックは、断層に規制されて派生したものと考えられる。

2.2 移動量調査

一般に地すべりの移動量調査は、伸縮計を配置し観測を行う。しかし、大規模な岩盤地すべりにおいては、地すべりの動きではない岩塊の部分的な動き（風化等による）を観測する場合もある。この点を考慮して滝坂地すべりでは、伸縮計の他に、以下の方法により移動量調査を行っている。

2.2.1 航測による方法

地すべり全域の移動状況を把握するために、数回にわたって実施されている。昭和50年から54年までの航測による移動量調査（撮影条件：写真縮尺1/8,000，撮影コース2，最大誤差±35cm）結果を、図-8に移動杭配置図、図-3に各ブロックの移動方向、図-9に移動量調査結果をそれぞれ示した。

移動方向は、堰沢北部については堰沢方向に、堰沢南部については阿賀川方向である。また、移動量については、各ブロックとも活発な移動がみられる。常磐を除く全体的な移動量は、51～52年度が一番大きく1年間で1m以上の移動を示し、ついで52～54年度が2年間で1m以上、50～51年度が一年間で1m以下の移動であった。全体的には、堰沢北部に位置する湯出野沢、松坂は、堰沢南部より小さくなっている。堰沢南部については、袖の沢、沼田が大きな移動を示し、下沢の目、大石出口は前者より小さい。また、引牧については袖の沢より小さな移動量となっている。常磐については、他のブロックに比較して非常に大きな移動を示している。これらの移動方向及び移動量の違いは、堰沢北部の移動が南部の動向に規制されることを示すものであり、堰沢南部の移動が、地すべり全体の移動に大きな影響を与えることになると考えられる。したがって、本地すべりの主動域を堰沢南部とし、調査、観測は、この地域を中心に実施することにした。

図-10には、同じく昭和37年、48年、54年、56年の調査結果をもとに主測線における変動縦断面図を示した。この図から地すべり現象をみると、沼田、袖の沢については、際だった隆起、沈下はみられず水平移動が大きい。下沢の目については、大きな沈下を示している。また、大石出口については、隆起、沈下はみられるが前者に比較して小さなものとなっている。したが

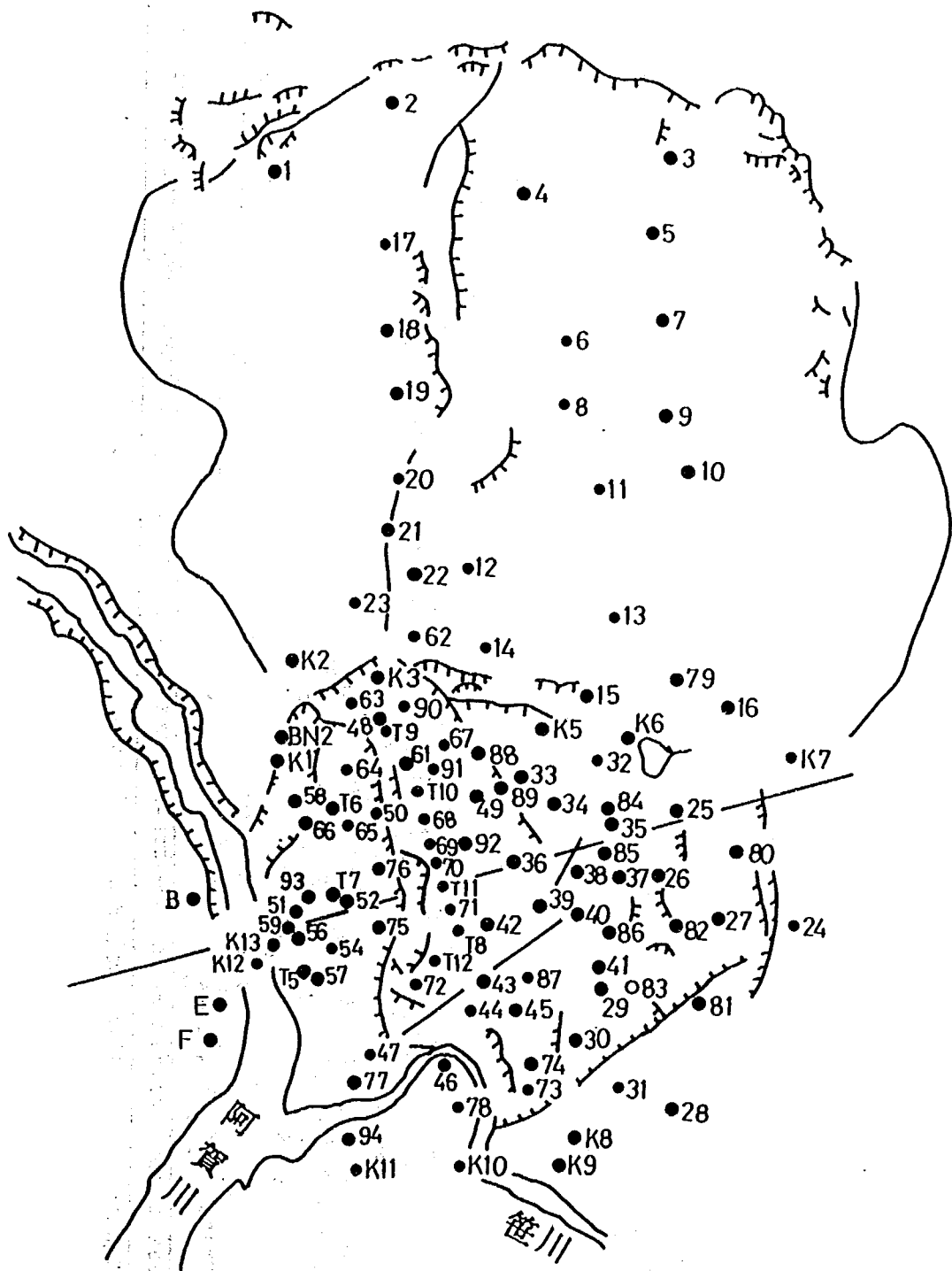


図-8 移動杭配置図

(内) 各 観測点 位置

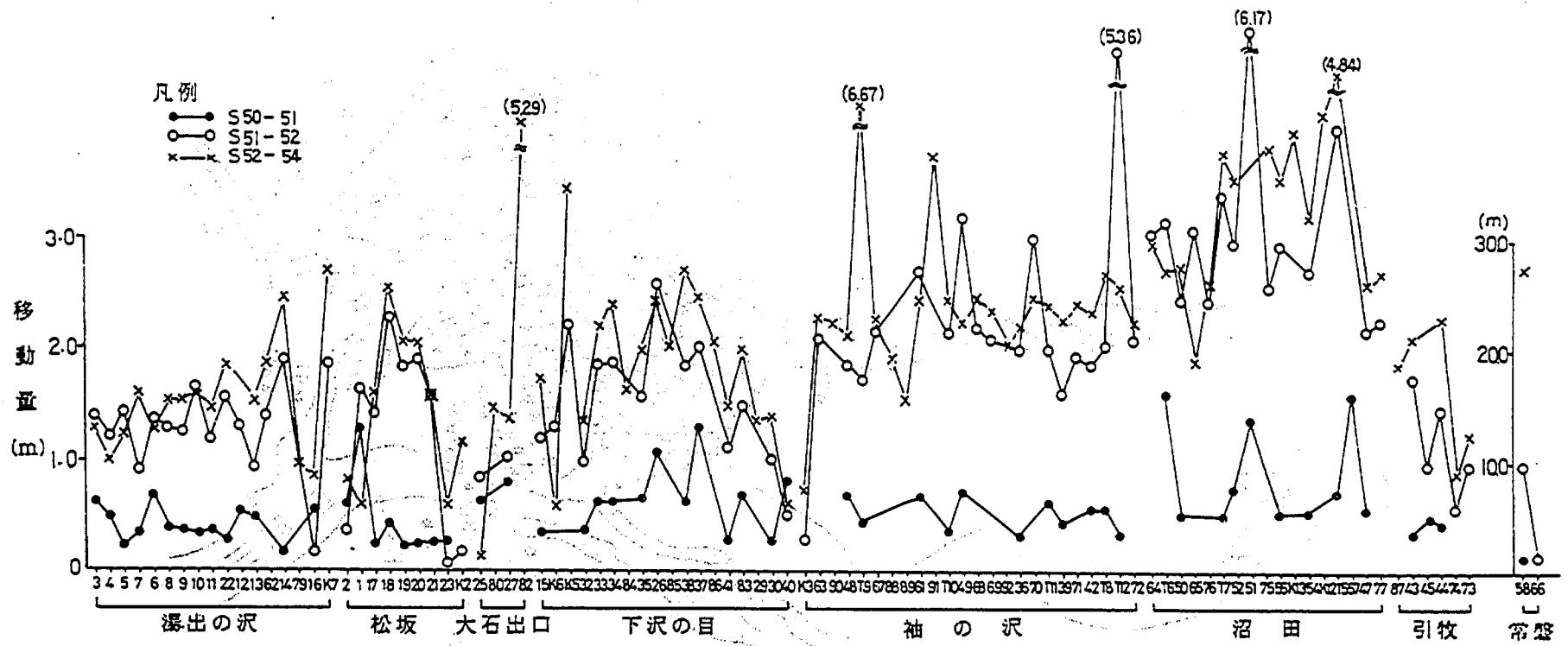


図-9 航測による移動量調査結果

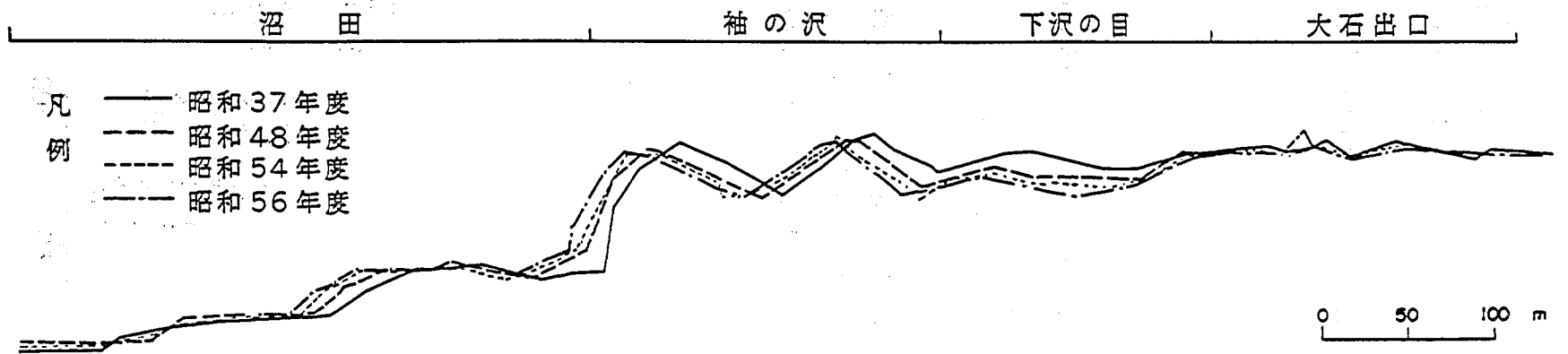


図-10 主測線変動縦断面図

って、堰沢南部においては、下沢の目が陥没域、袖の沢と沼田が移動域の地すべりであり、下沢の目の上部の大石出口は、前述した地すべり現象に加えて袖の沢に比較して移動量が小さいことから、二次的な地すべりと判断される。

一方、変動状況から堰沢南部における斜面運動形態を考察すると、水平移動が大きいことや下沢の目と大石出口の間の主滑落崖の比高が、地すべり地形の広がりに対して小さい（一般的な地すべりであるスランプ型地すべり等と比較して）ことから、層すべり型地すべり⁸⁾に相当するものと考えられる。

2.2.2 移動杭による方法

地すべり移動量は、伸縮計等で観測することができるが、正確に移動量を求めることは難しい。そこで、絶対移動量を観測するために、コンクリート製の移動杭を設置し、地すべり地外である対岸から光波測量を実施している。杭の設置位置は、袖の沢の急崖上である。図-3には、その位置を示した。

図-11に移動杭の観測結果を、最終最大積雪深と水平移動量との関係で示した。後述するが、滝坂地すべりにおける移動は、融雪期が主なものである。したがって、移動量は積雪深の大小に左右されると考えられたことから、融雪期に入る直前の最大積雪深（最終最大積雪深）を移

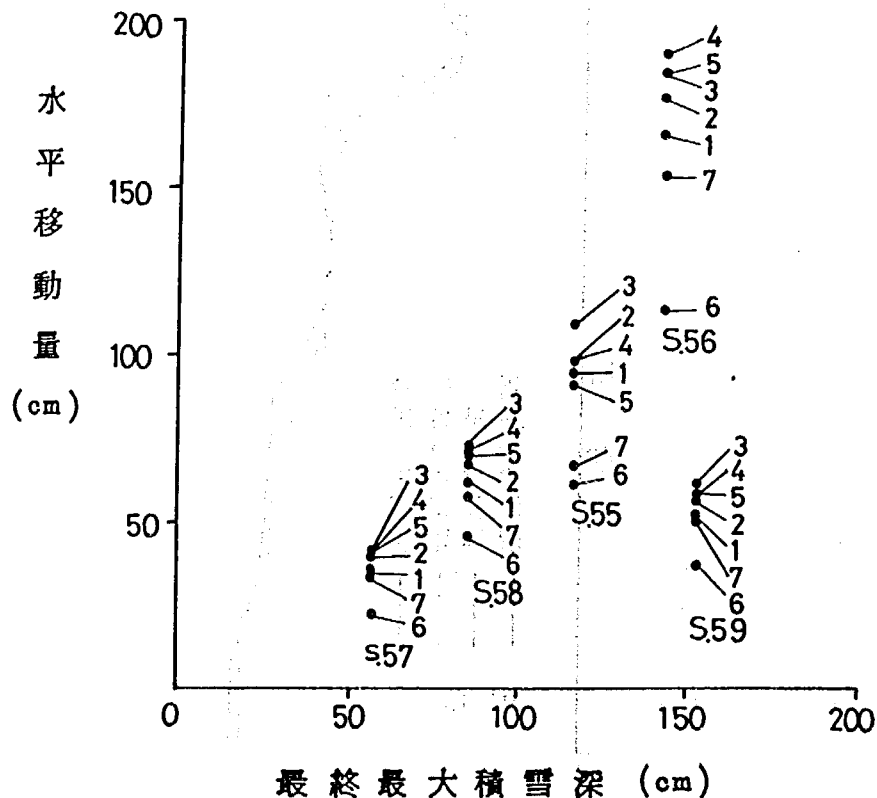


図-11 移動杭観測結果

動の要因とした。各年の水平移動量をみると、昭和57年の平均値39cmから昭和56年の平均値176cmまでと大きな差がみられ、最終最大積雪深の増加に対する水平移動量は、昭和59年を除くと指数関数的に増加し強い相関を示している。また、各移動杭の水平移動量は、No2, 3, 4, 5については、ほぼ同じ移動量を示しているが、堰沢側のNo1については若干小さく、引牧のNo7については更に小さくなっている。また、No6が一番小さい。この移動量の違いをすべり面形状及び地形から考察すると、以下のようなになる。No7のある引牧側は、図-6に示すように堰沢側から引牧側にかけて徐々に深くなるすべり面の横断形状を呈し、移動土塊が引牧側に押し付けられる状態となっている。このような場合は、すべり面の深い位置での側面の抵抗が大きいため、移動量の横断的な分布は、すべり面の深い部分が浅い部分より小さくなる。また、引牧ブロックは図-3に示すように笹川の対岸に規制される位置にあり、このため、笹川対岸には地すべり運動による岩盤の破碎現象がみられる。以上、この二つの要因が各移動杭の移動量の差になって現れていると考えられる。

2.2.3 移動計による方法

滝坂地すべりのように大規模な地すべりにおいては、伸縮計を設置する場合、不動地から設置することはかなり難しい。したがって、移動観測を実施しても相対的な移動量しか得られない。この問題を解決するために、図-12に示すような形式で伸縮計を設置している。すなわち、ボーリングを行いすべり面以深にアンカーをとり、ガイドパイプを通して地表までステンレスワイヤーを導き、伸縮計（1ヶ月巻き）につなぐというものである。なお、ステンレスワイヤーは、温度特性等の問題はあるが、地すべり移動量が多いことやインバー線と比較して格段に耐久性があることから使用している。このような形式で設置した伸縮計を移動計と称している。

図-13,14,15には、移動計による移動量、地下水位、降雨量の観測結果を示した。なお、観測位置は図-3に示した。BV-77, 103は沼田、BV-80, 83, 92, 85, 91は袖の沢に設置した移動計である。移動時期は、融雪期、豪雨期、秋霖雨期であり、特に融雪期に顕著な移動がみられ、最大日移動量は約20mmに達している。また、移動量は地下水位の変化と良く対応している。

なお、昭和57年から60年までの移動計による移動量、降雨量の観測結果を図-16,17に示す。

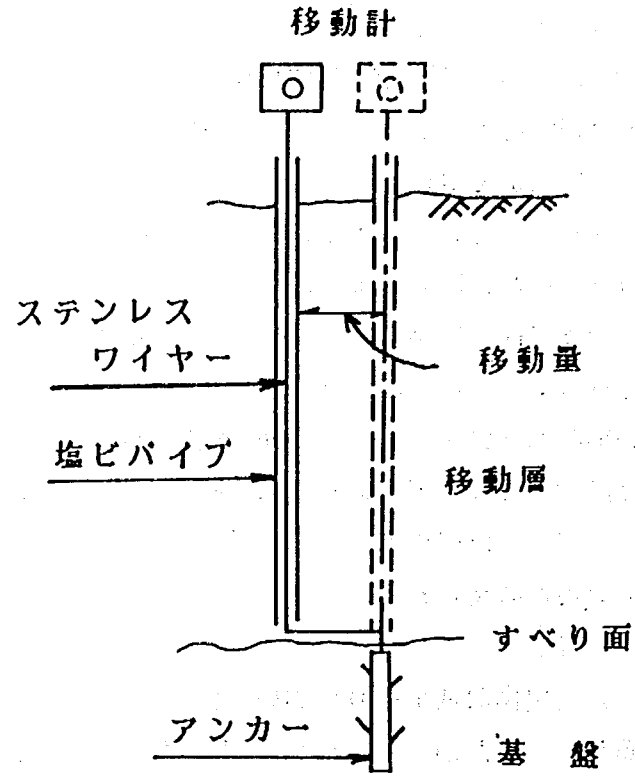


図-12 移動計設置図

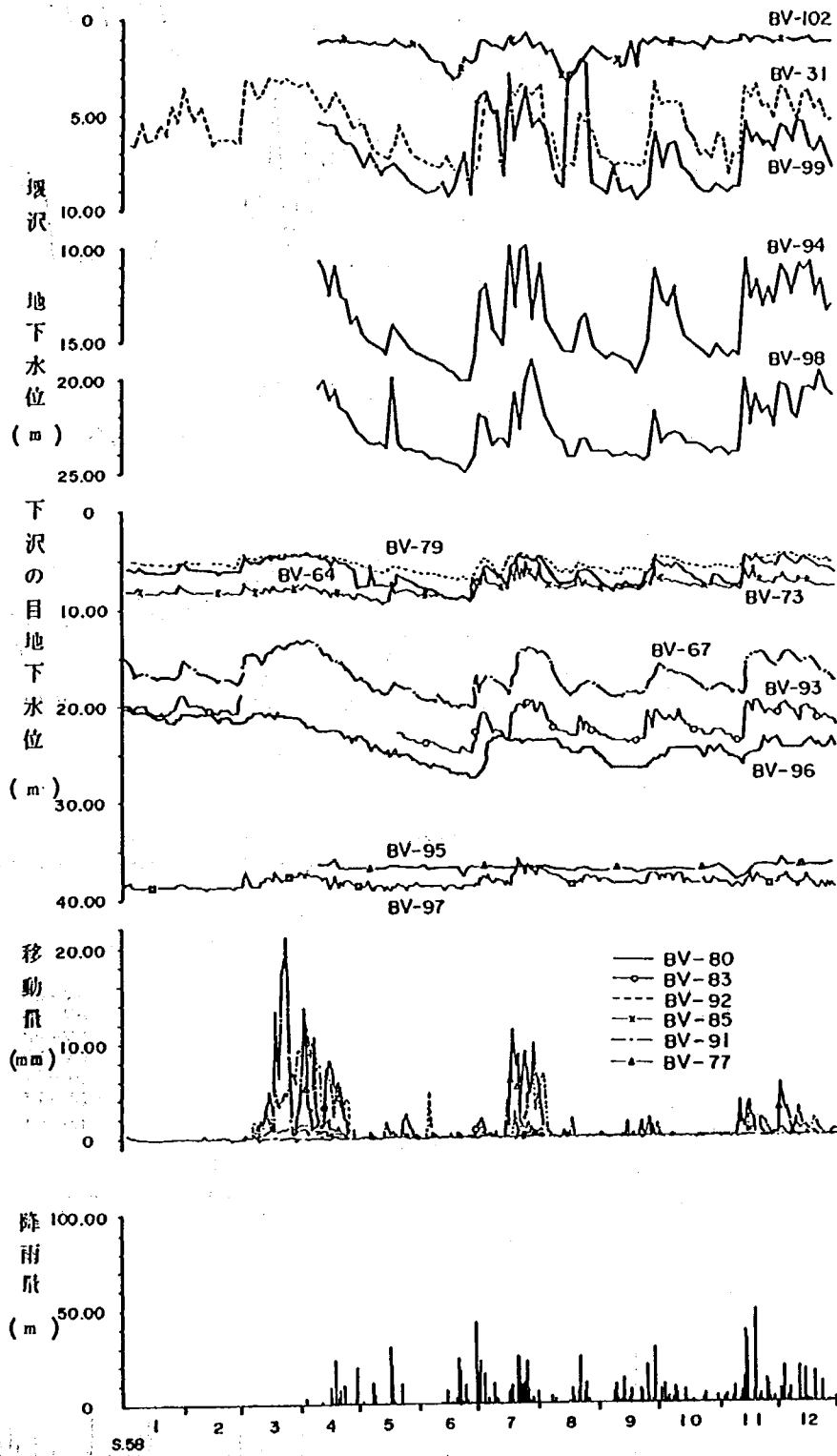


図-13 昭和58年観測結果

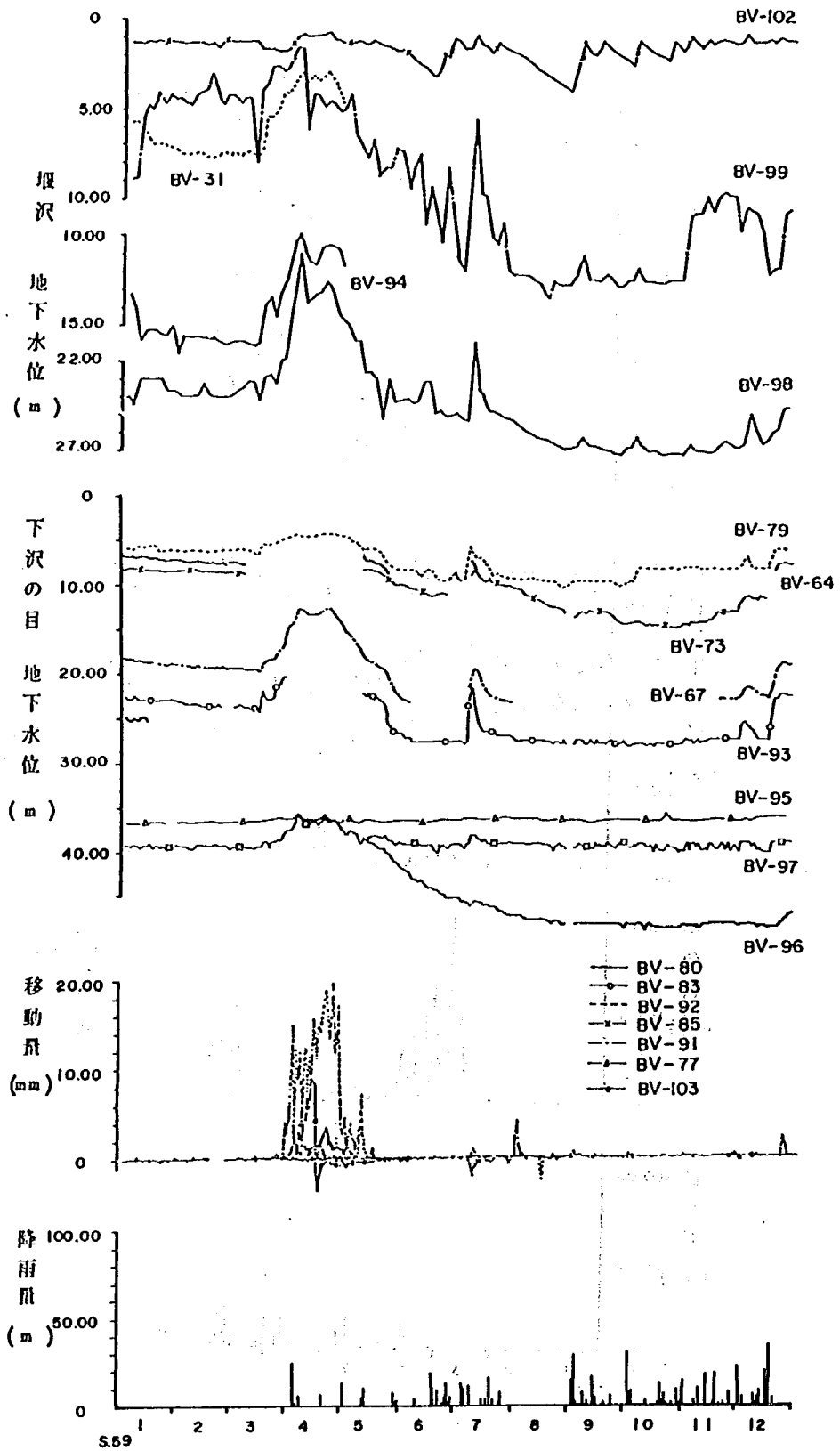


図-14 昭和59年観測結果

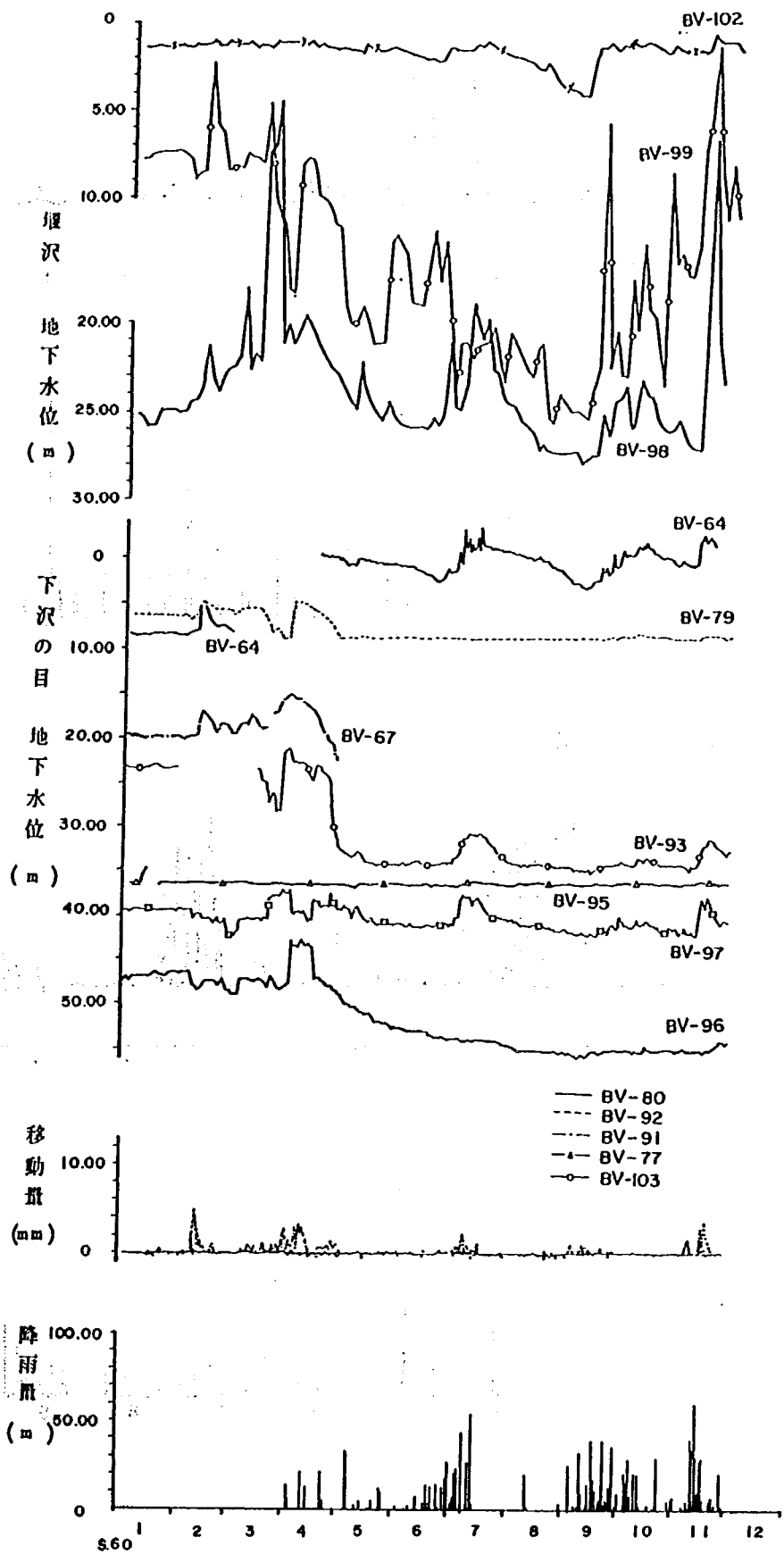


図-15 昭和60年観測結果

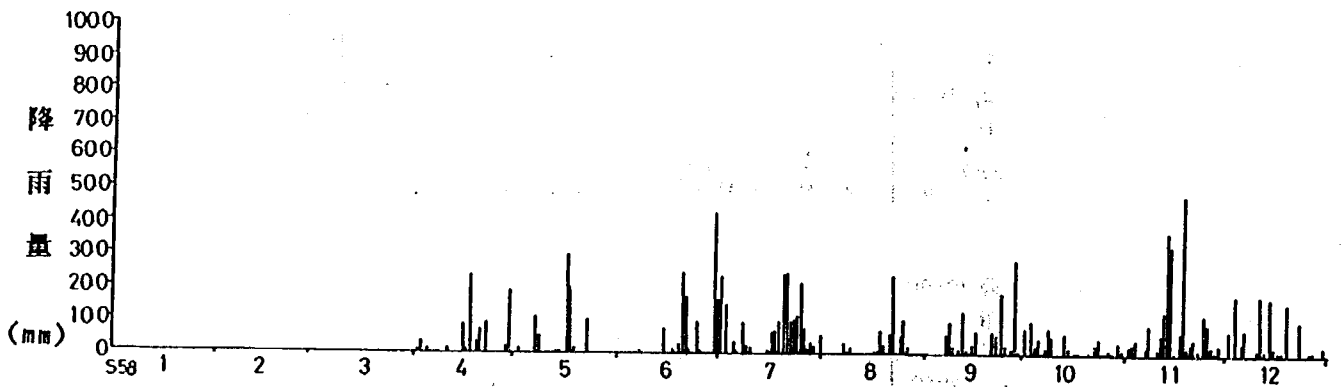
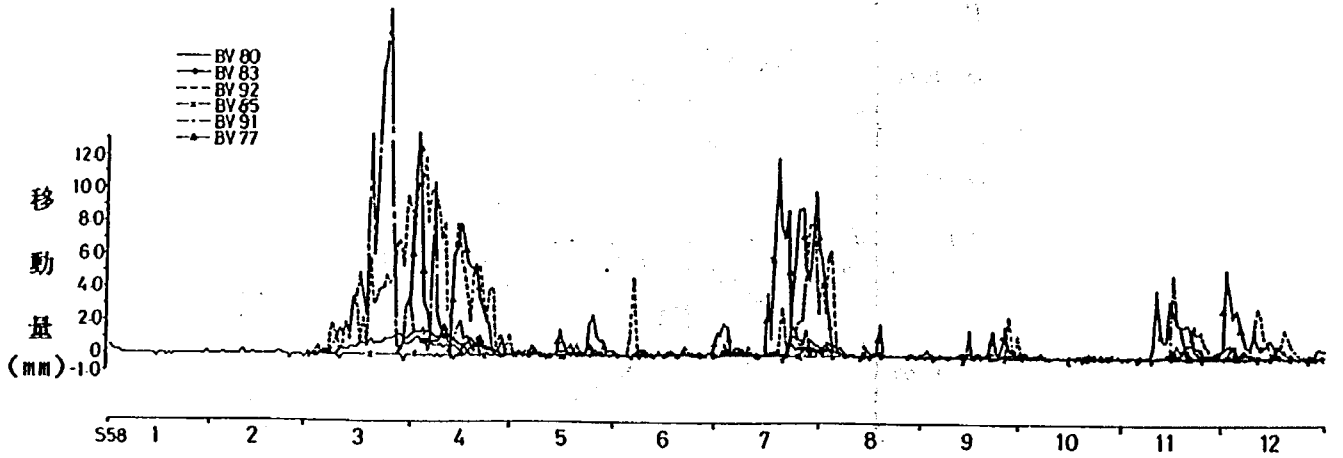
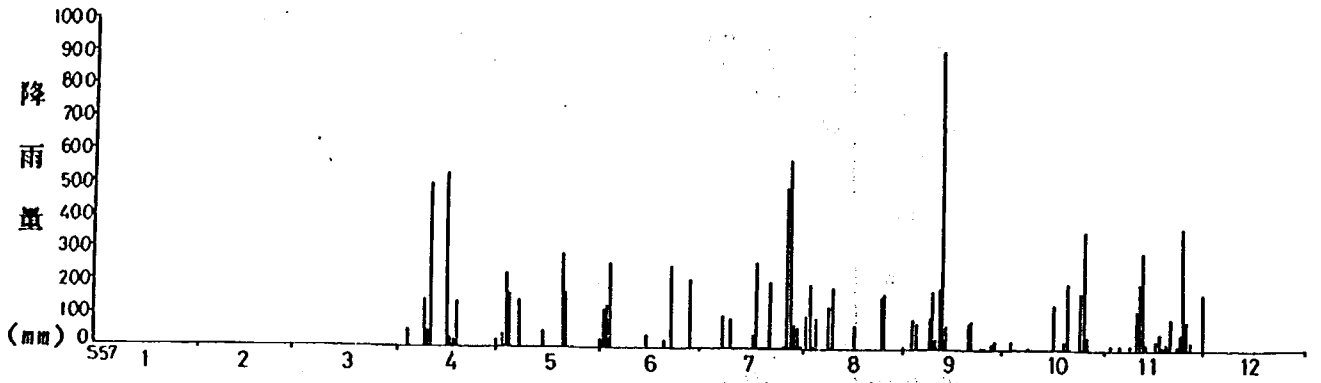
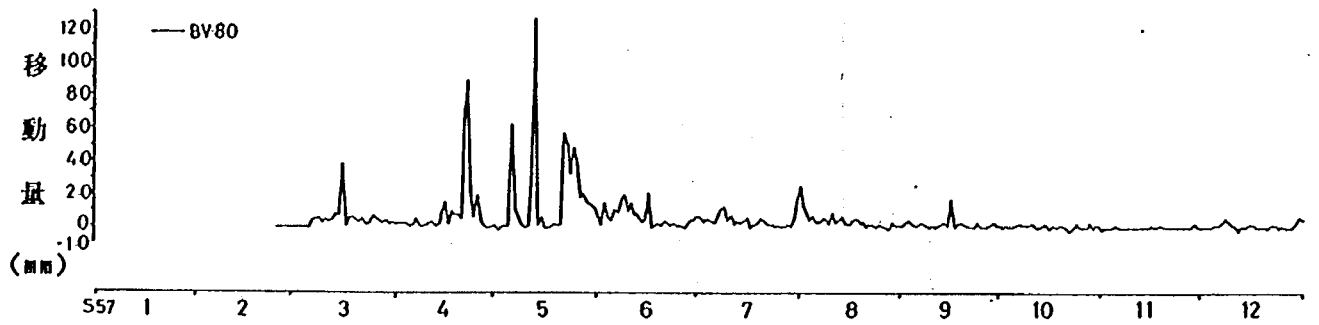


図-16 昭和57,58年移動計観測結果

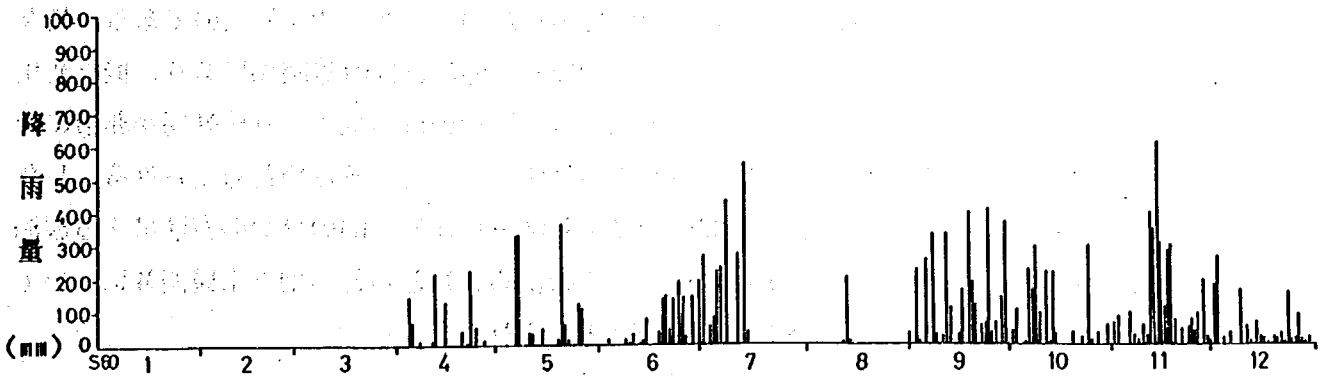
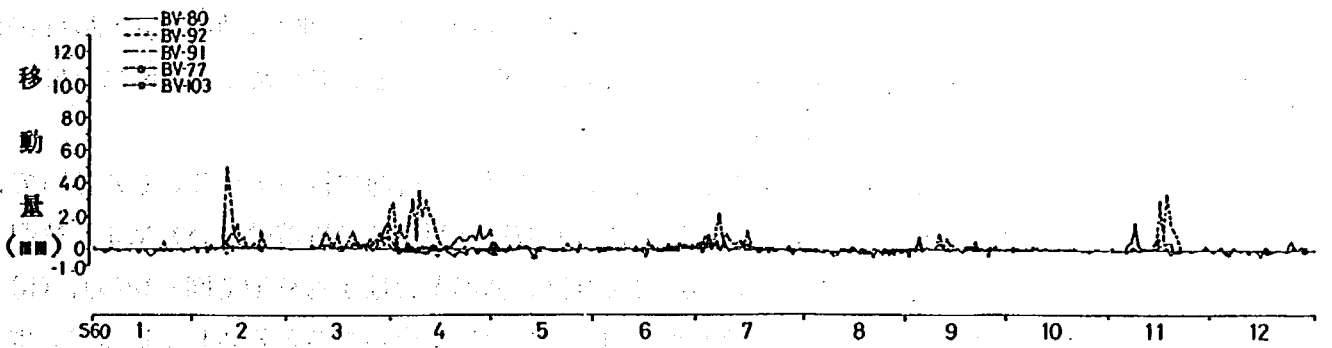
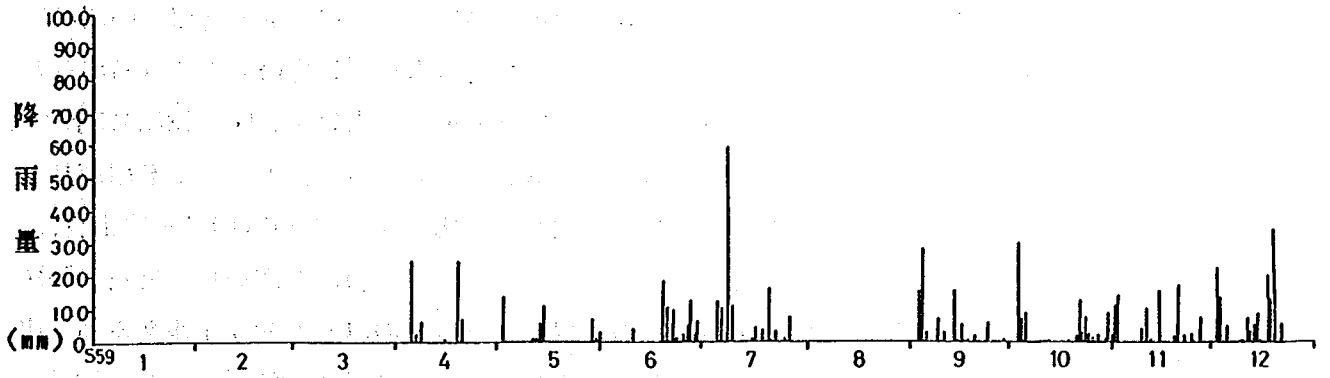
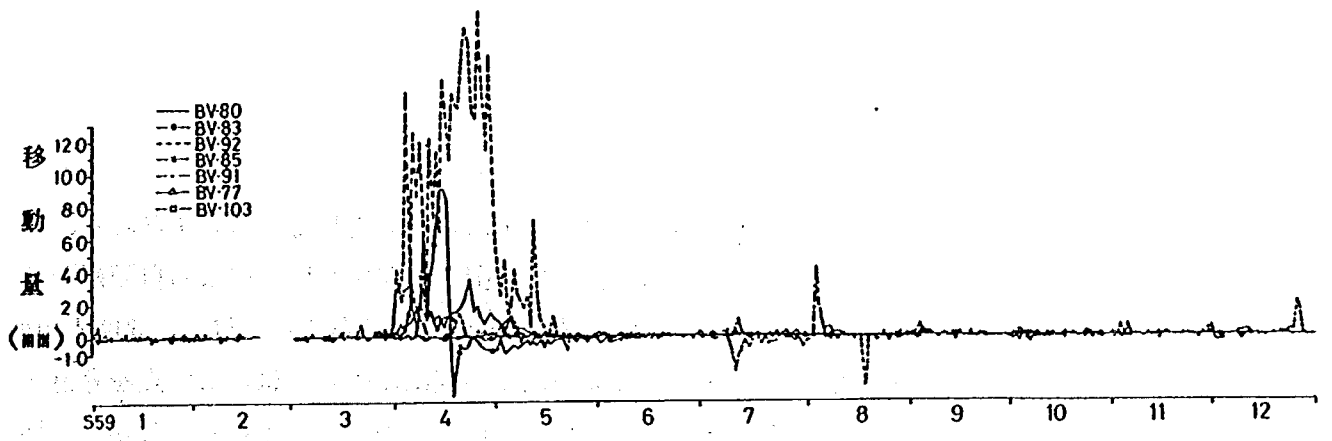


図-17 昭和59,60年移動計観測結果

2.3 地下水位調査

滝坂地すべりにおける地下水位調査は、以下に示す方法により実施している。すなわち、水位計テープによる手観測と図-18(a), (b)に示すように設置した間隙水圧計による自記観測を行う方法である。本地すべりは、すべり面が深い位置で100m以上にも達し、且つ、年間1m前後の移動がある。したがって、地下水位あるいは間隙水圧の観測に際しては、この点を考慮する必要があった。通常、地下水位の連続観測には、地下水位計が用いられている。しかし、移動が激しい場合や観測井が深い場合には、観測井に曲がりが生じ、フロートと孔壁との間の摩擦や引っ掛かり等のために、フロートが地下水位に追従してスムーズに昇降しなくなる場合がある。このため、既存の観測井の連続観測に際しては地下水位計を用いず、図-18(a)に示すように間隙水圧計を吊り下げて観測する方法を用いた。なお、この場合はストレーナを観測井の底から地表面付近まで設けてある。また、新たに観測をする場合は、図-18(b)に示すように、間隙水圧計の上下1mを砂、その上部をベントナイトでシールする方法を用いた。また、間隙水圧計のコードは、地すべり地内を引き回すため、ワイヤー入りのコードやフィルダム等で用いられているクロロプレクタフレックスコードを使用した。図-3に観測位置を、図-13, 14, 15には観測結果をそれぞれ示した。なお、BV-64, 67, 73は図-18(a)の方法で、BV-93, 96, 97は図-18(b)の方法で観測し、地下水位に換算した値で示した。また、他のものは3日間隔に水位計テープで手観測した値である。地下水位の変化をみると、融雪及び霖雨時に上昇し降雨に敏感に反応していることがわかる。

地下水位調査は、安定解析及び防止工事の効果判定に用いる目的で行っている。したがって、すべり面における正確な値が必要であり、先に述べた方法（観測井の構造の違い）による観測値に差が出るようであってはならない。小川によれば、新潟県の地すべり地で図-18(a), (b)と同じ方法で観測した時、間隙水圧と換算水圧が一致しない場合があると報告している⁹⁾。本地すべりの場合を下沢の目における観測値について示したのが、図-19(a), (b)である。各々の観測井は最も近い位置にあるものである。図-19(a), (b)はほぼ直線関係にあり、似た変化を示していることがわかる。これは、地質調査によれば下沢の目の地すべり移動層が非常に亀裂に富んでおり、この結果、地下水が流動しやすい状態になっているためと考えられる。したがって、下沢の目については移動層の土層構造により図-18(a), (b)の2つの方法による観測値には、あまり差はみられないことがわかった。このため、ほとんどの地下水観測井について同等に評価して解析に用いることができるものと考えられる。

なお、全地下水位観測結果を図-20 (1)~(40)に示した。

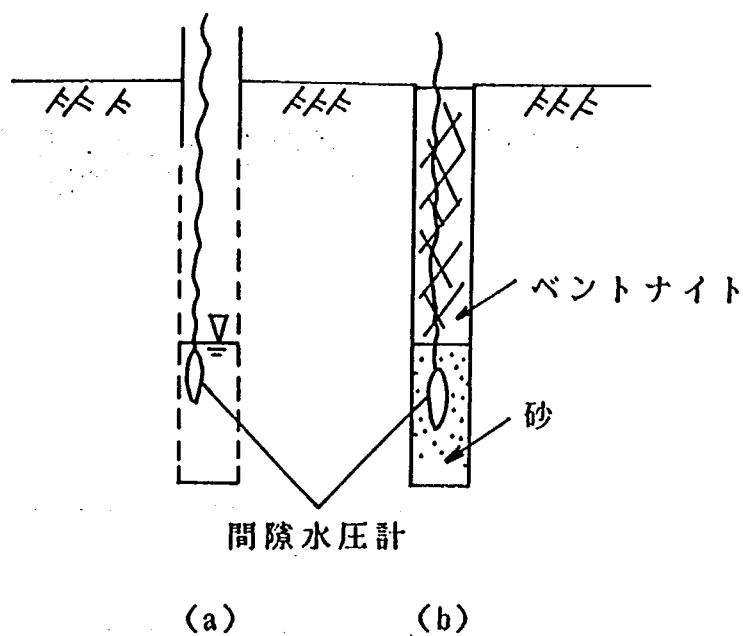


図-18 地下水位及び間隙水圧観測方法

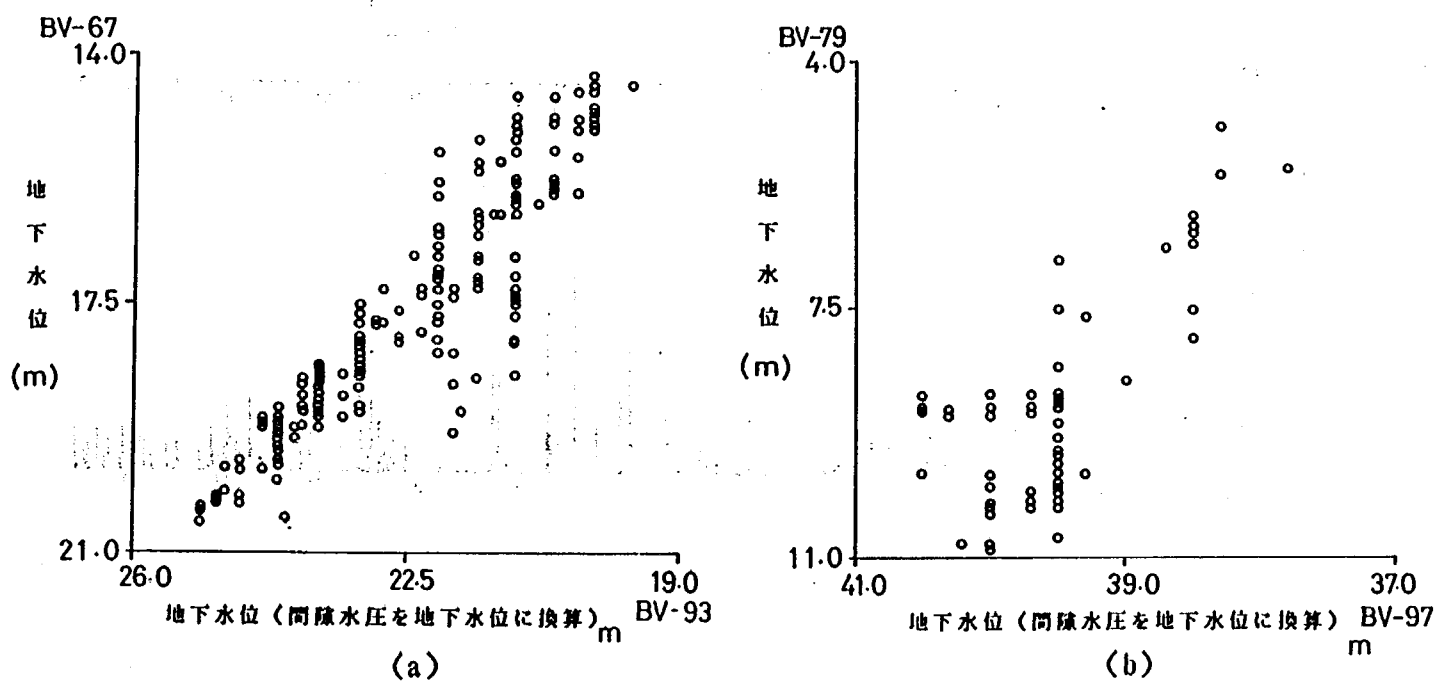


図-19 間隙水圧と地下水位の関係

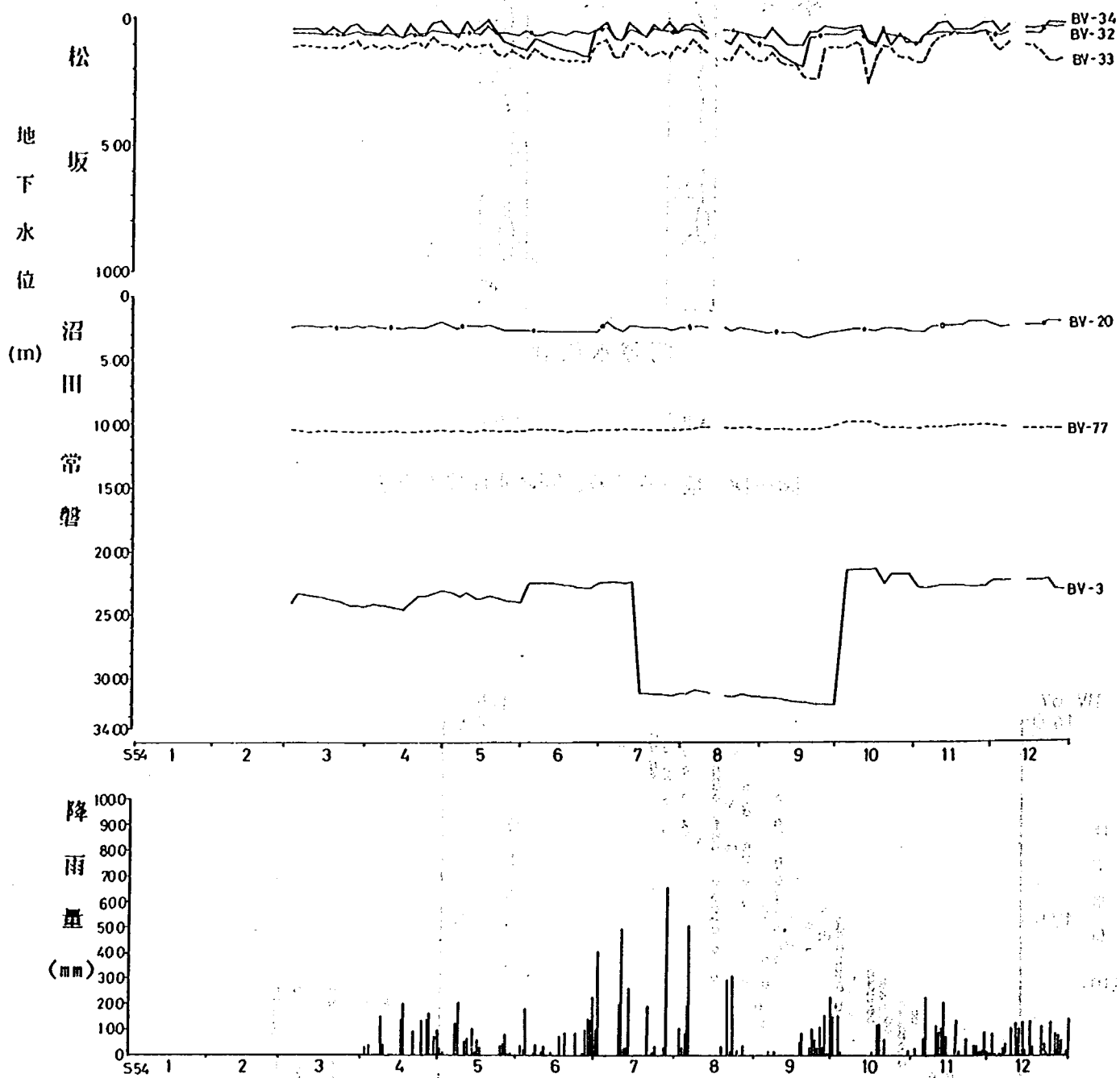


图-20 (1) 地下水位観測結果 (1) - 19

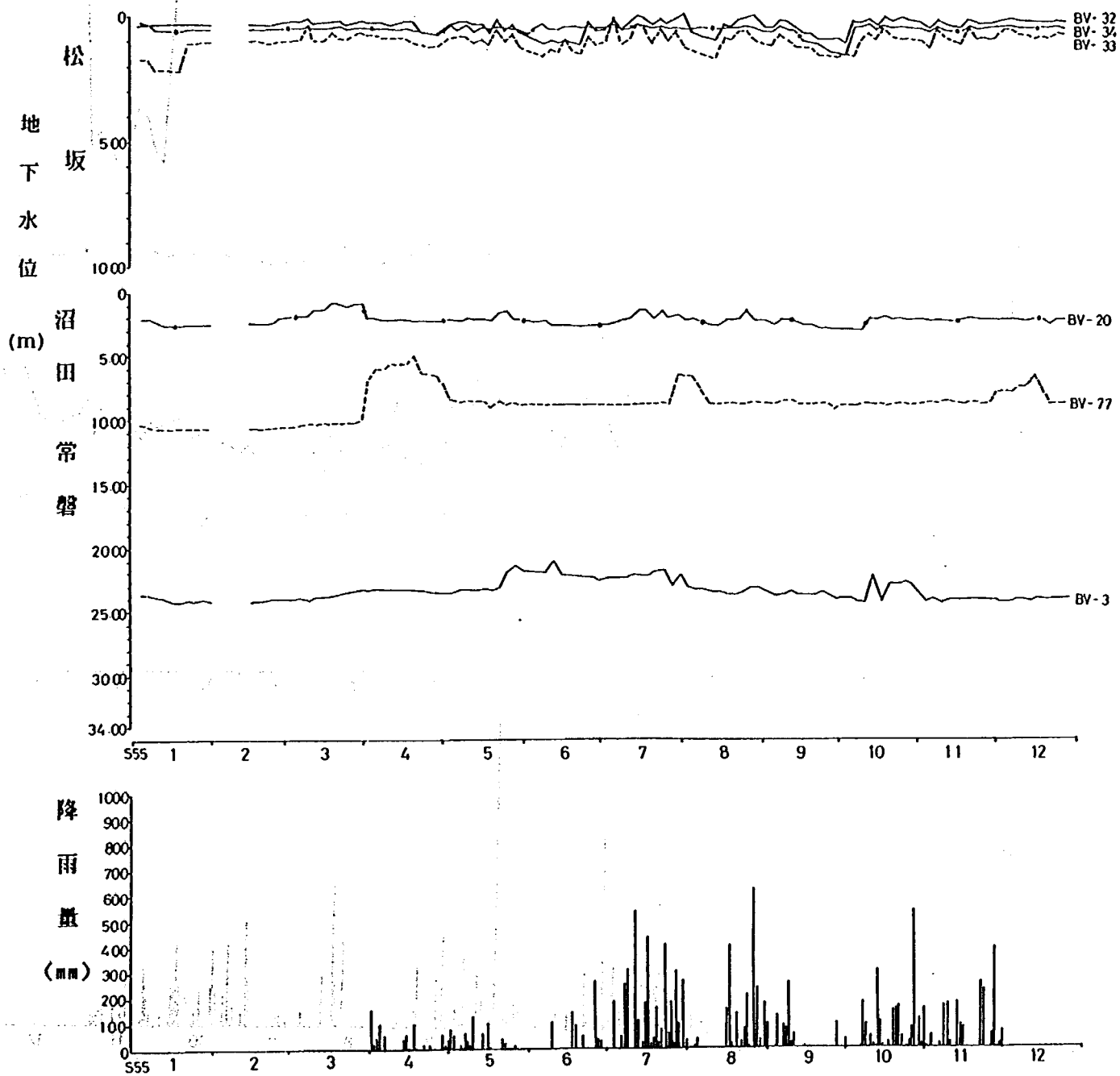


図-20 (2) 地下水位観測結果

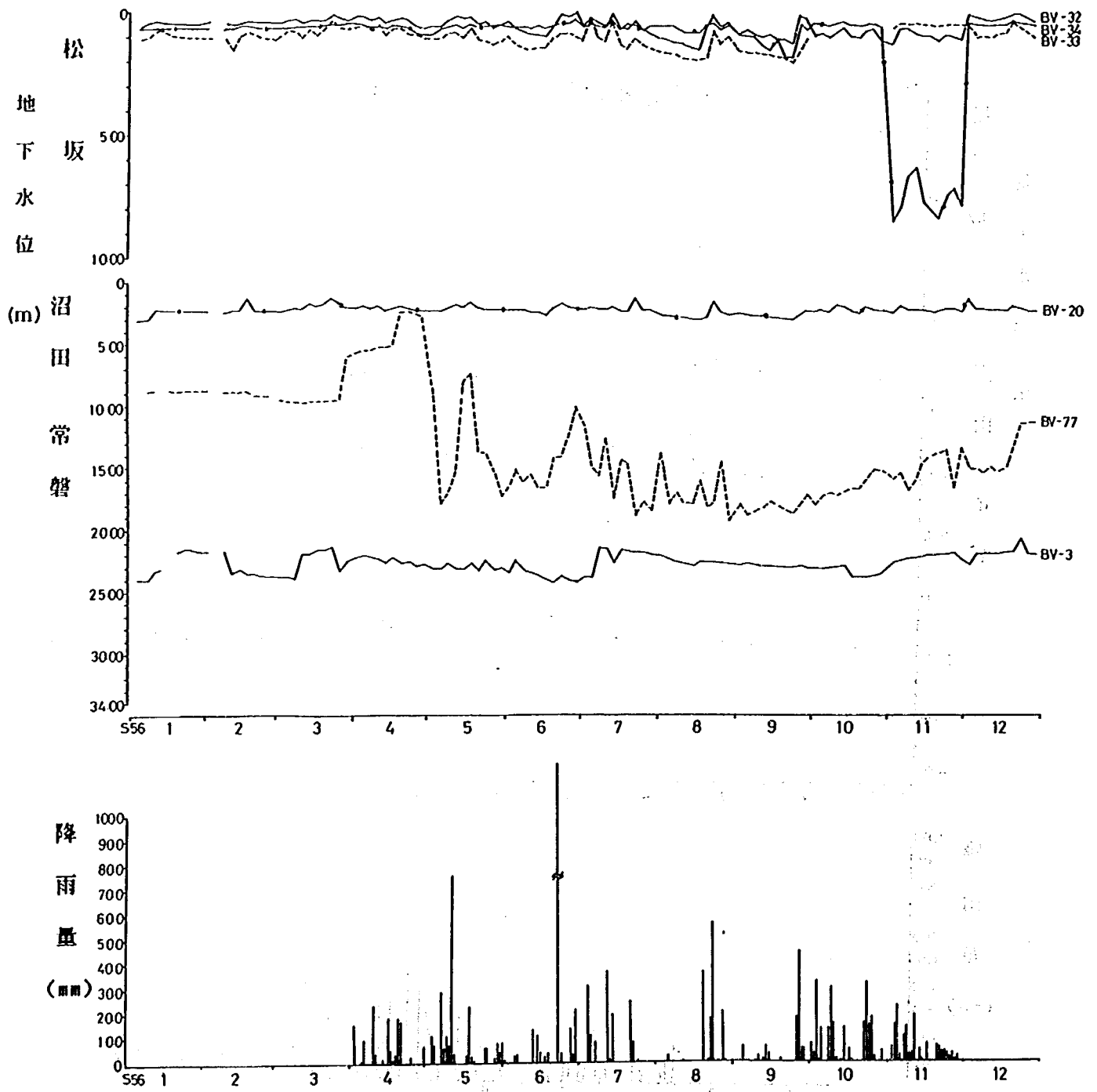


图-20 (3) 地下水位観測結果

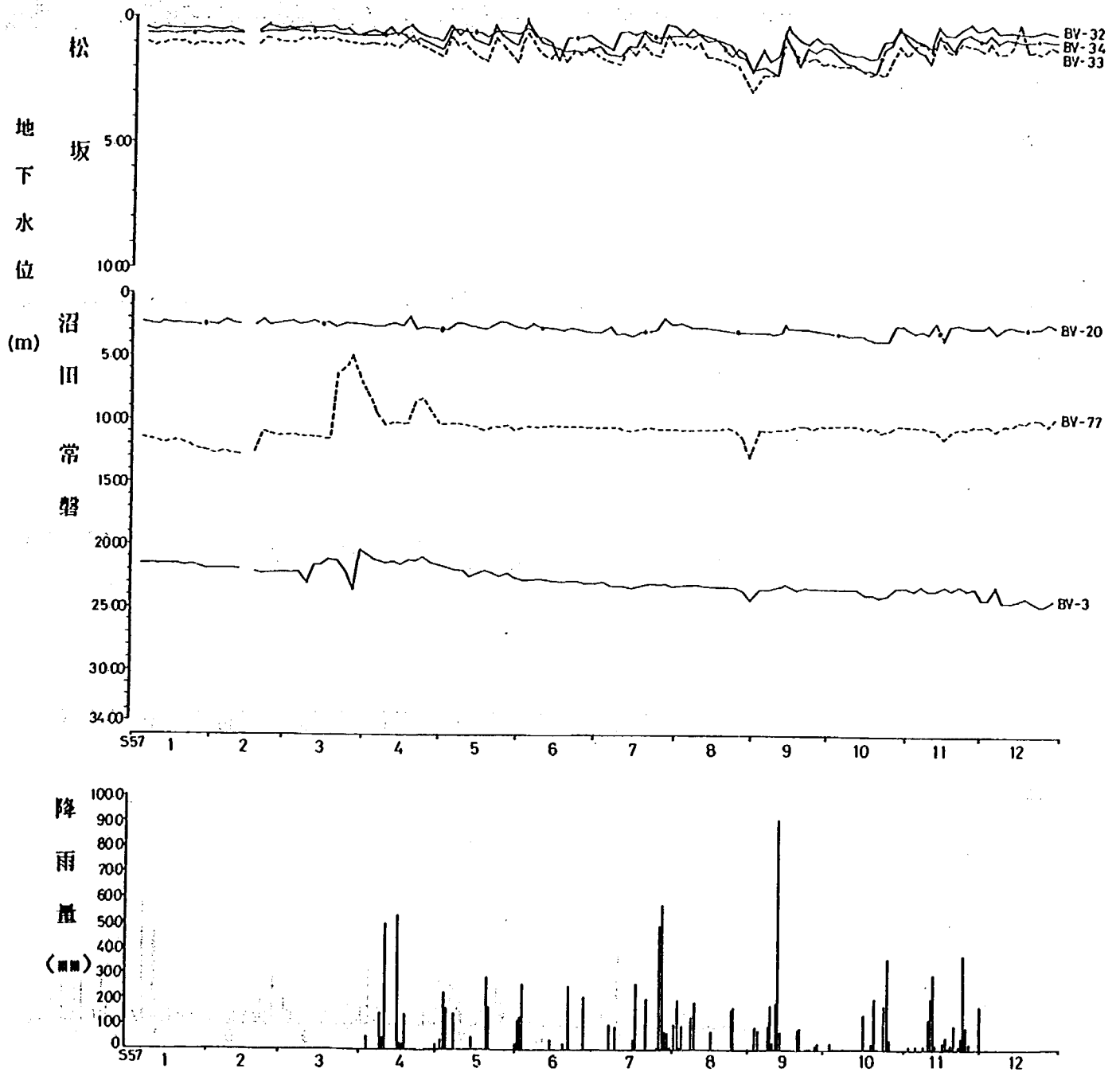


图-20 (4) 地下水位観測結果

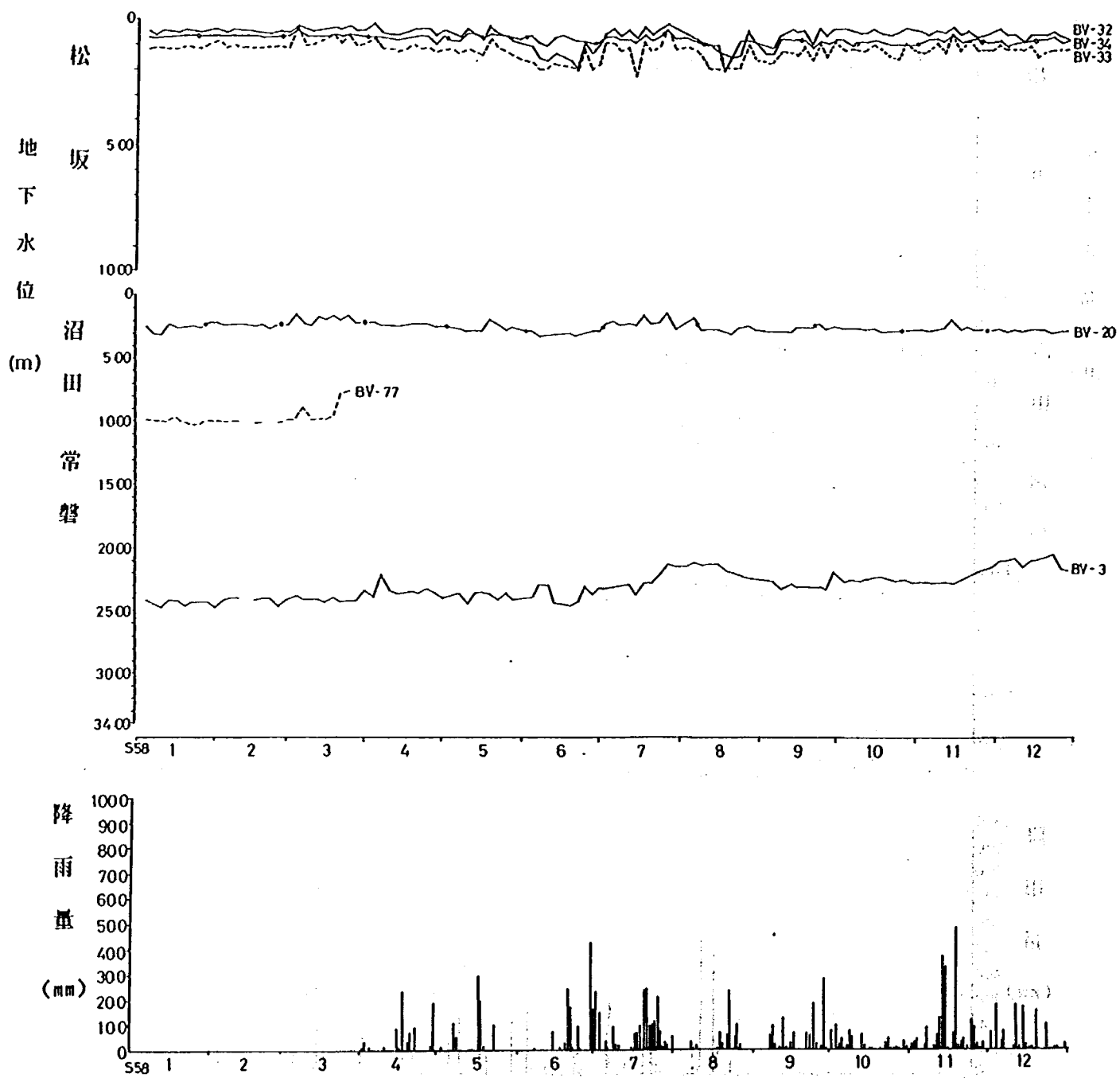


图-20 (5) 地下水位観測結果 (1) (00-18)

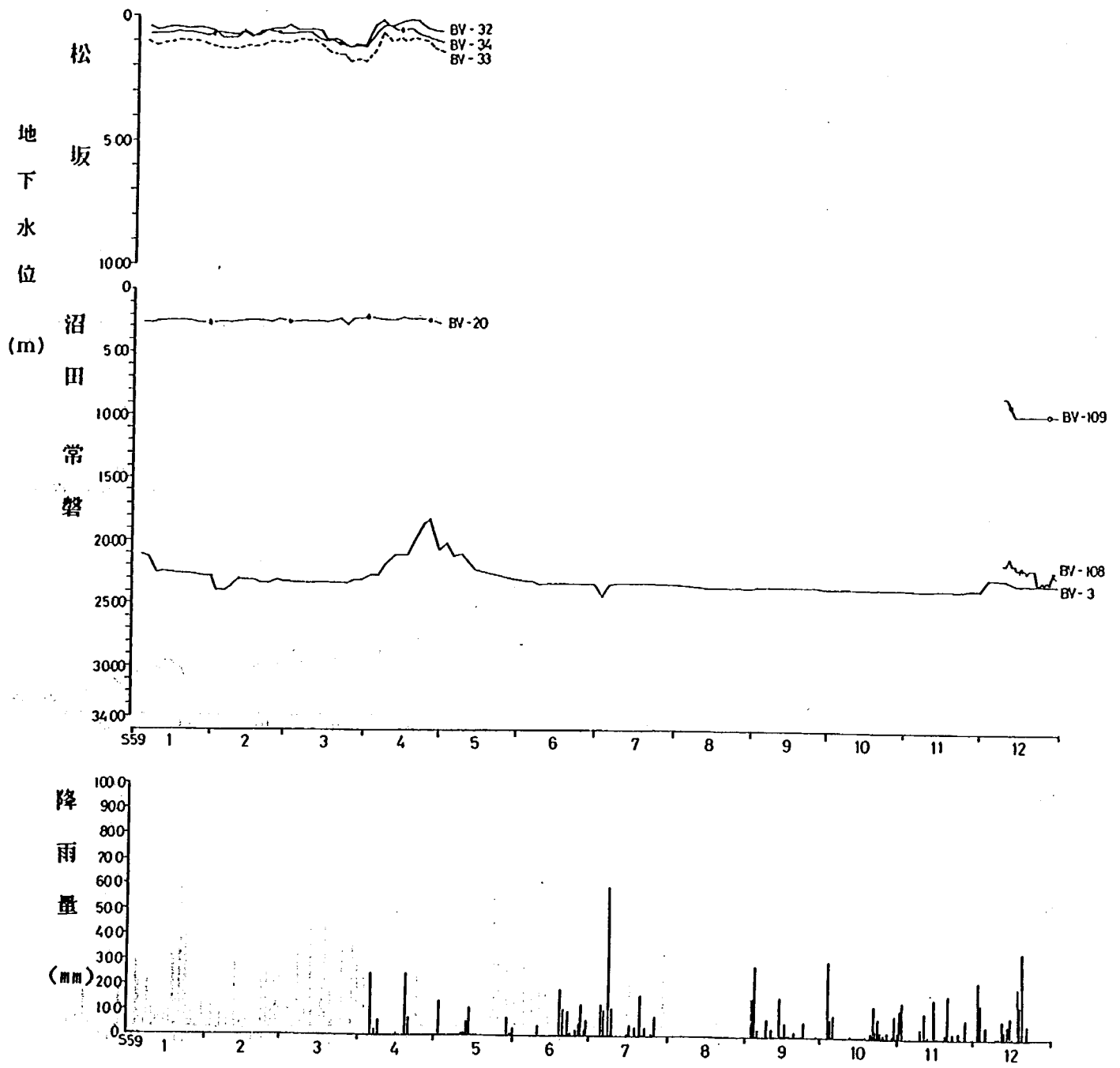


图-20 (6) 地下水位観測結果

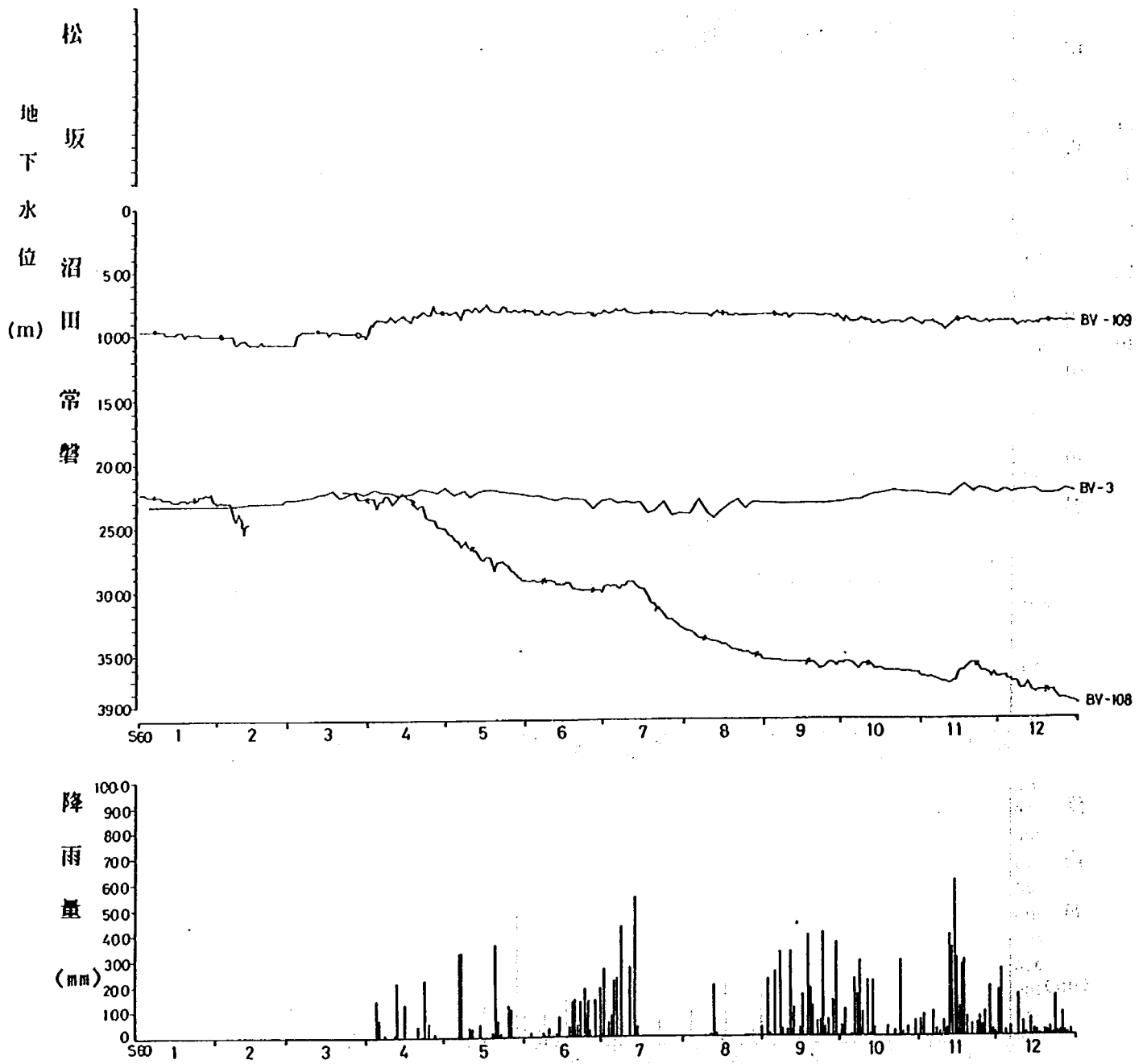


图-20 (7) 地下水位観測結果

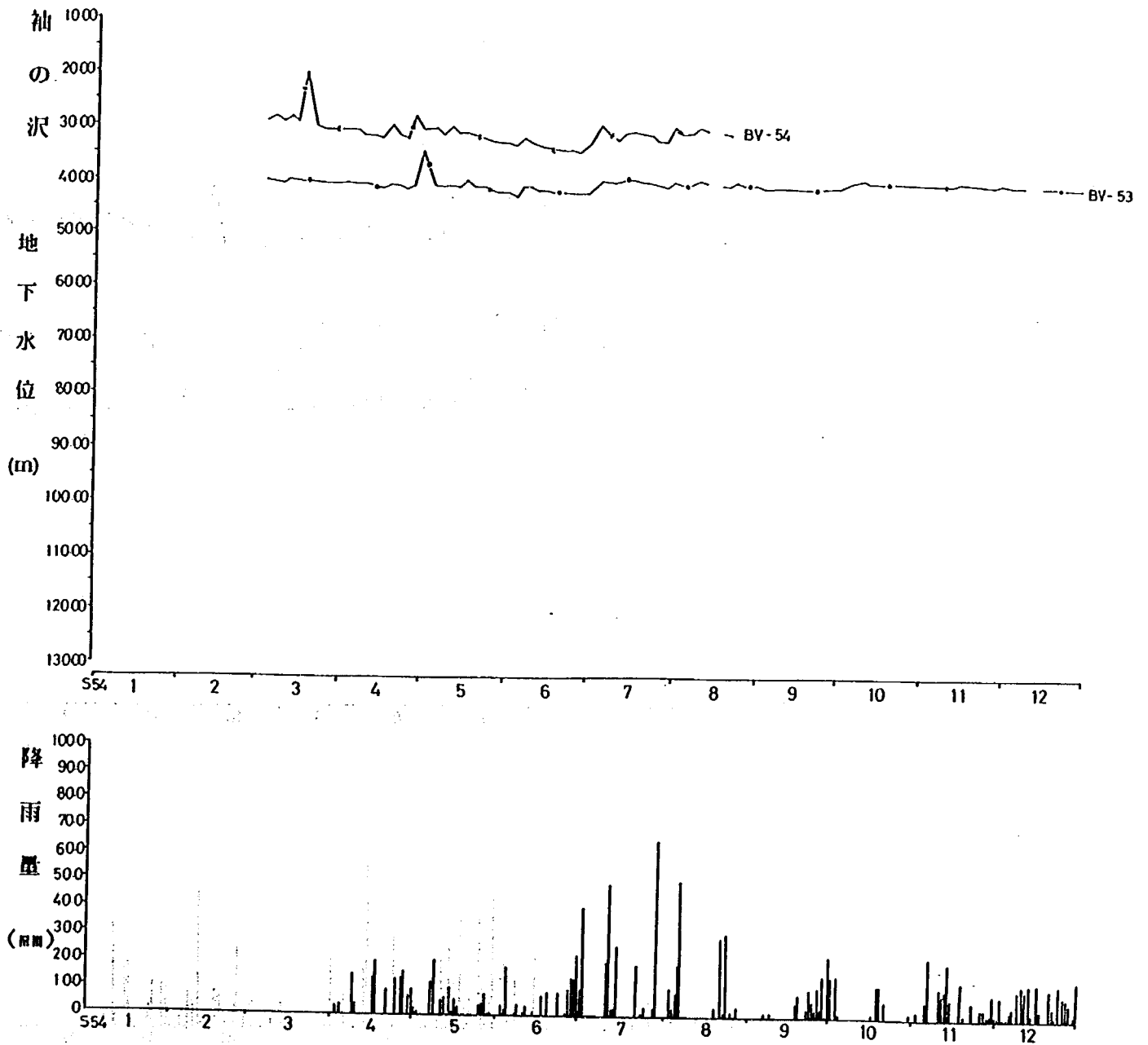


図-20 (8) 地下水位観測結果

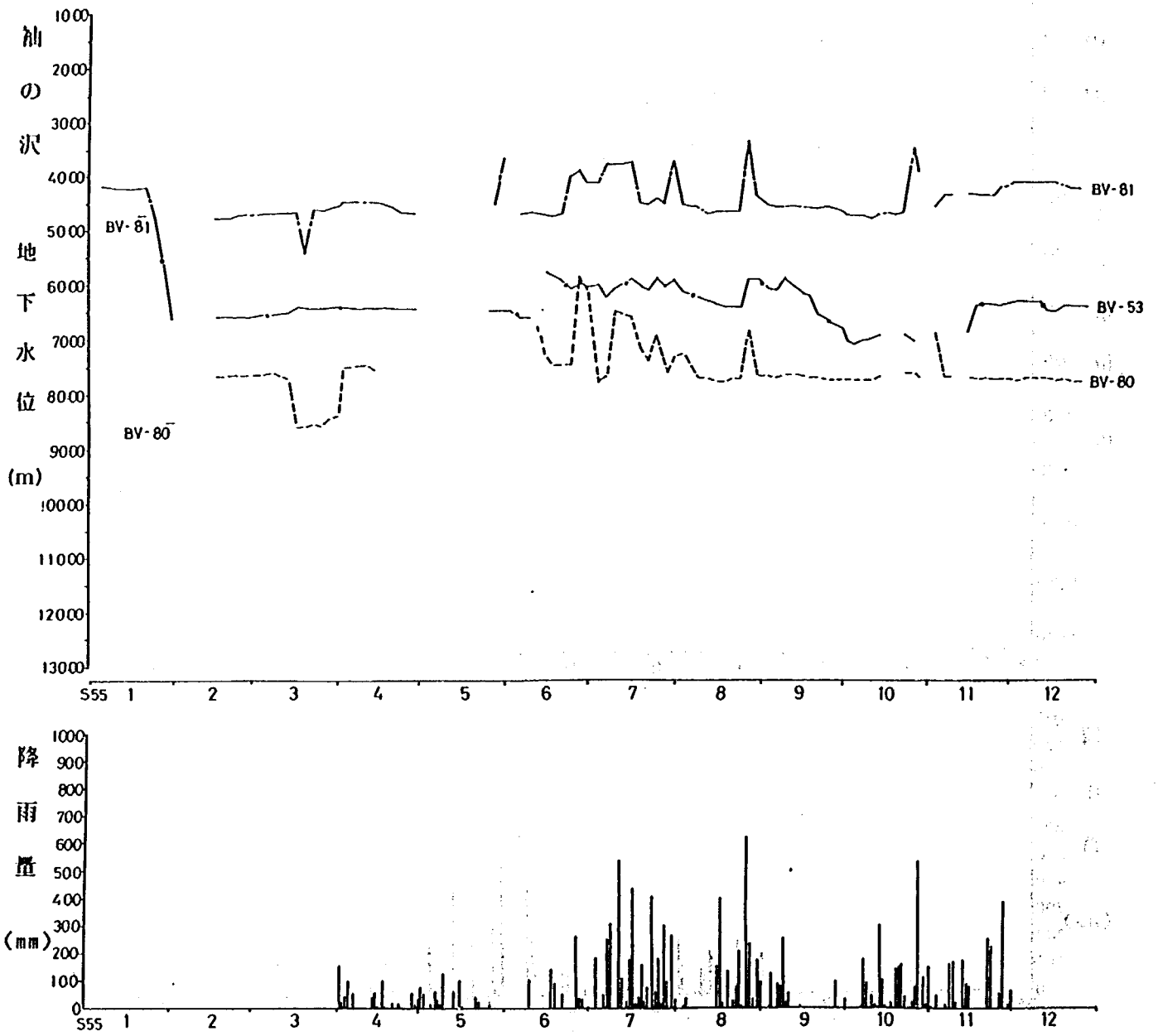


図-20 (9) 地下水位観測結果 (1955-1957)

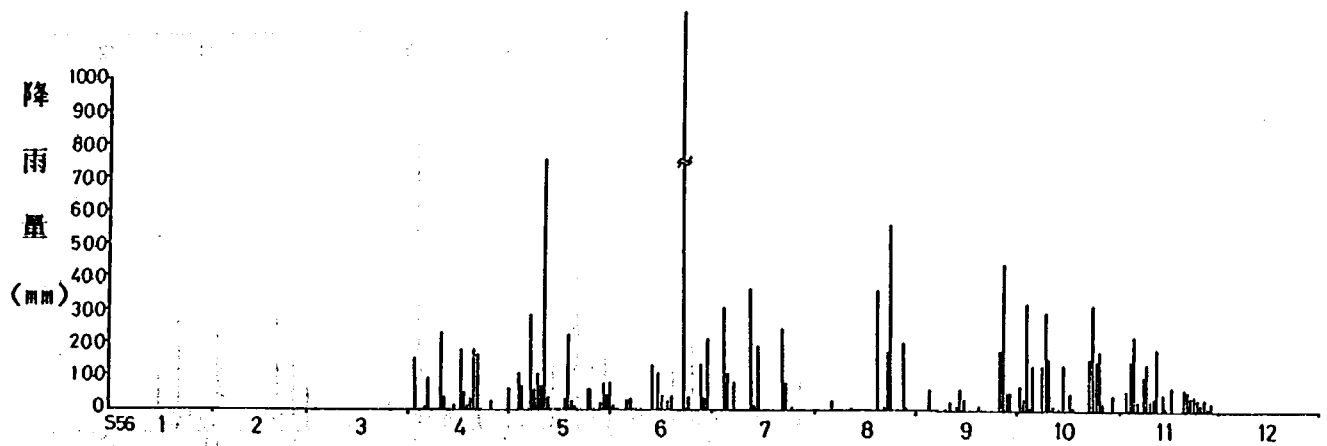
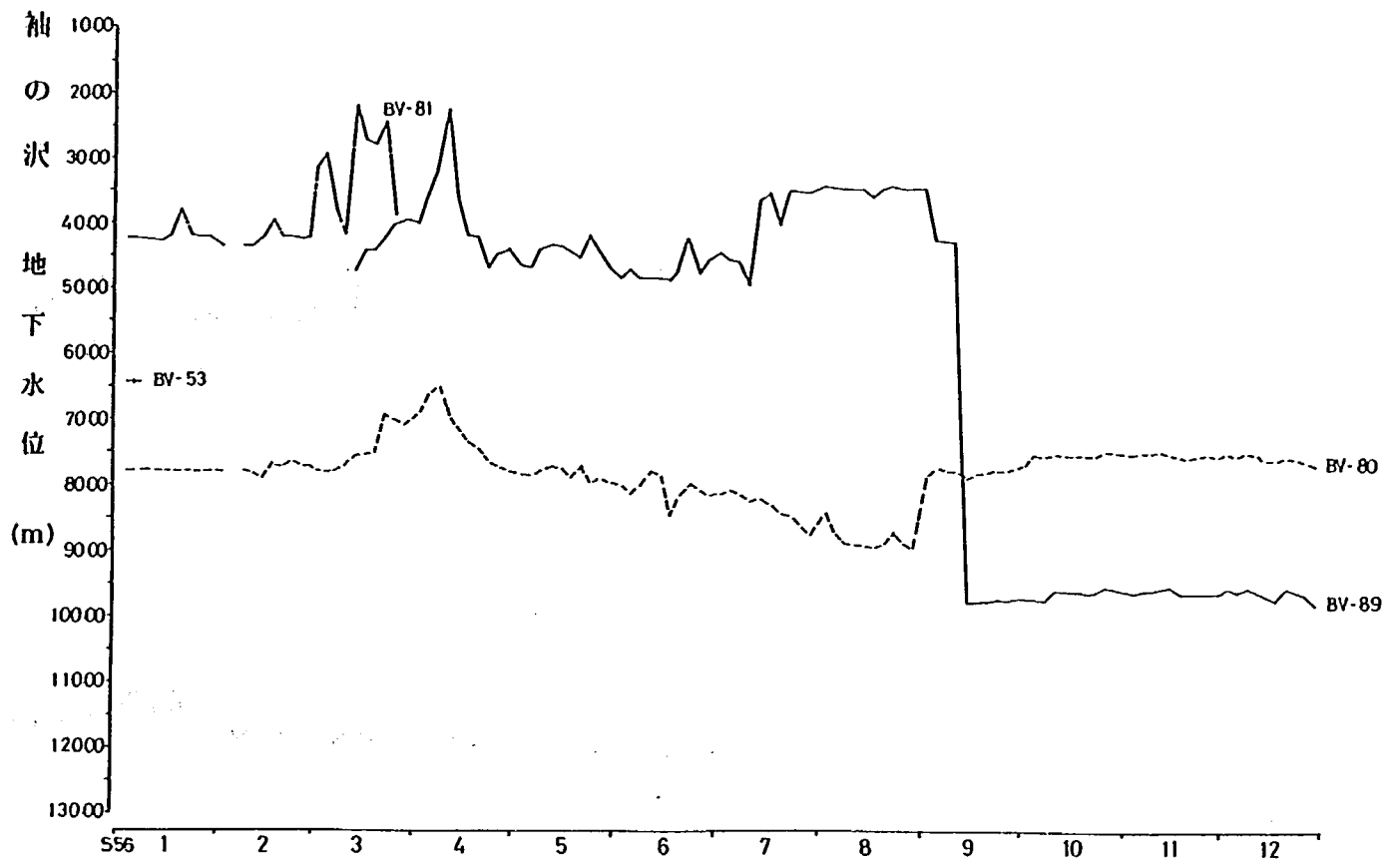


図-20(10) 地下水位観測結果

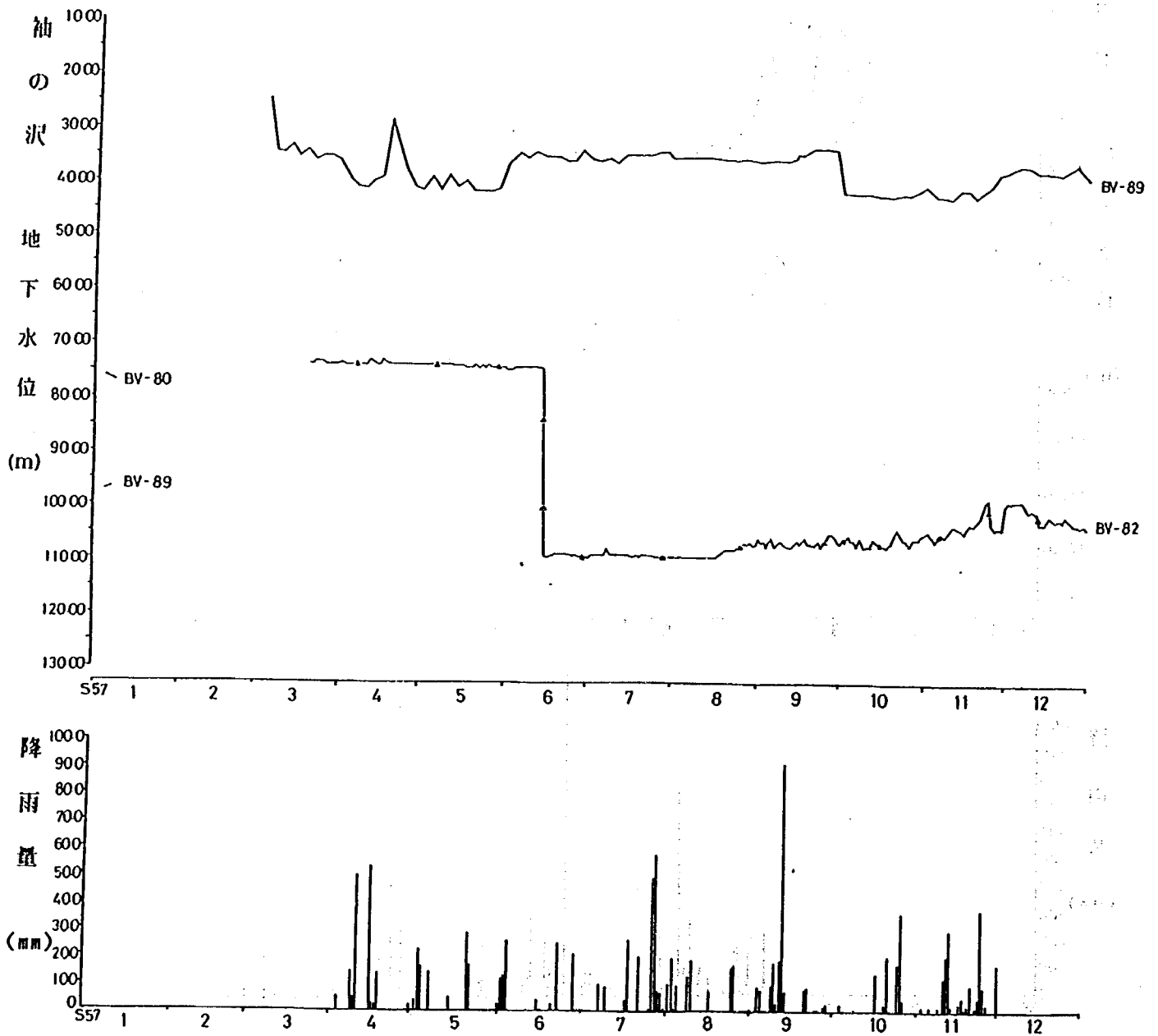


图-20 (11) 地下水位観測結果

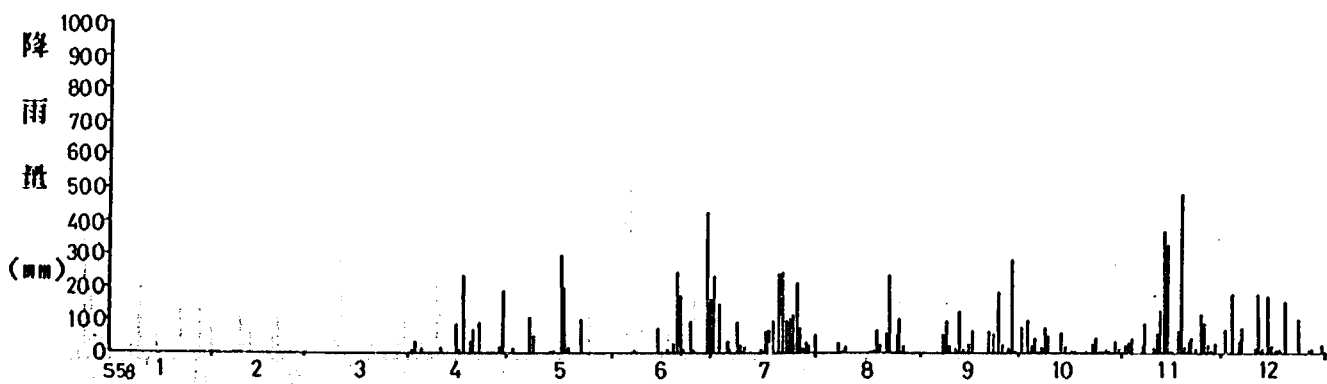
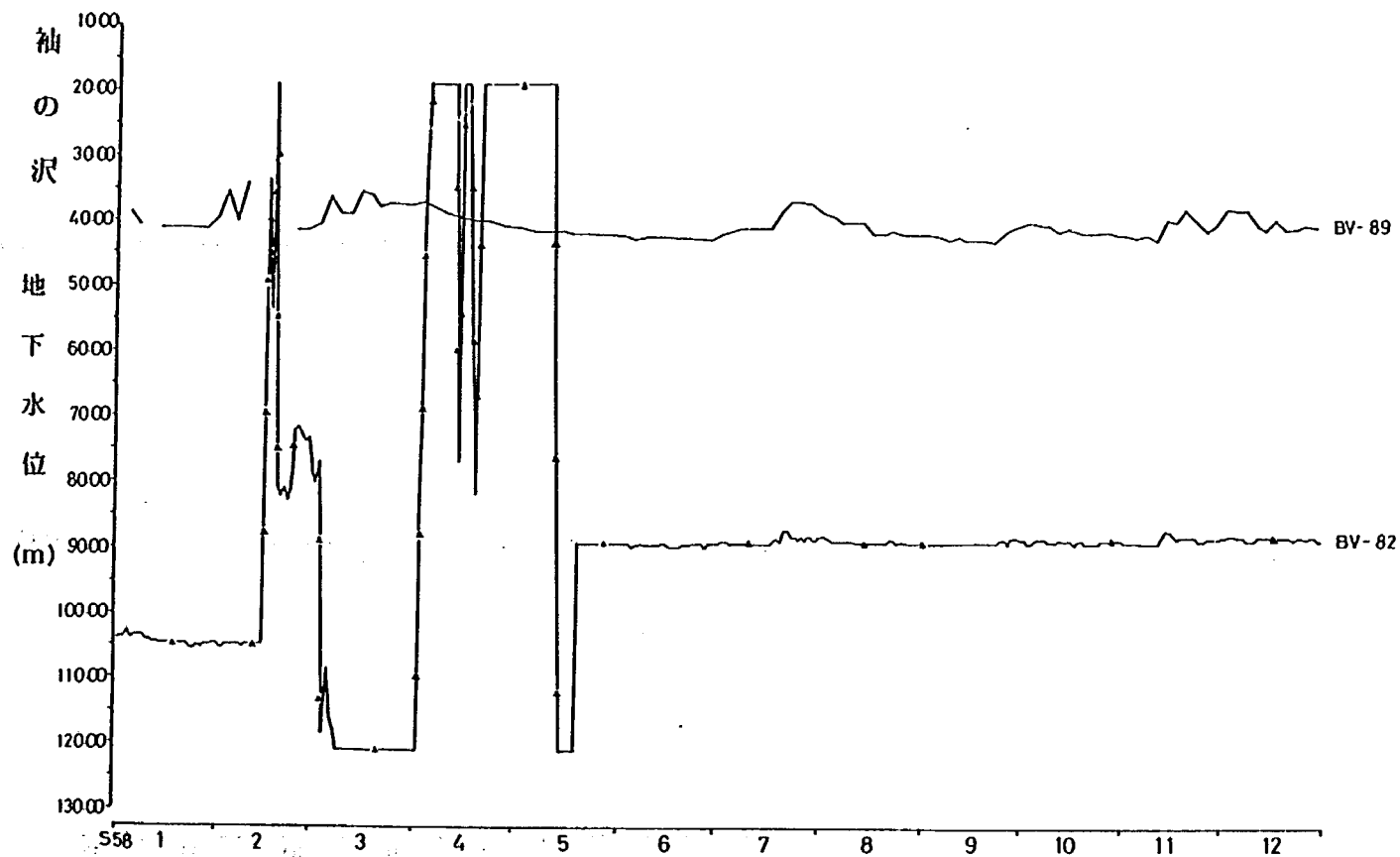


図-20 (12) 地下水位観測結果

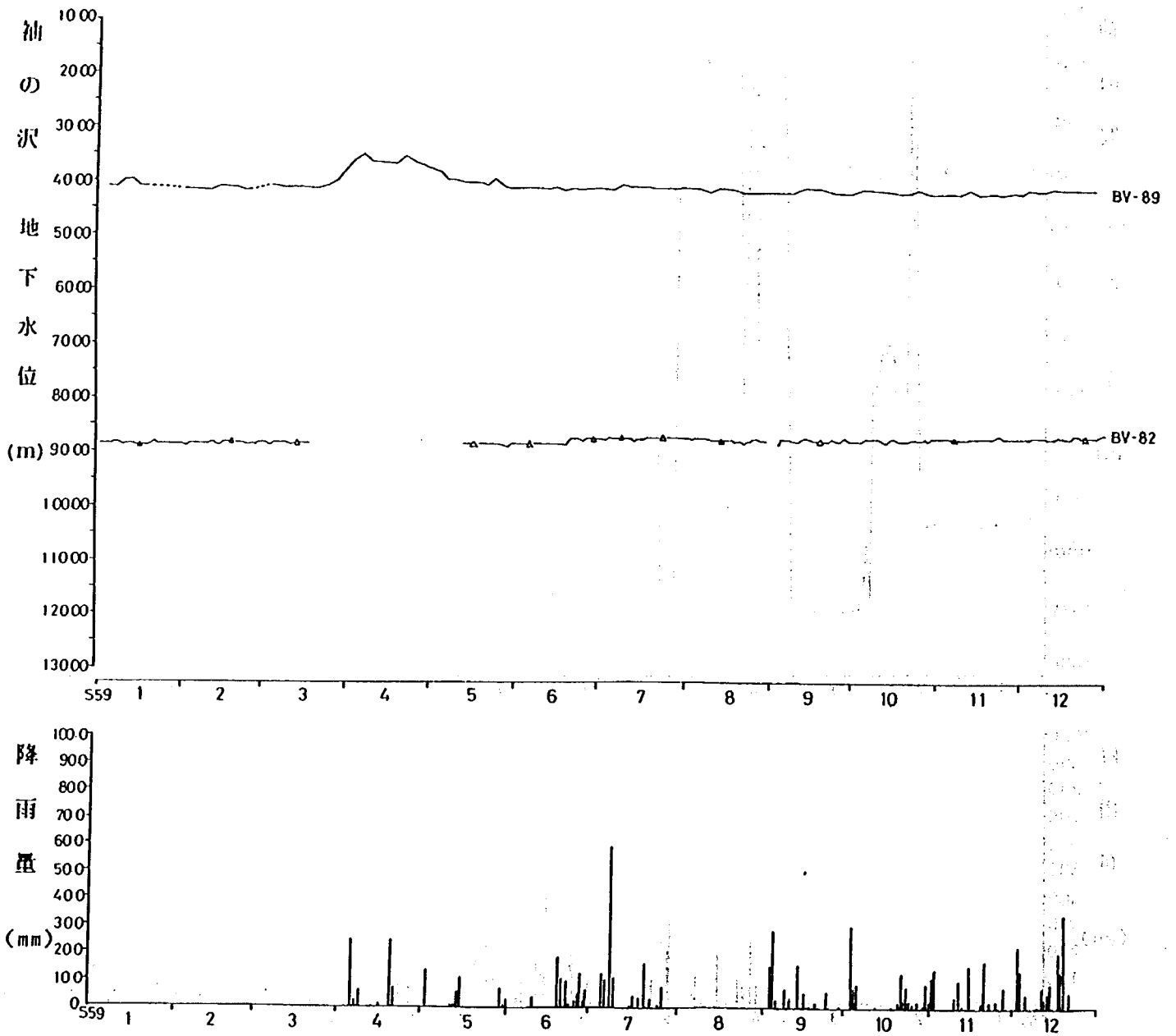


図-20(13) 地下水位観測結果

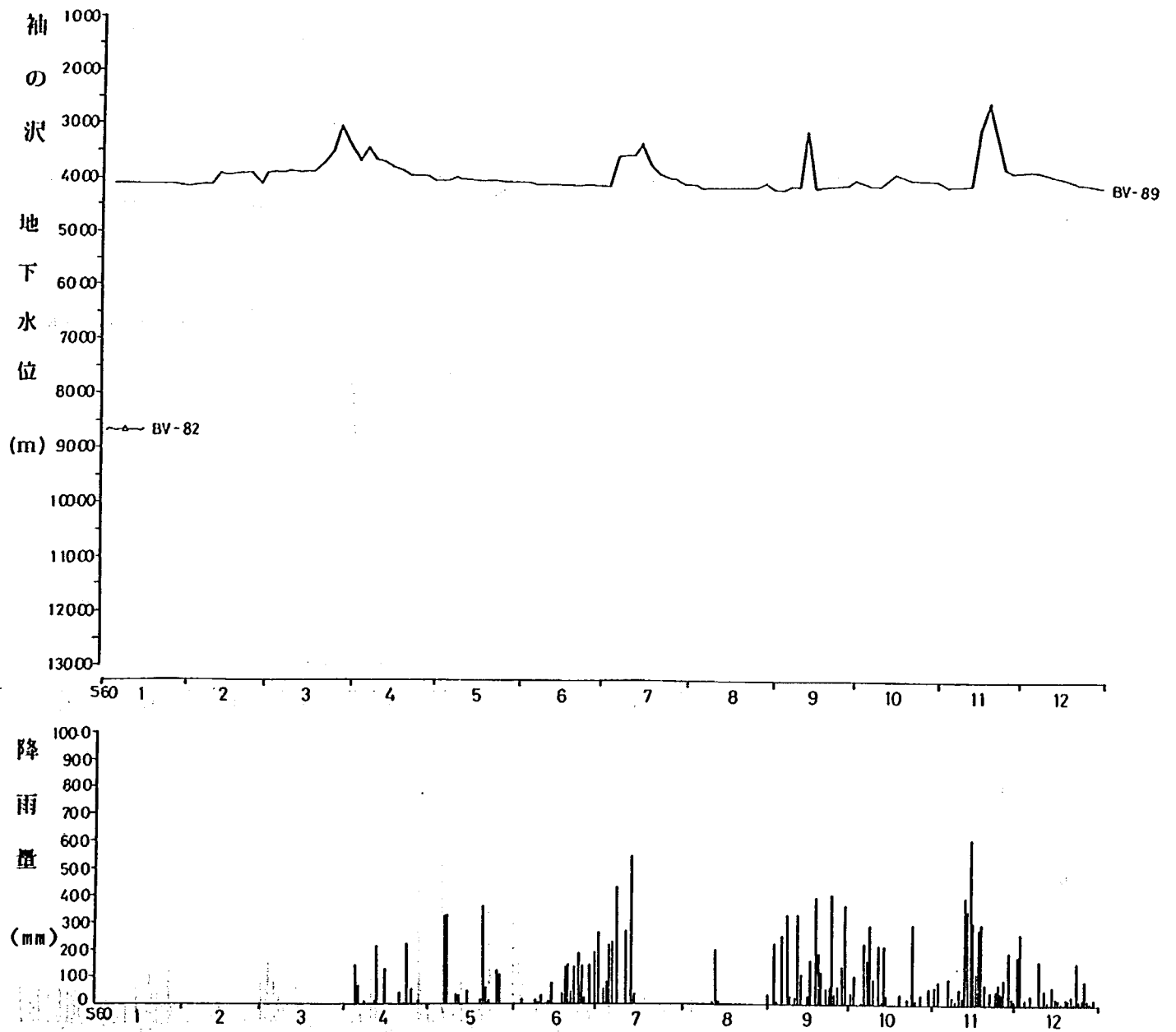


図-20(14) 地下水位観測結果

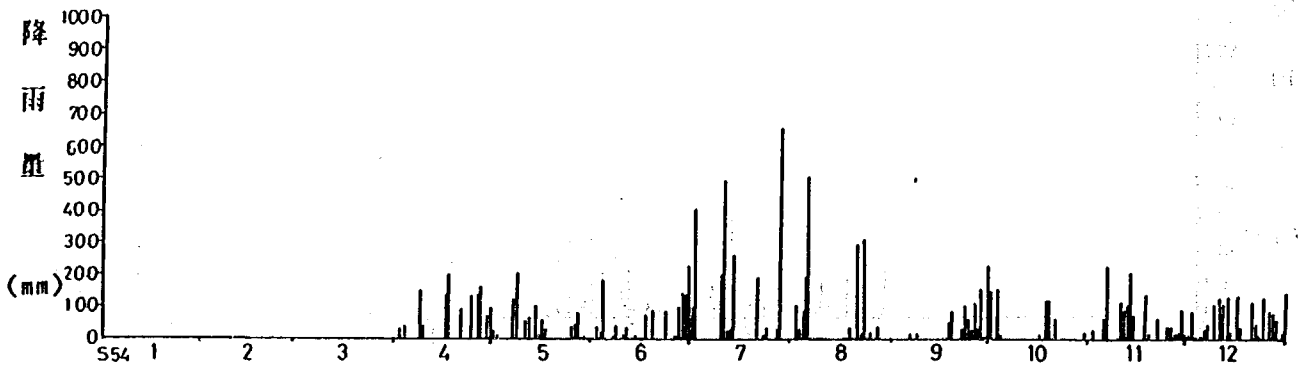
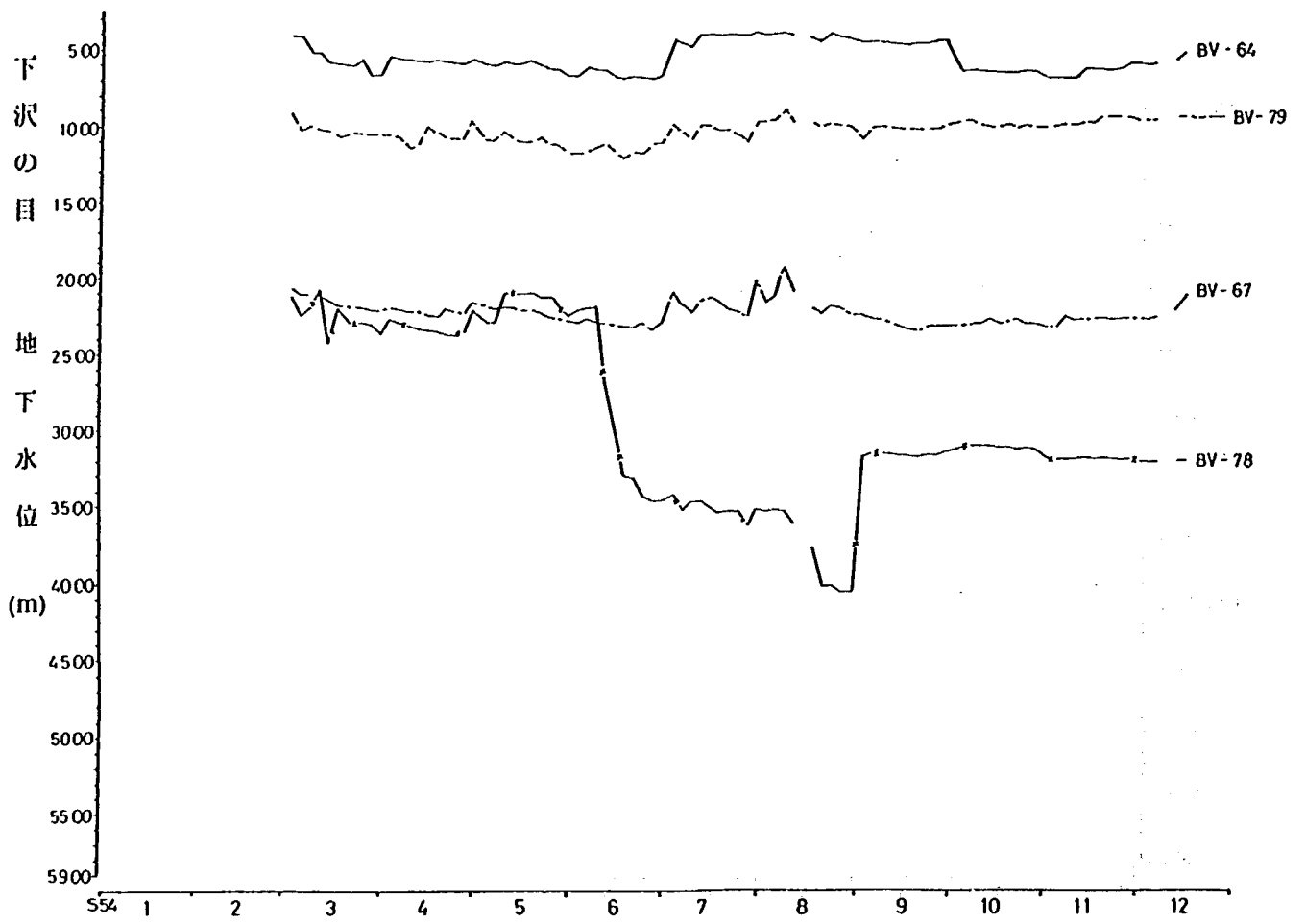


図-20 (15) 地下水位観測結果

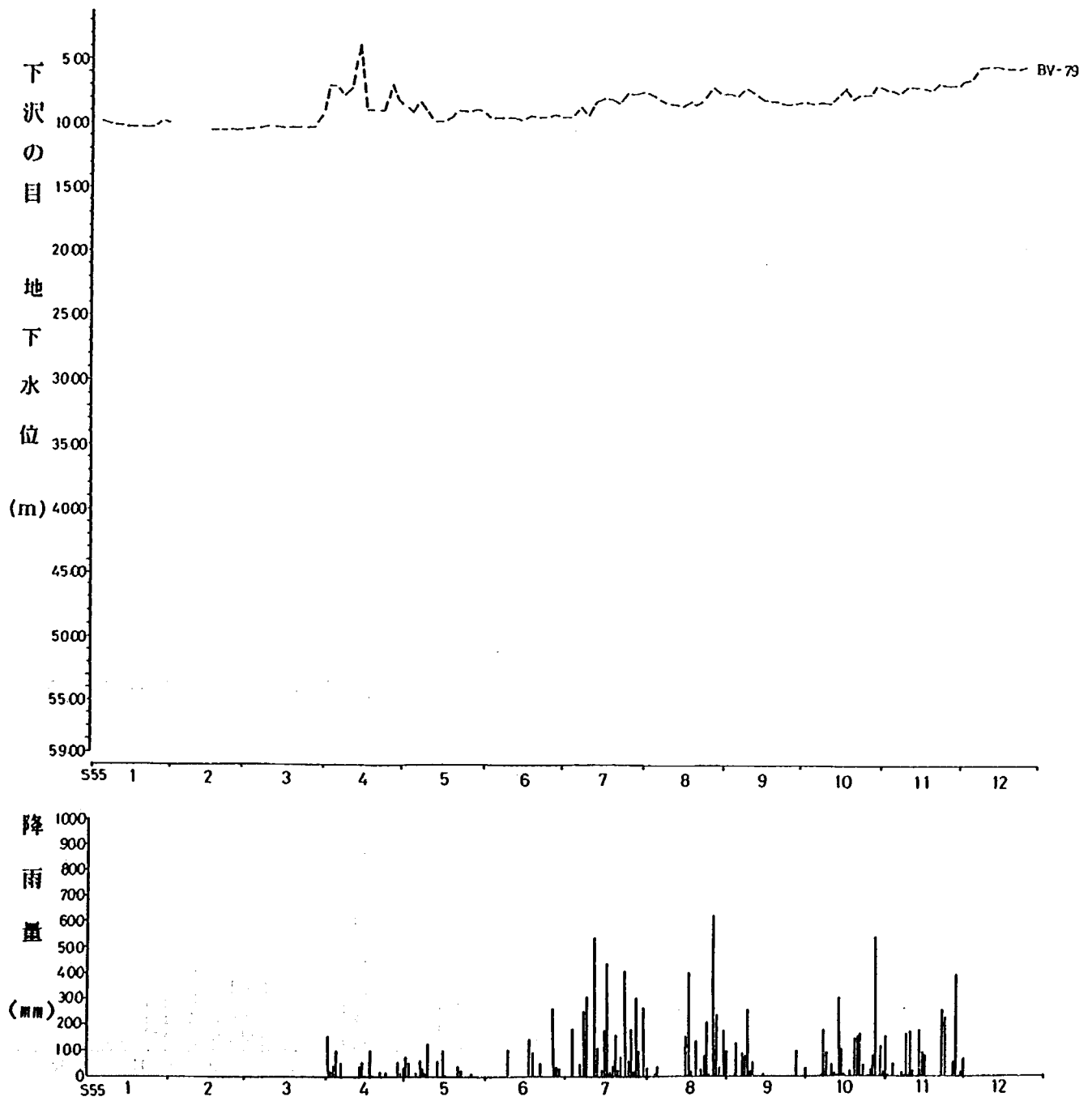


図-20 (16) 地下水位観測結果

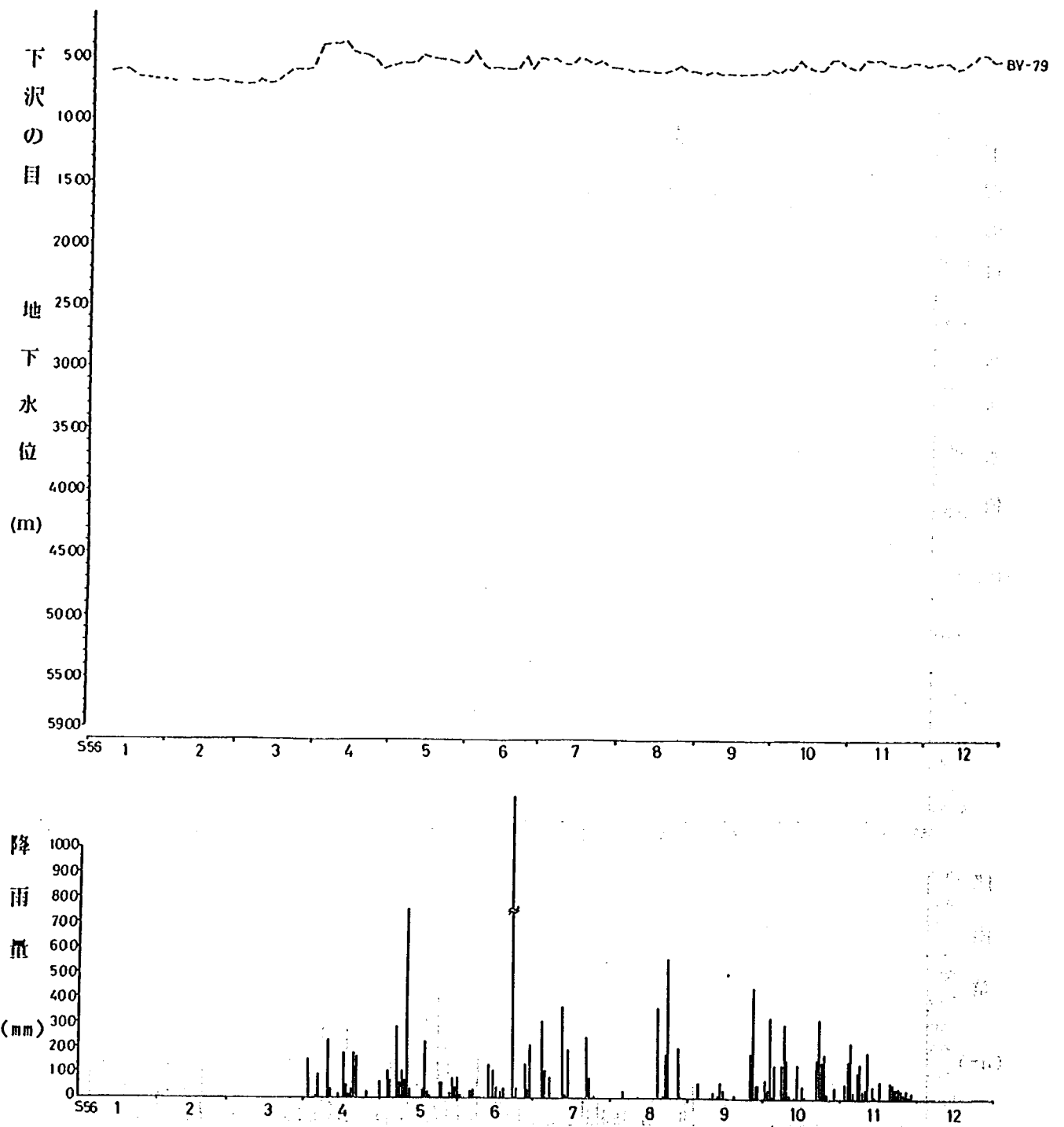


図-20 (17) 地下水位観測結果 (1979年)

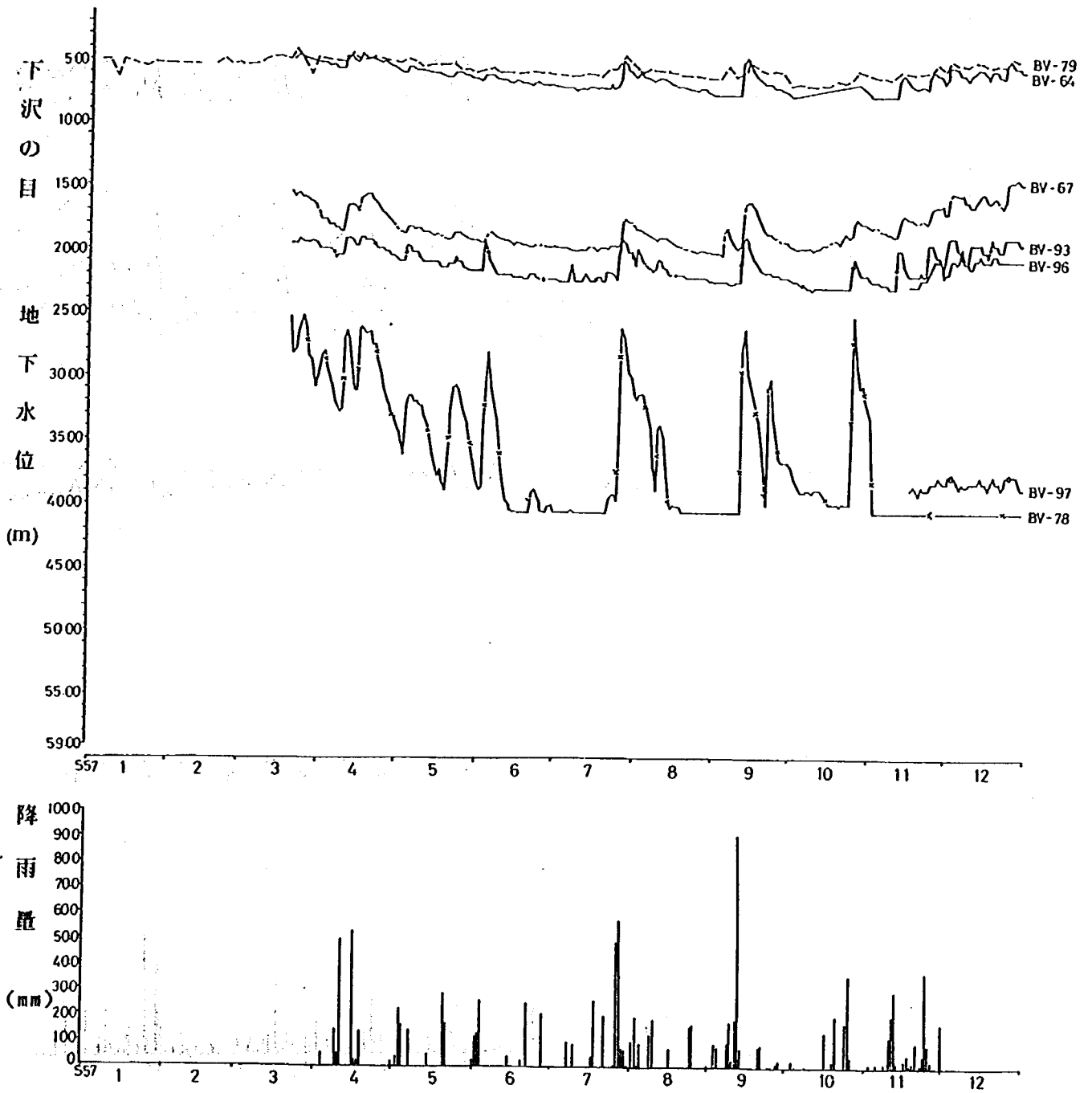


図-20 (18) 地下水位観測結果

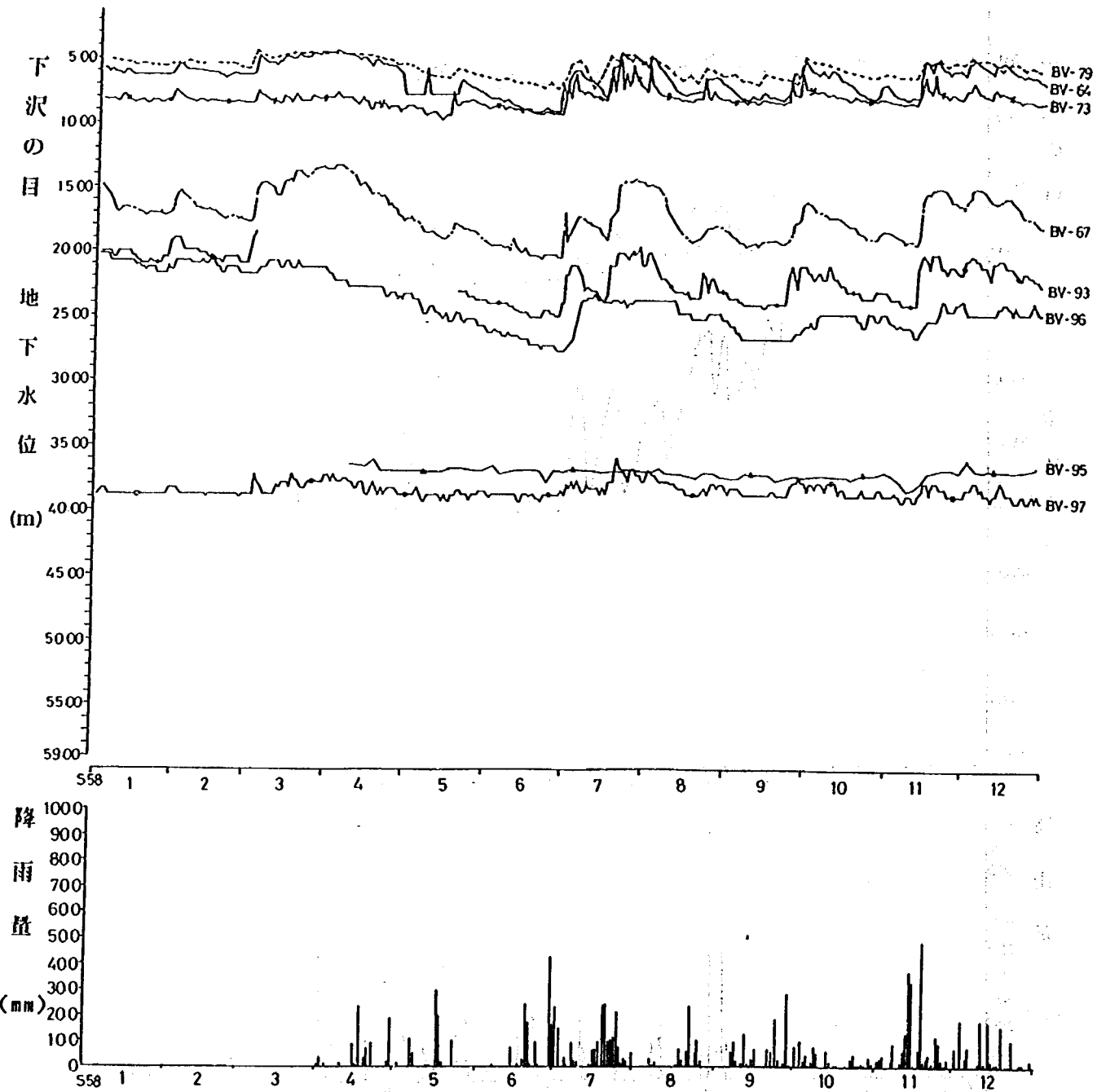


図-20 (19) 地下水位観測結果

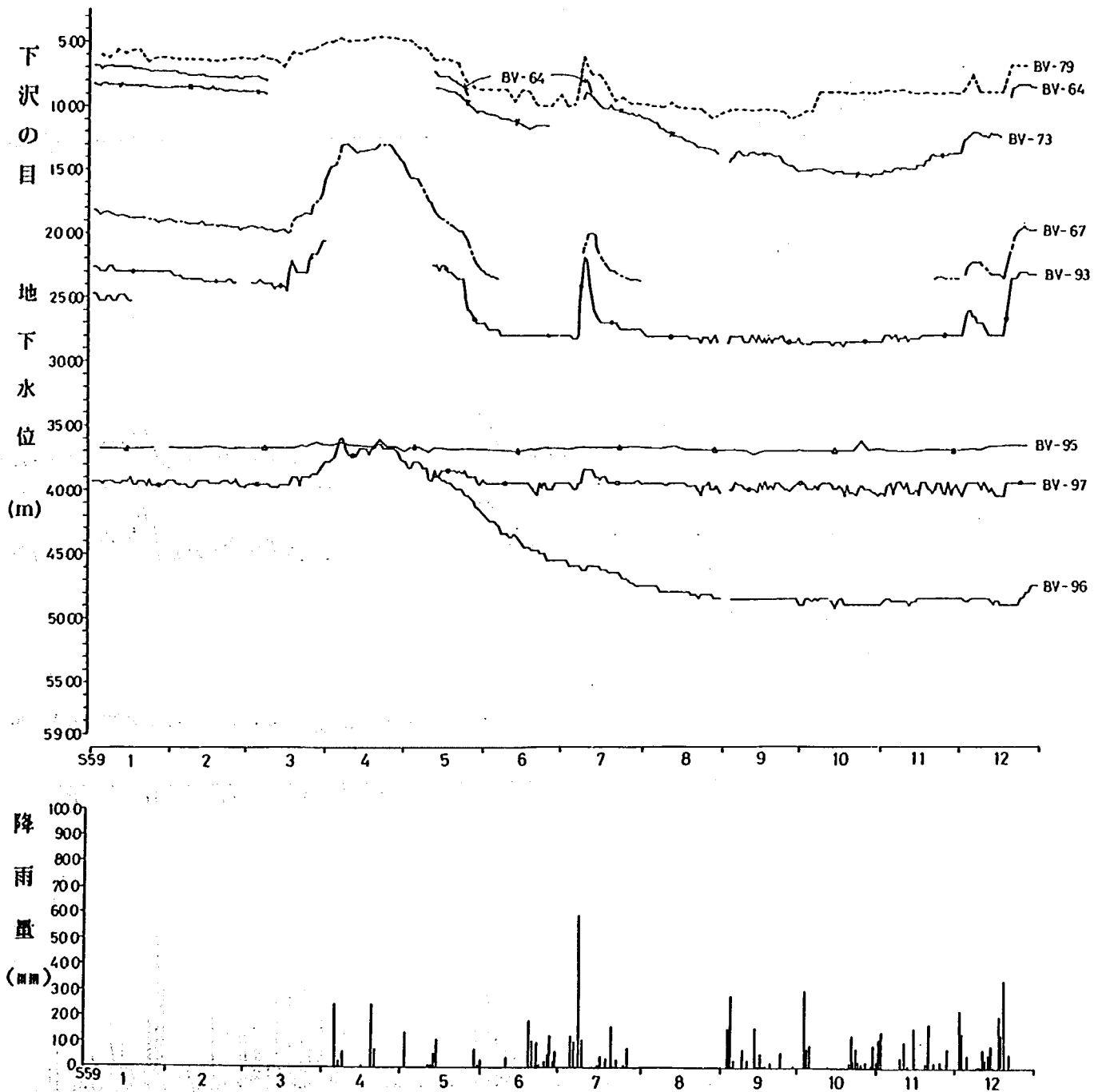


図-20 (20) 地下水位観測結果

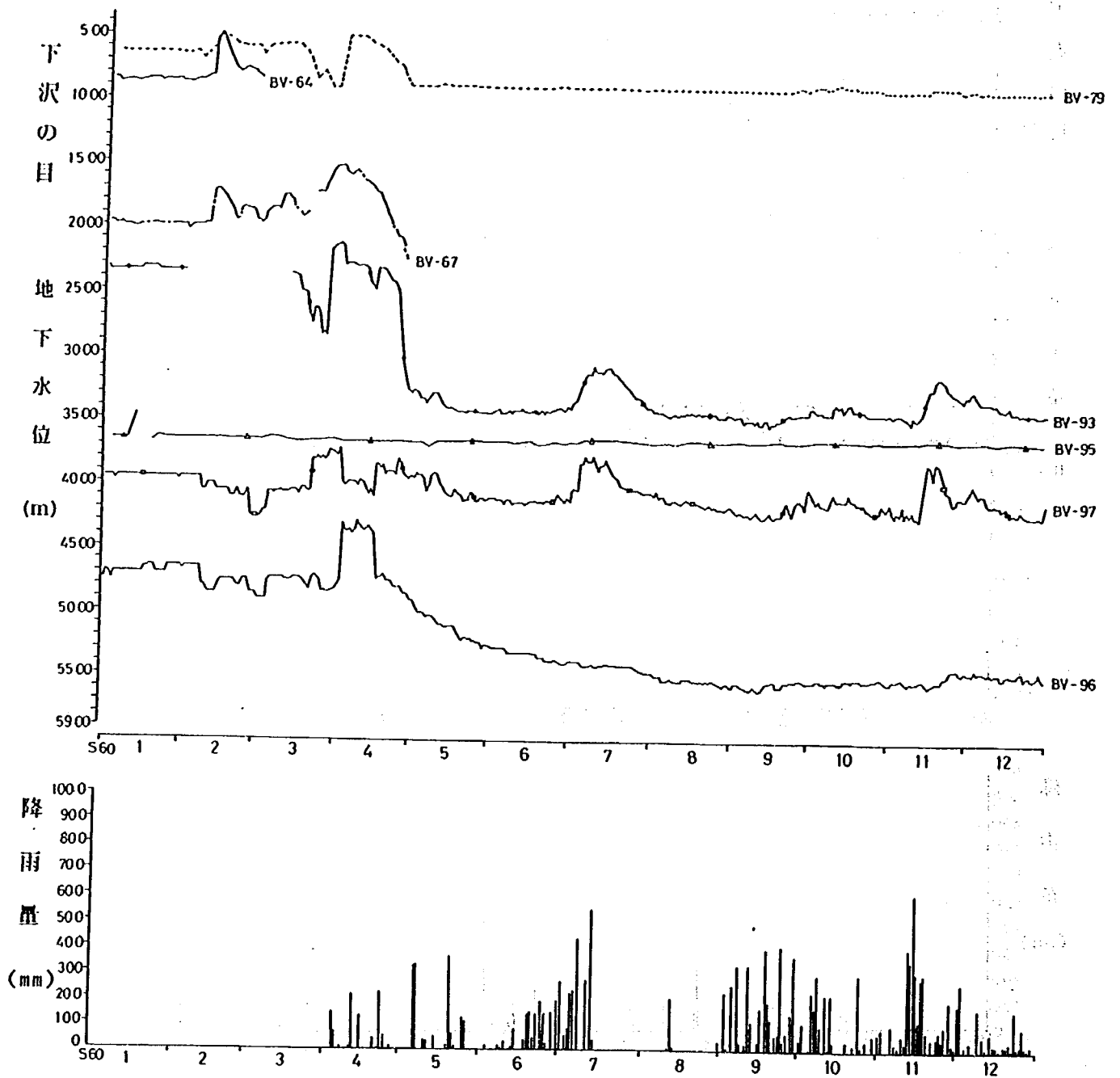


図-20 (21) 地下水位観測結果

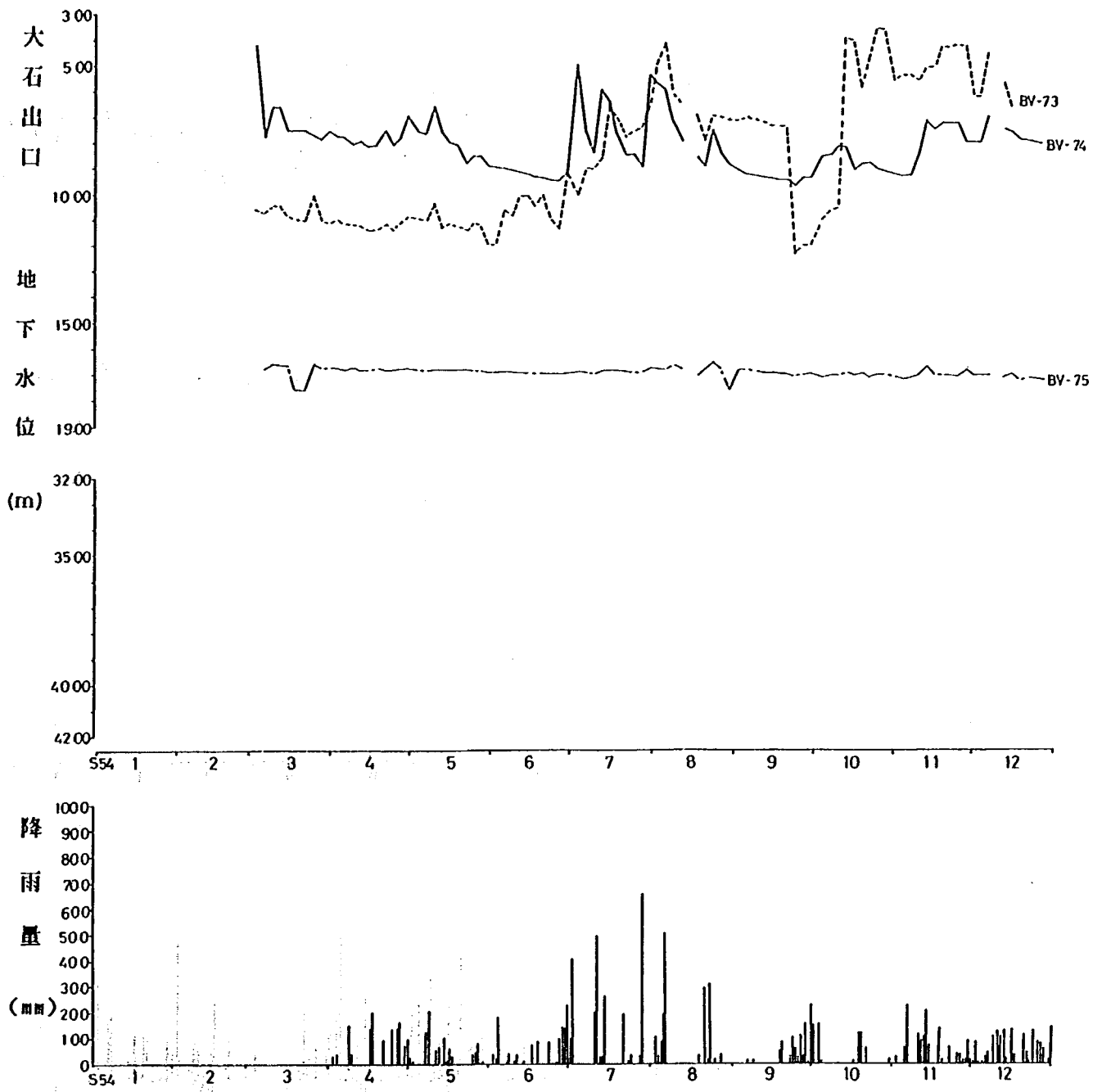


图-20 (22) 地下水位观测结果

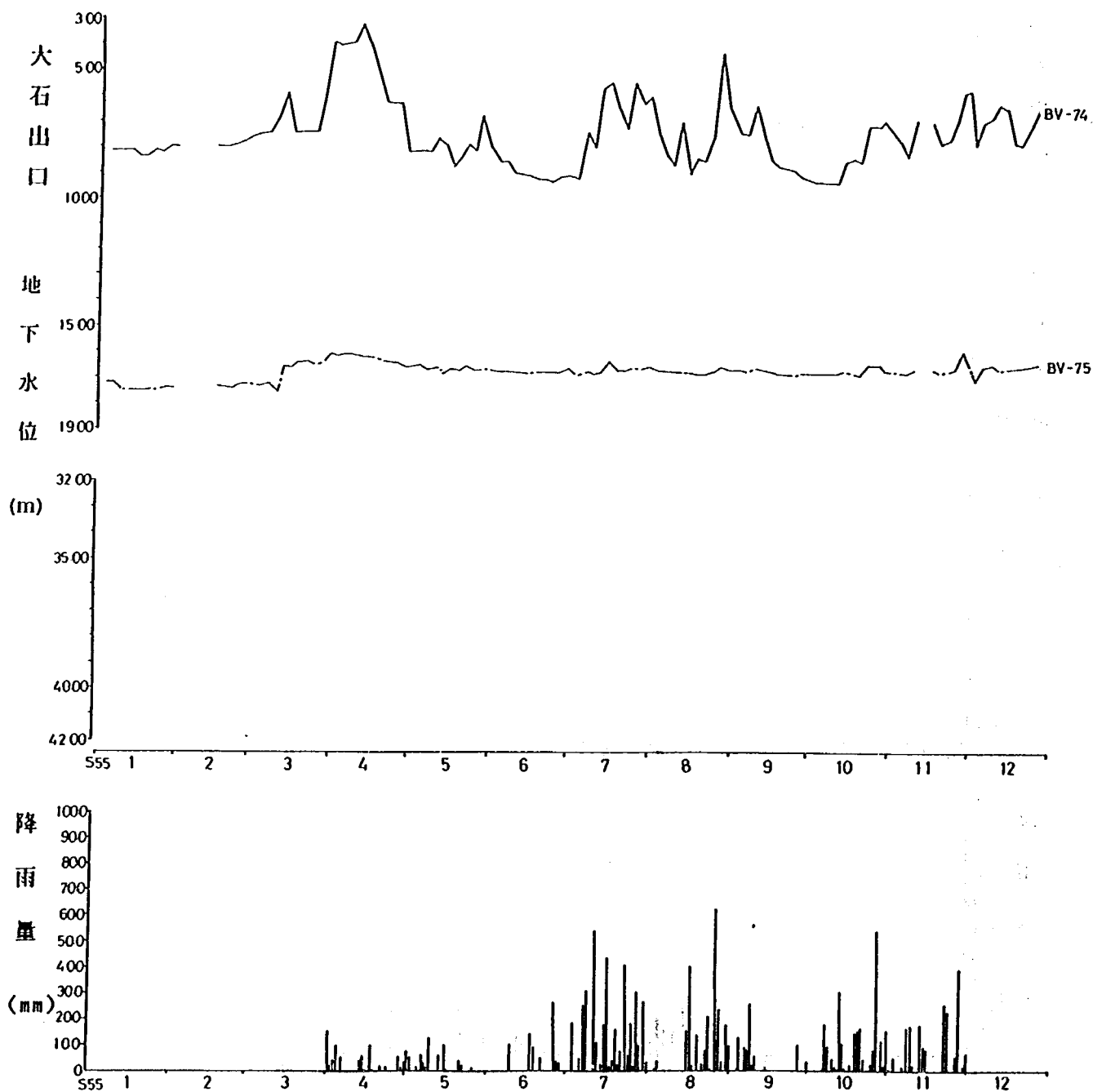


图-20 (23) 地下水位観測結果

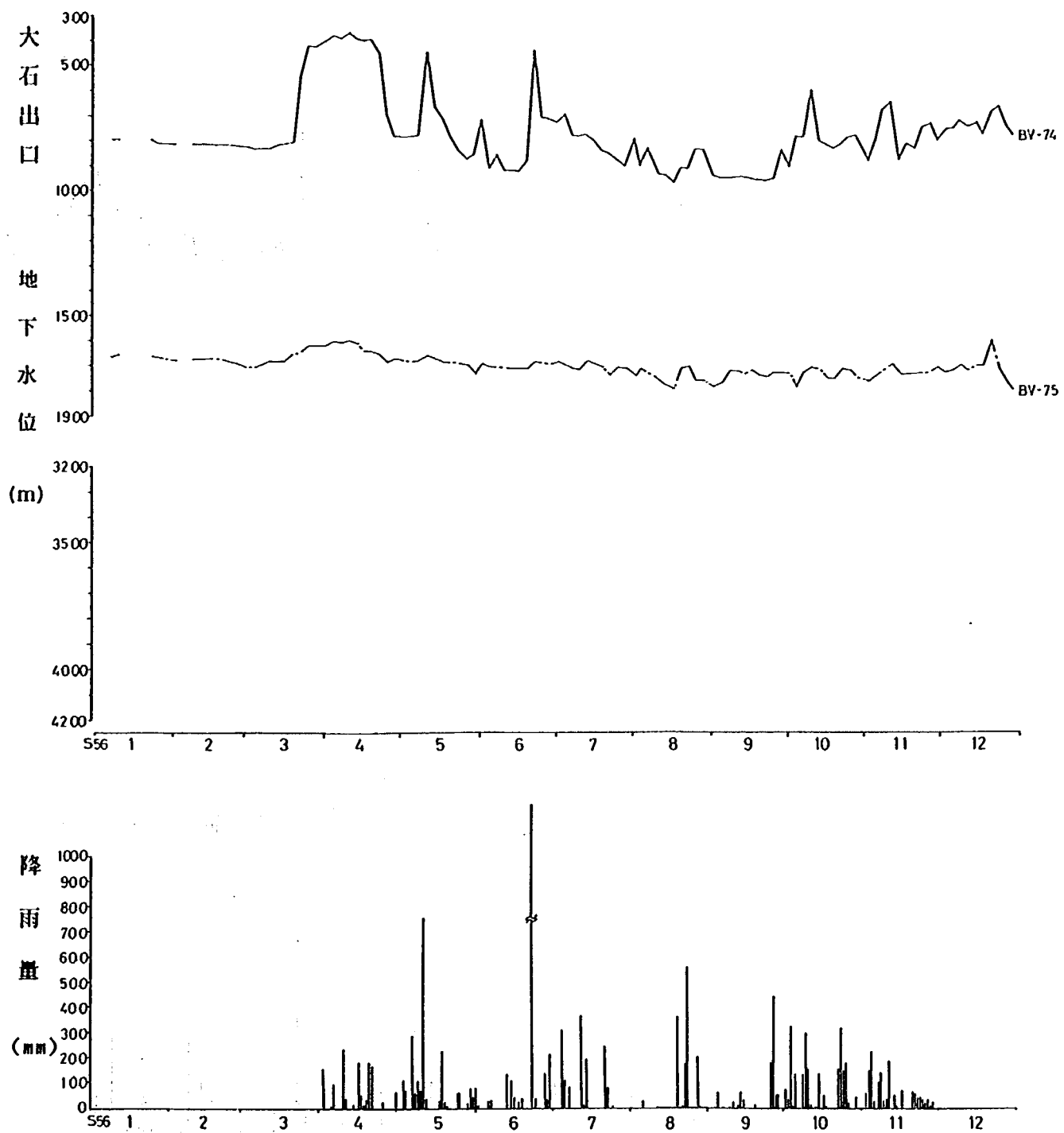


图-20 (24) 地下水位观测结果

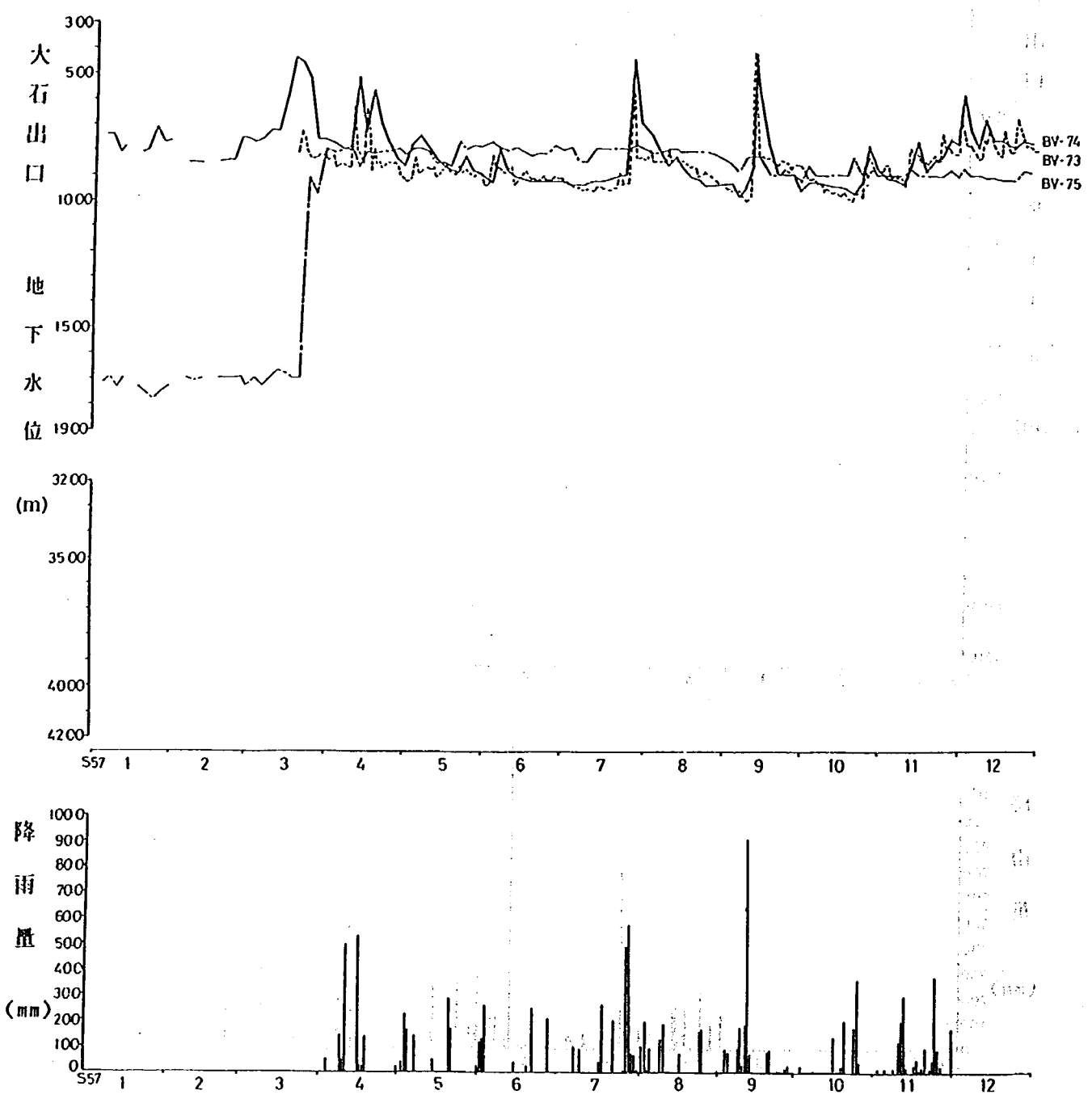


图-20 (25) 地下水位観測結果 (S57-14)

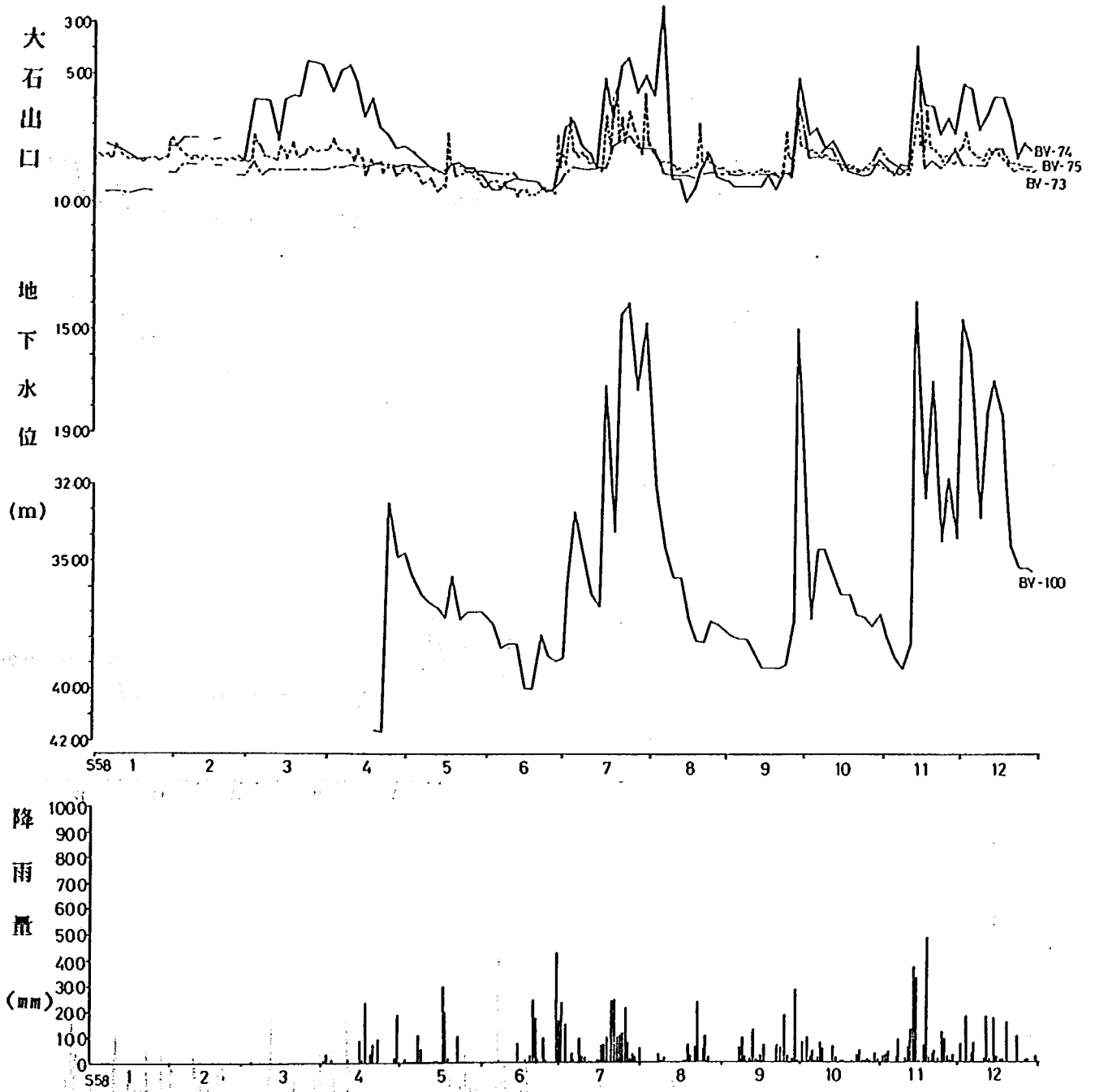


图-20 (26) 地下水位観測結果

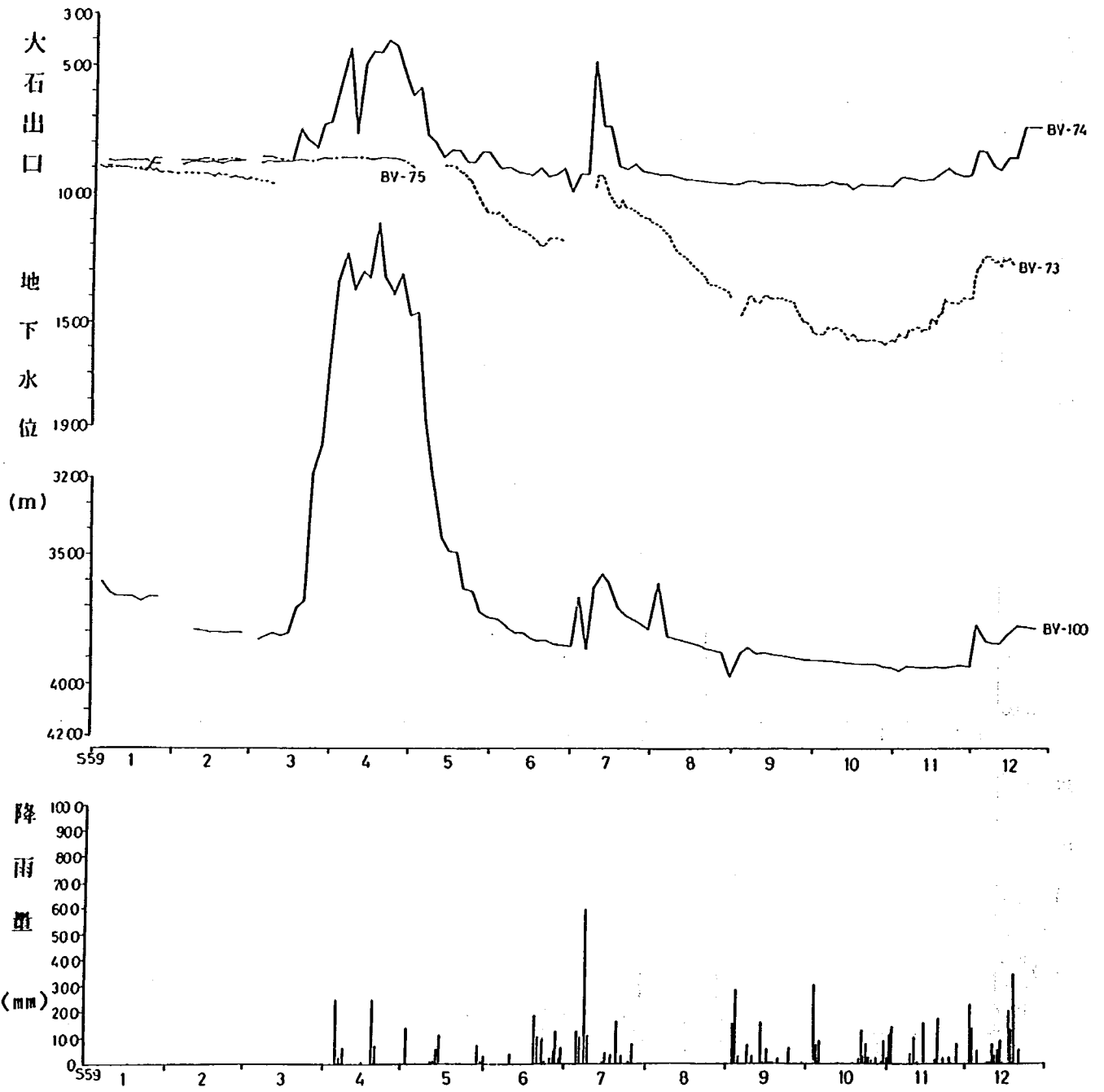


图-20 (27) 地下水位观测结果

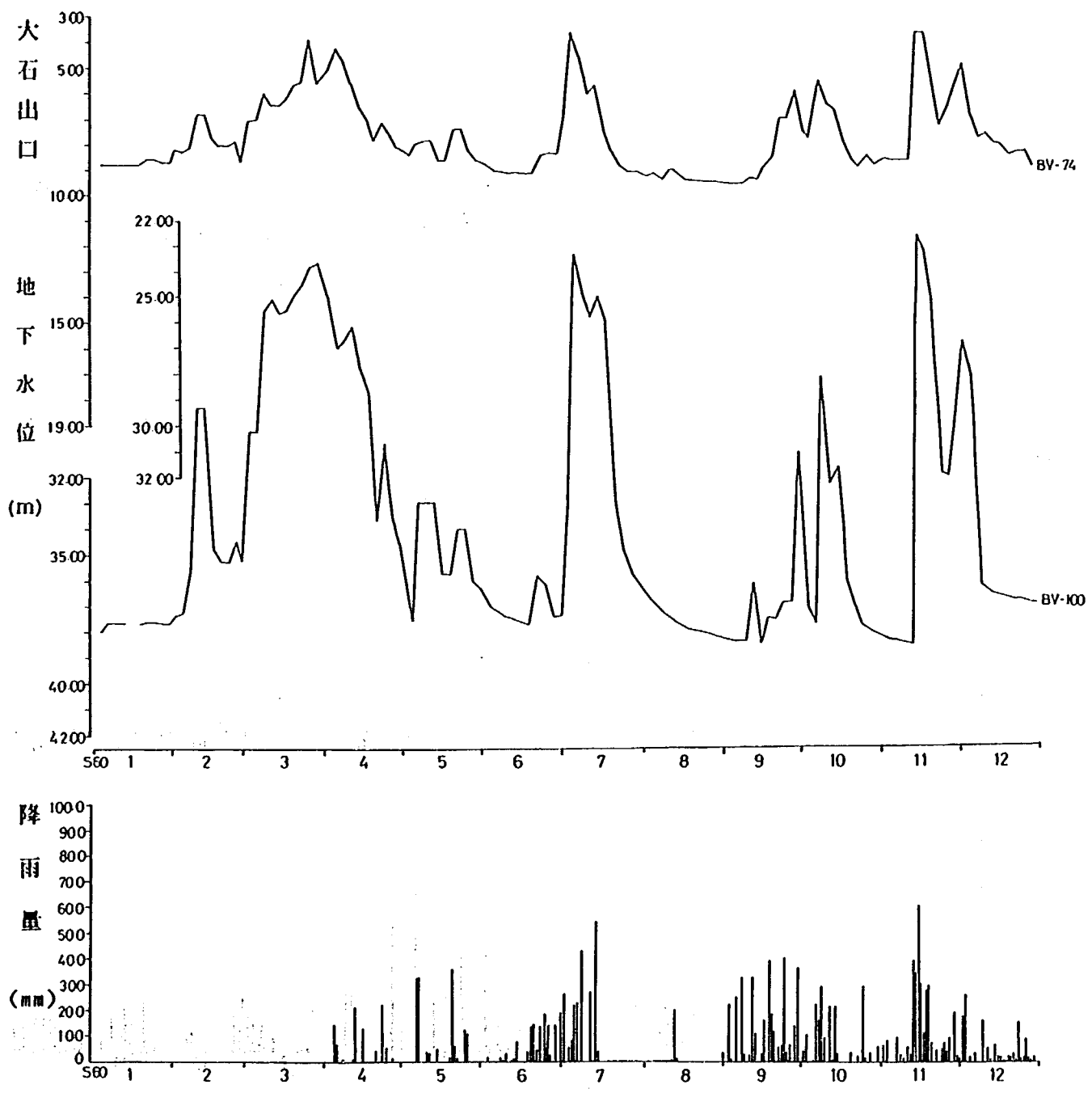


图-20 (28) 地下水位观测结果

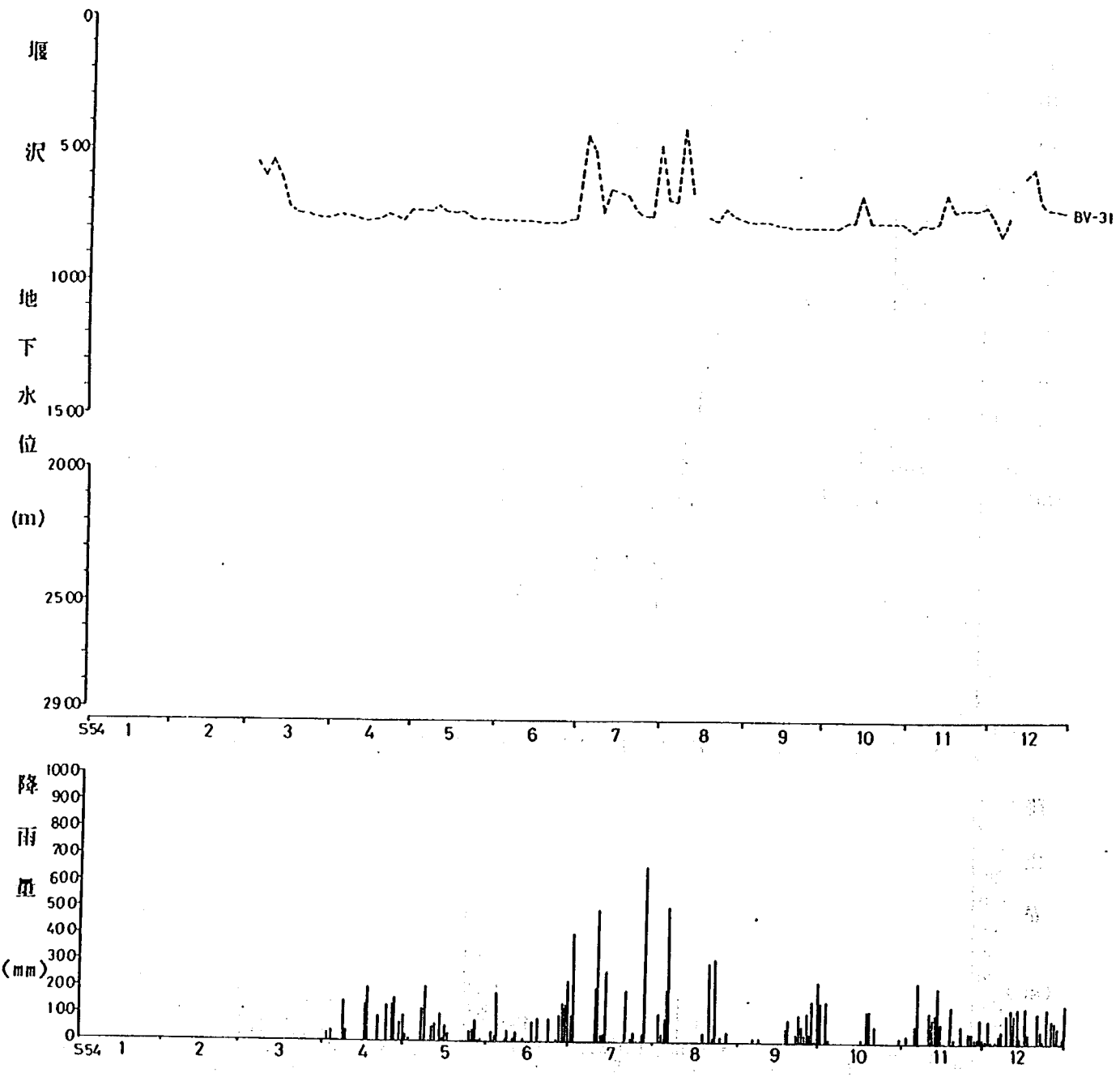


圖-20 (29) 地下水水位觀測結果

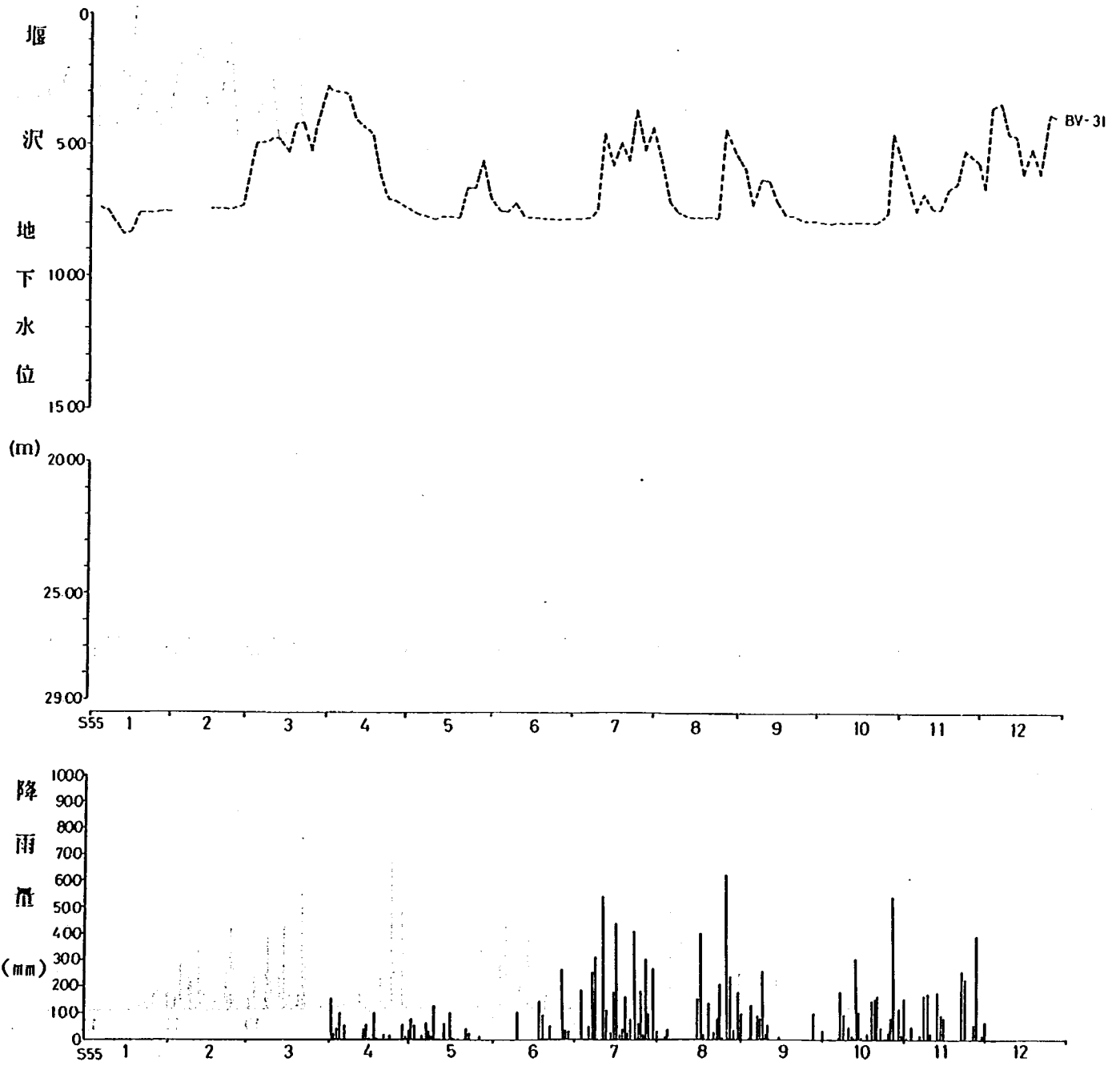


图-20 (30) 地下水位観測結果

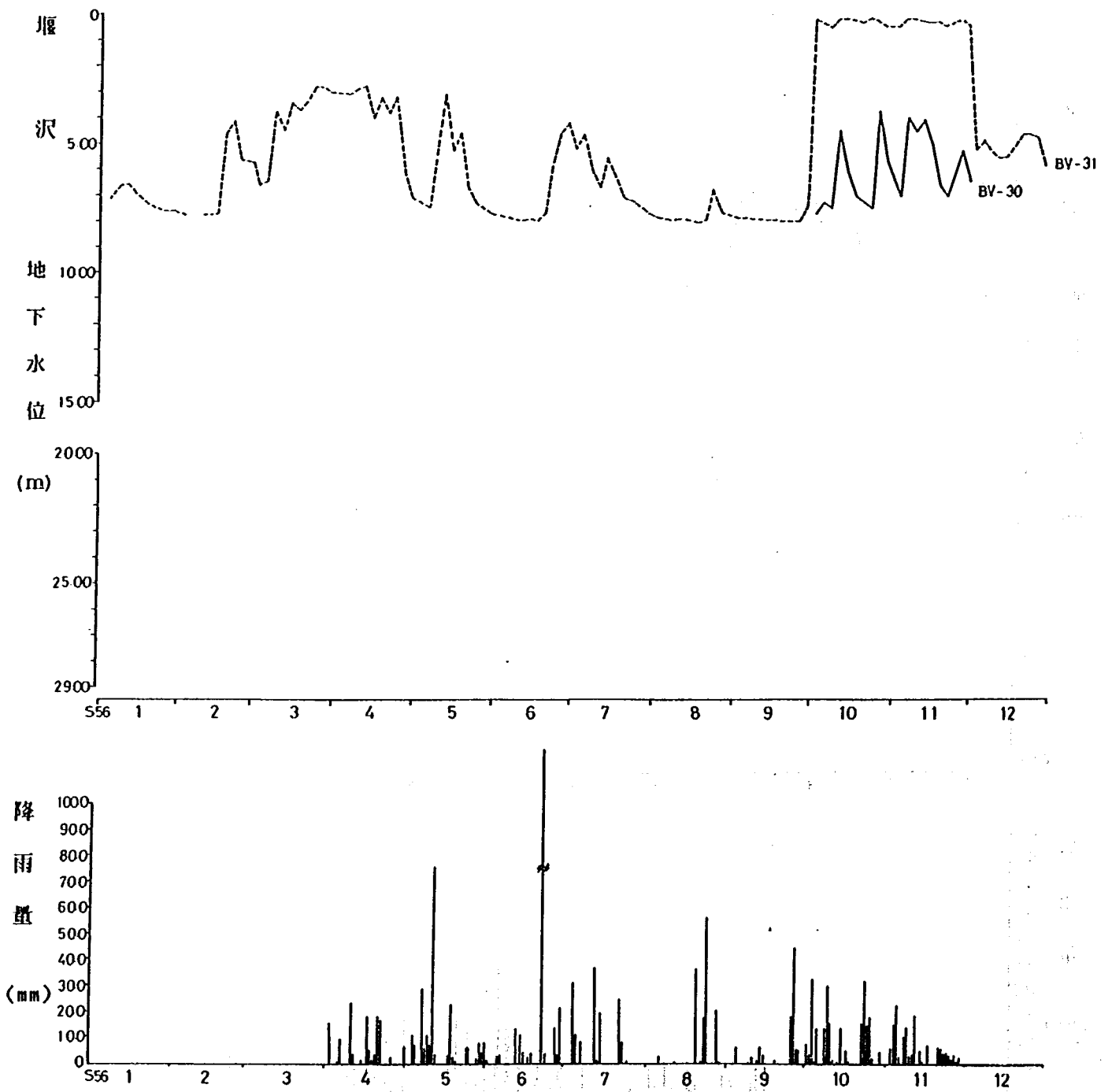


图-20 (31) 地下水位観測結果 (S56)

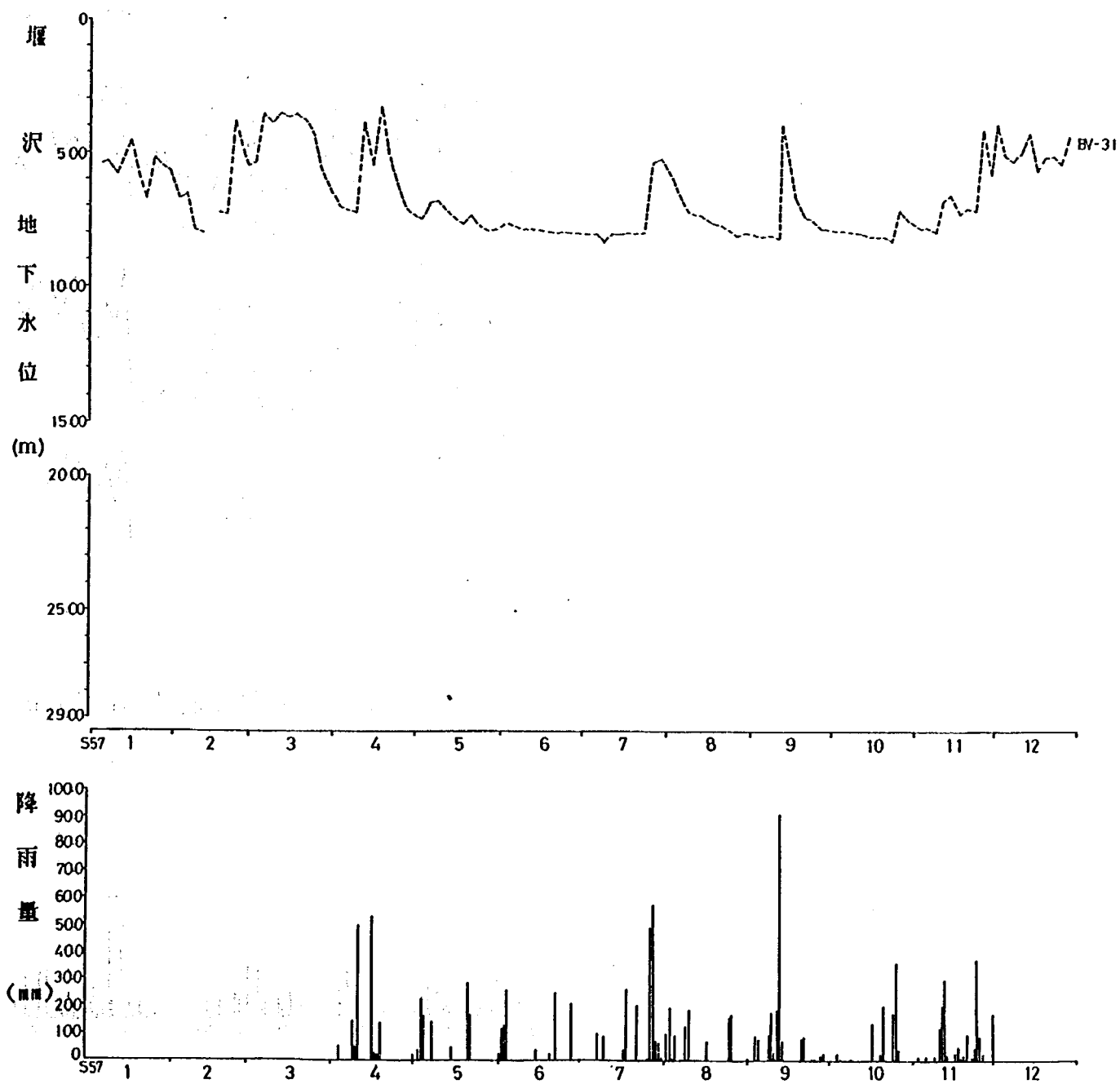


图-20 (32) 地下水位観測結果

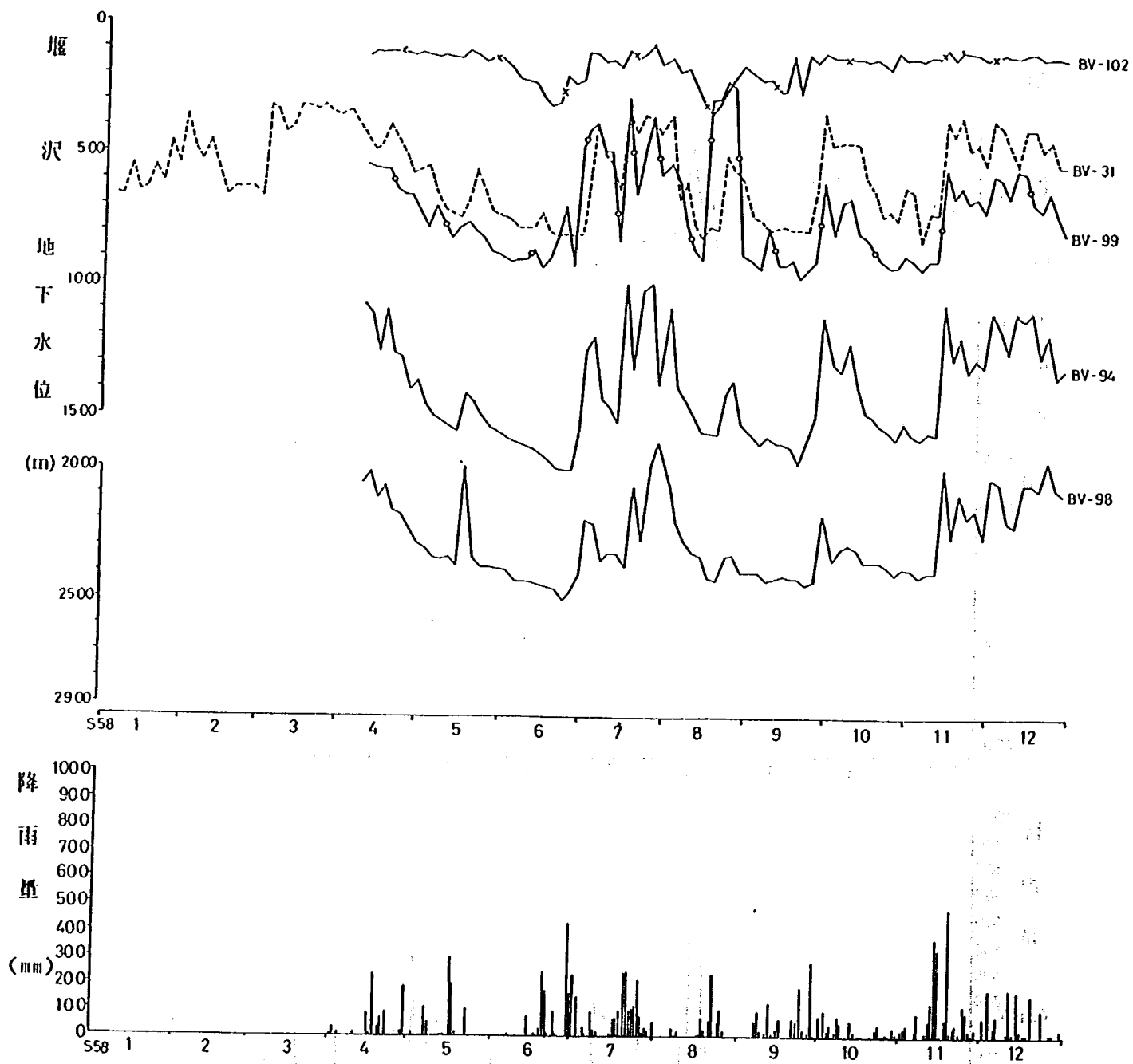


图-20 (33) 地下水位观测结果图

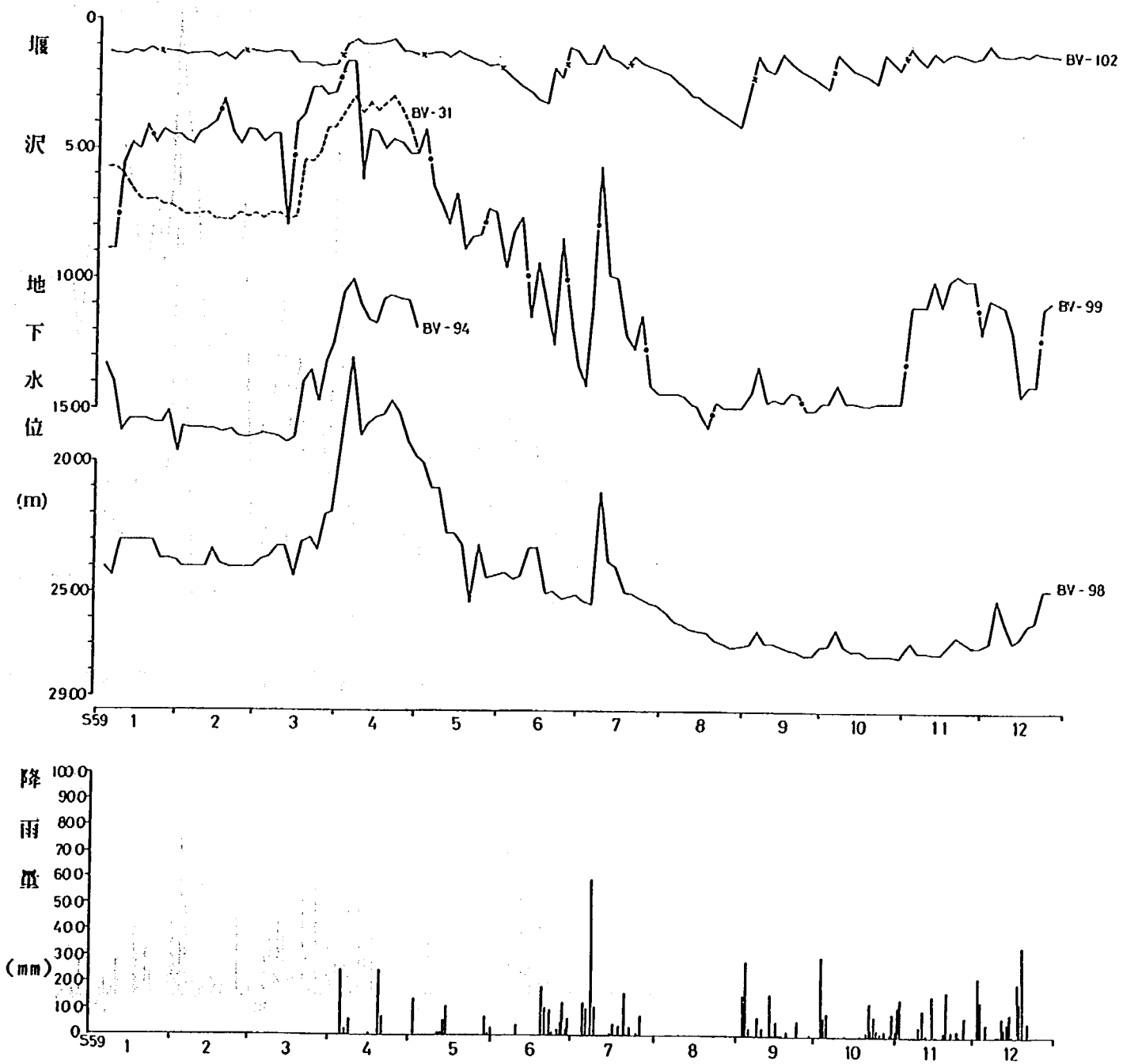


图-20 (34) 地下水位観測結果

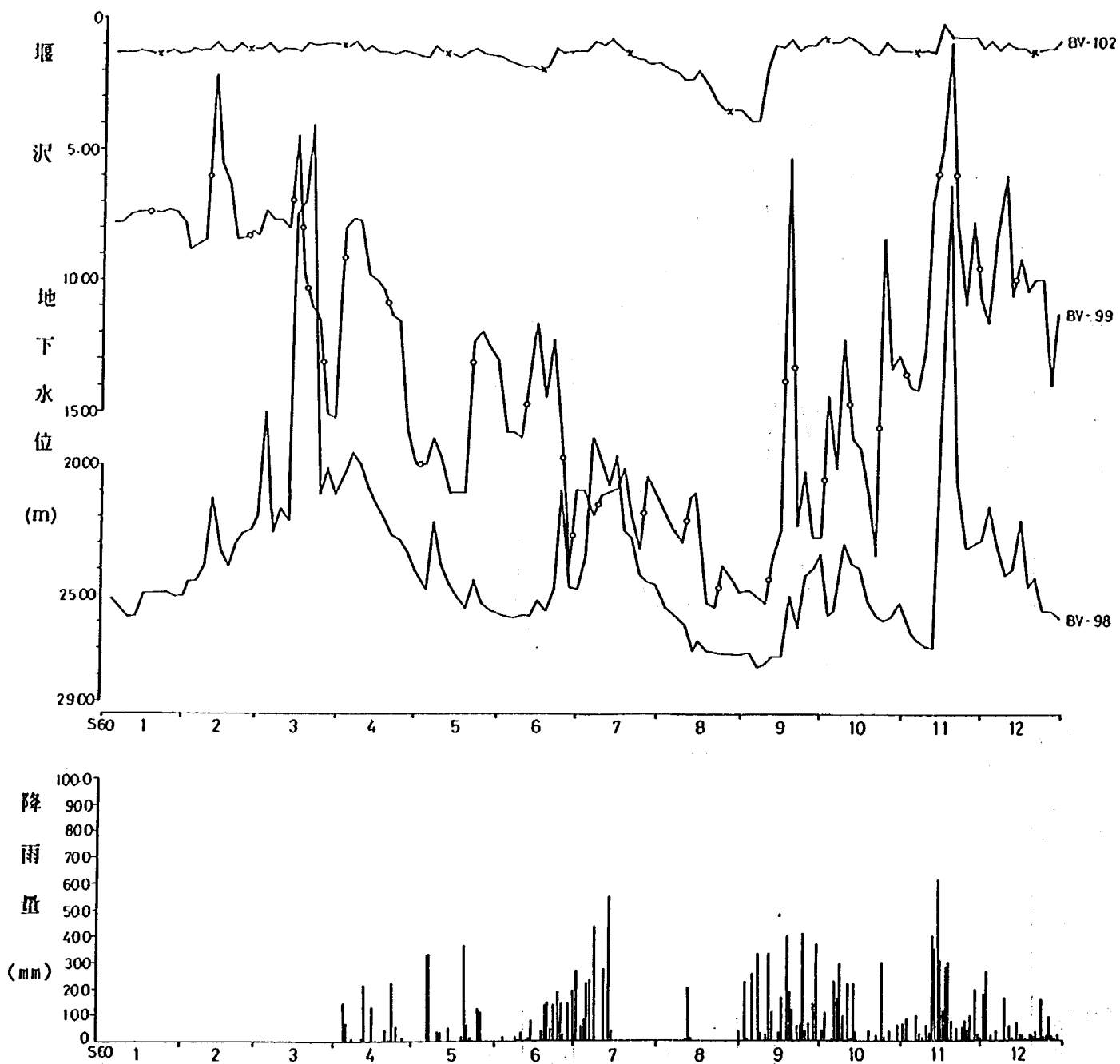


图-20 (35) 地下水位観測結果

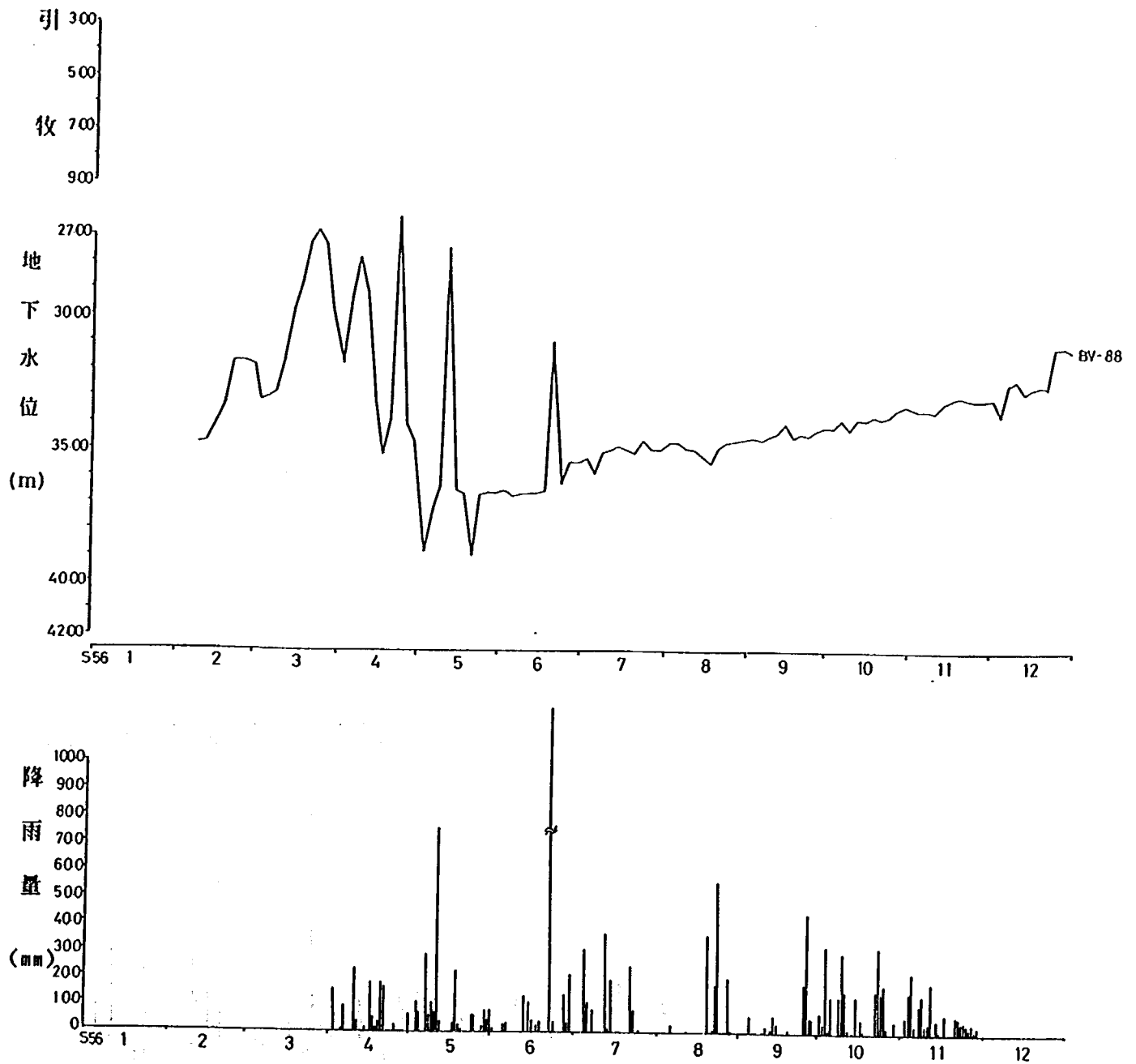


图-20 (36) 地下水位观测结果

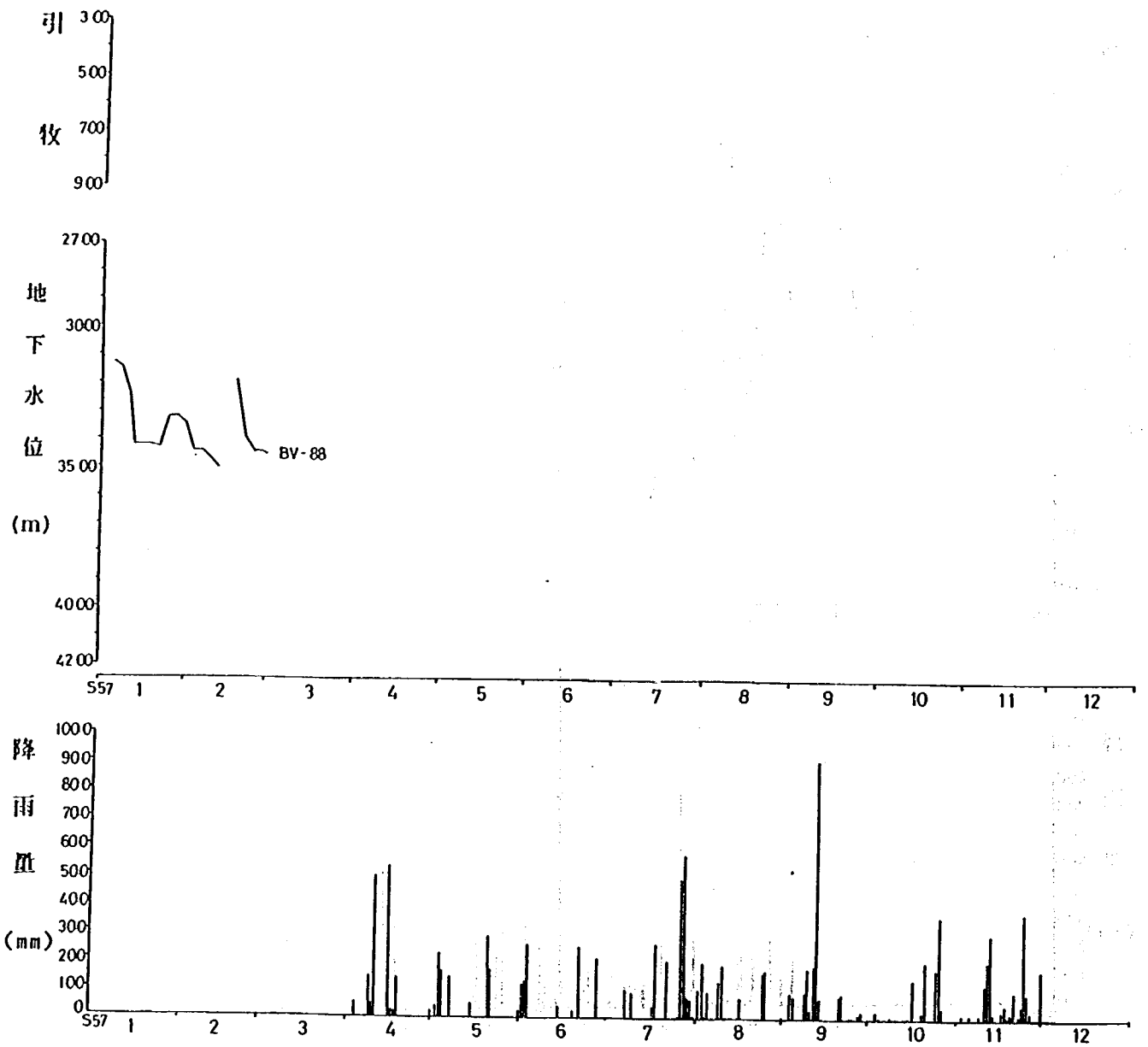


圖-20. (37) 地下水位觀測結果

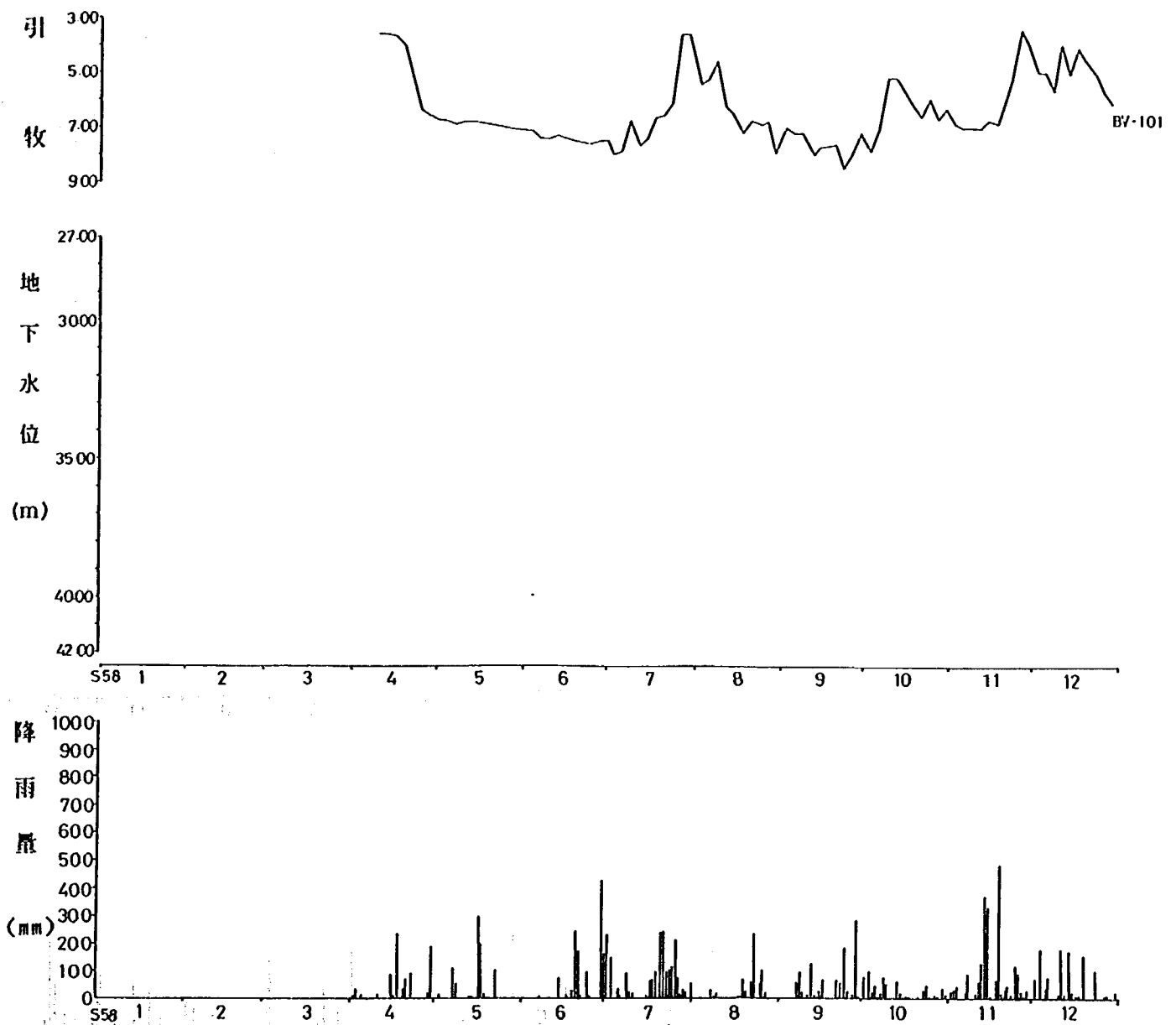


图-20 (38) 地下水位观测结果

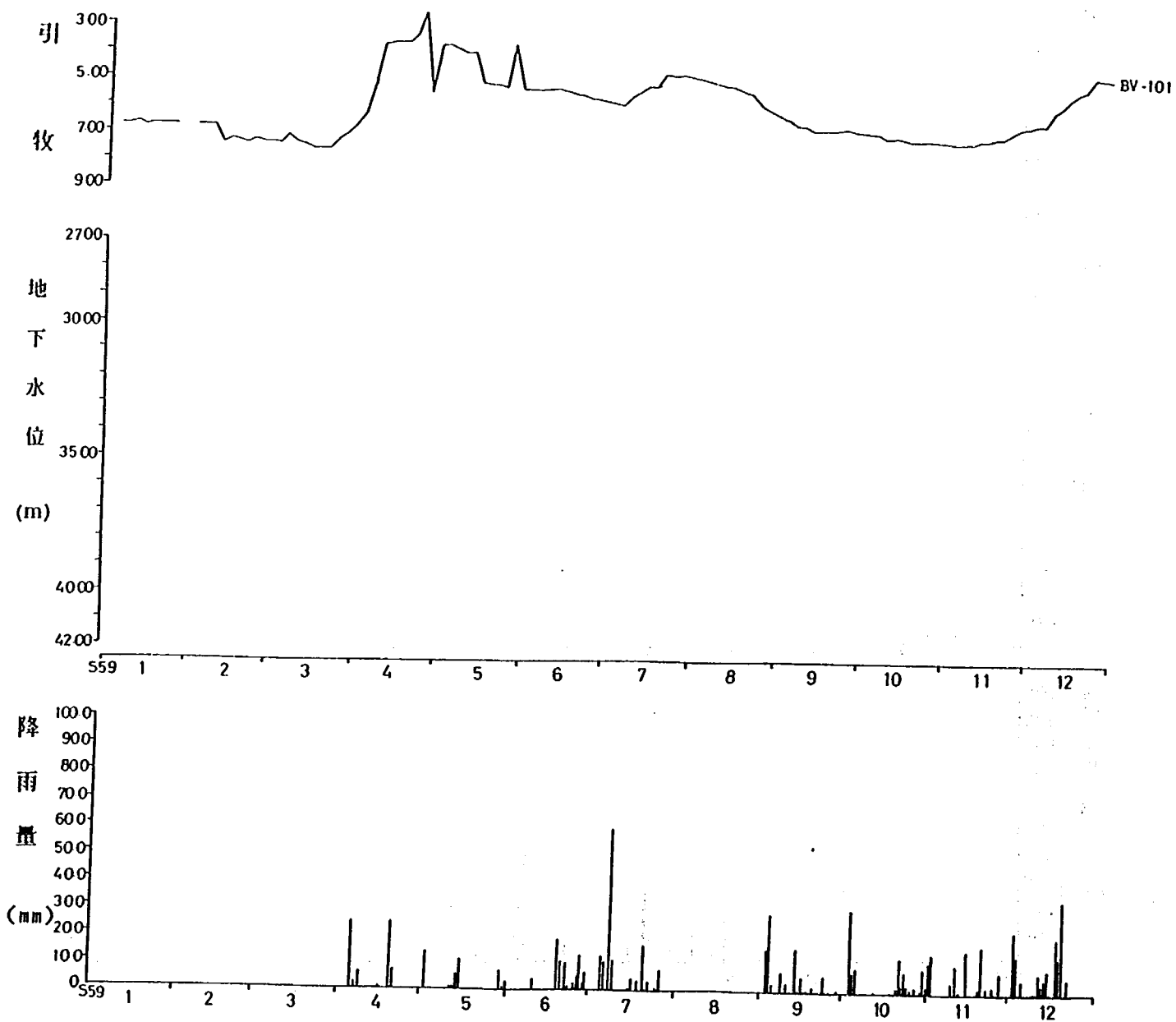


图-20 (39) 地下水位観測結果

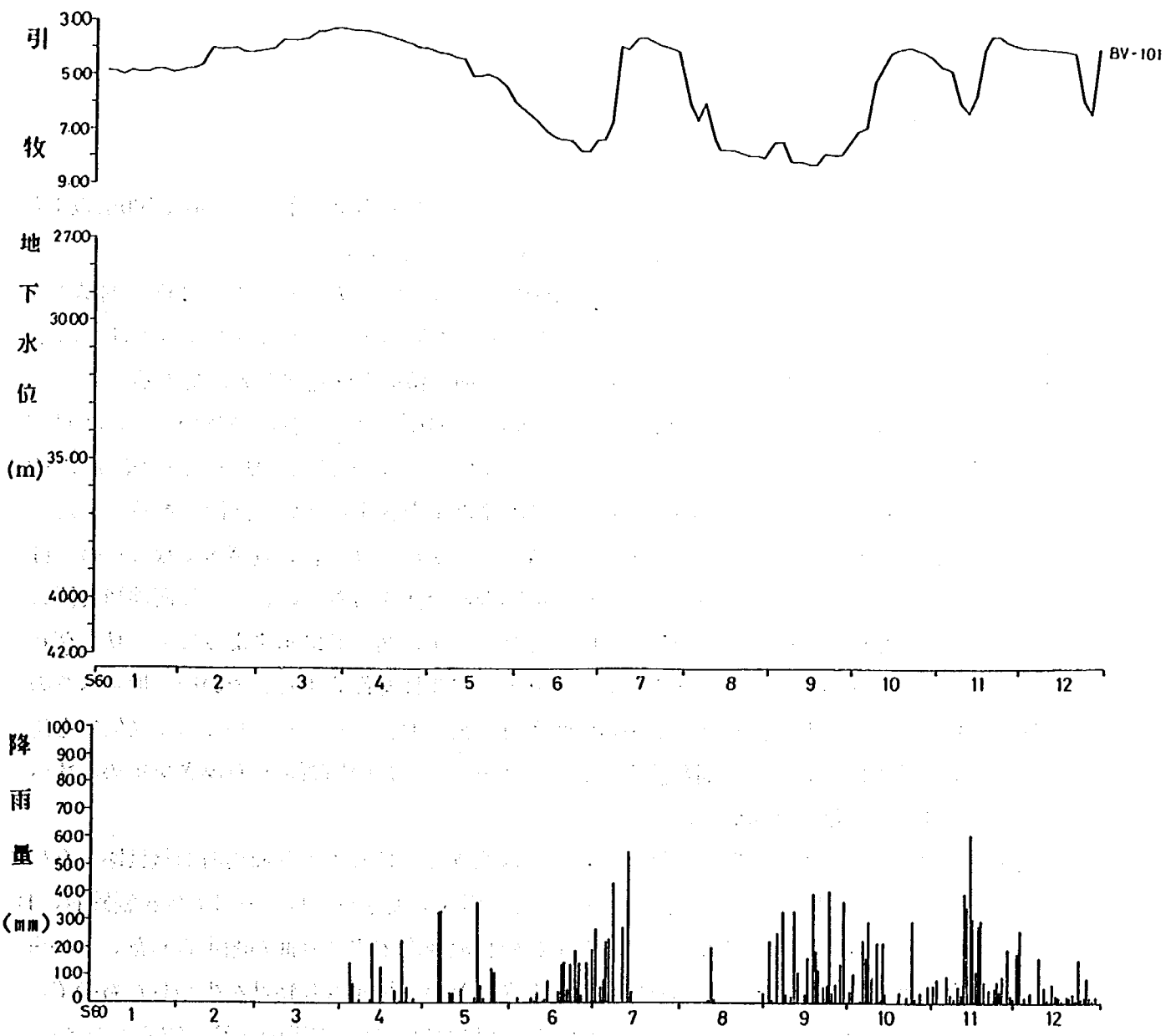


图-20 (40) 地下水位観測結果

2.4 すべり面調査

すべり面調査は、これによって地すべり防止工立案のための安定解析をする等、非常に重要な調査である。

すべり面の位置の判定は、ボーリングコア判定に各種の計測判定結果を考慮して行われる。滝坂地すべりでは、計測判定によるすべり面位置の決定法として、以下の方法が用いられた。

- (1) 重錘による方法
- (2) 孔内傾斜計による方法
- (3) すべり面検知装置による方法^{10)・11)}
- (4) パイプ歪計による方法

この内(1)と(3)は、年間移動量が1m前後あること、すべり面が一番深い位置で100m以上と推定されたこと、岩盤地すべりであること等に着目して実施した。

まず、(1)の重錘による方法は、ボーリング孔内に短いパイプ($\phi=30\text{mm}$, $L=1.0\text{m}$)を挿入しておき、地すべりの移動によりボーリング孔が孔曲がりした時点でこのパイプを引き上げ、パイプが引っ掛かった深度を測定することにより、すべり面の位置を決定する方法である。

(3)のすべり面検知装置による方法は、すべり面の分かりにくい大規模な岩盤地すべりのために、今回開発した方法である。その開発理由は、まず(2)の方法ではボーリングが深くなった場合、孔壁と保孔管の間のグラウトの良し悪しが計測精度に影響するという問題がある。また、(4)の方法は、(2)と同じくボーリングが深くなるとパイプ及びコードの数が多くなるため、自重でパイプが変形する等の問題がある。これらの問題を解決するために、すべり面検知装置の開発を行った。簡単にこの方法について説明すると、まず、図-21に示すようにボーリング孔内にセンサーケーブルを挿入し、グラウトによりモルタル柱を作成する。その後、地すべりの移動によりすべり面でセンサーケーブルが切断された後、センサーケーブルにパルス信号を送る。そして、その信号の往復時間を計測してセンサーケーブルの切断された深さを求め、すべり面深度を計測するというものである。

主測線におけるすべり面縦断形状は図-5に、A測線におけるすべり面横断形状は図-6にそれぞれ示した。(1)の方法については、袖の沢及び引牧で実施し、BV-91では花崗砂岩、BV-80, 81, 89では凝灰岩破碎層、BV-88では緑色凝灰岩ですべり面が測定された。この重錘による方法は、移動層が岩塊であり移動量も大きいという地すべり特性を生かしたもので、非常に簡単で且つ有効な測定方法である。(2)の方法については、沼田のBV-68で実施され、風化凝灰岩内で測定された。(3)の方法は、沼田の地すべり末端部と下沢の目の地すべり頭部において実施され、すべり面が計測されている。下沢の目の陥没帯は、ボーリング調査により亀裂、断層、空洞等が確認されたが、すべり面の連続性及び性状については確認できなかった。しかし、すべり面は連続しているものと考え、すべり面の測定を行った。すべり面検知装置を用いて調査した結果、BV-106ではレキ混じり粘性状凝灰岩上面に、また、BV-104, 105では花崗砂岩上面でそれぞれすべり面が測定された。(10) (11)

以上の調査から、以下の結果が得られた。主測線におけるすべり面形状は、移動層の受け盤構造に規制されず、流れ盤状に存在している凝灰岩破碎層及び花崗砂岩上面、レキ混じりの粘性状凝灰岩上面を通る非常に低角度のものであり、舟型を呈している。一方、A測線については、堰沢から引牧にかけて花崗砂岩、凝灰岩破碎層、凝灰岩を通るもので、8°程度の流れ盤状に連続している破碎層とほぼ一致したものとなり、堰沢から引牧にかけ徐々に深くなっている。

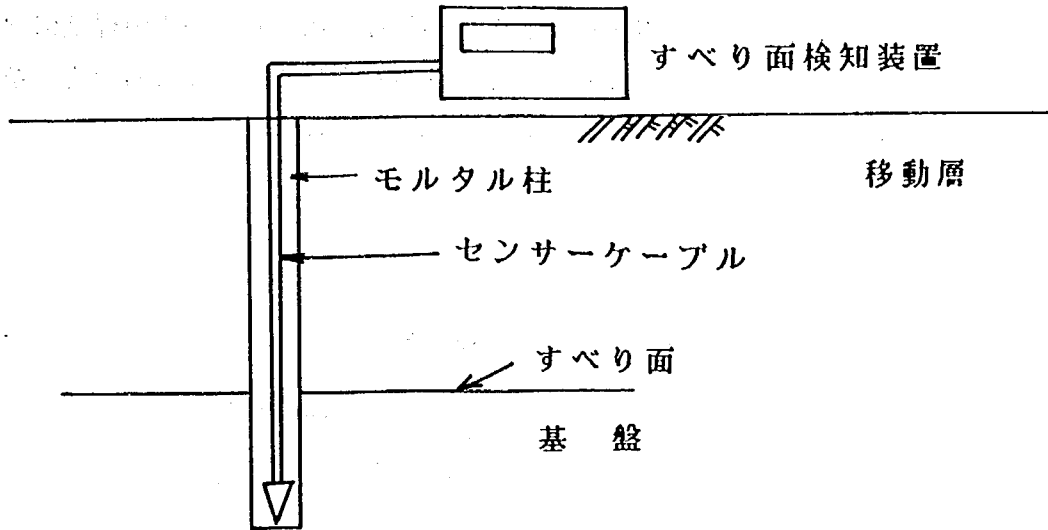


図-21 すべり面検知装置

2.5 土質試験

すべり面調査結果をもとに、袖の沢における緑色凝灰岩の破碎層のボーリングコアを用いて、すべり面の土質強度定数を求めた。

せん断試験は、以下の方法で行った。まず、せん断試験機は、現場の移動状況からすべり面の強度が残留強度まで低下していると考えられたので、残留強度を求めるためにくり返し一面せん断試験機を用いた。供試体は、自然状態のものに蒸留水を加え、レキ分を除くために420 μ のフルイに掛けた後、気乾燥により適度な含水比に調整し作成している。

試験方法は、24時間圧密した後にせん断速度0.1mm/minで水平変位が1m程度になるまでせん断し、せん断応力が一定値に収束した後に、垂直荷重を増してゆく多段載荷方式を用いた。試験結果を図-22に示した。 $C_r = 0 \text{ t/m}^2$ 、 $\phi_r = 8.0^\circ$ が得られた。

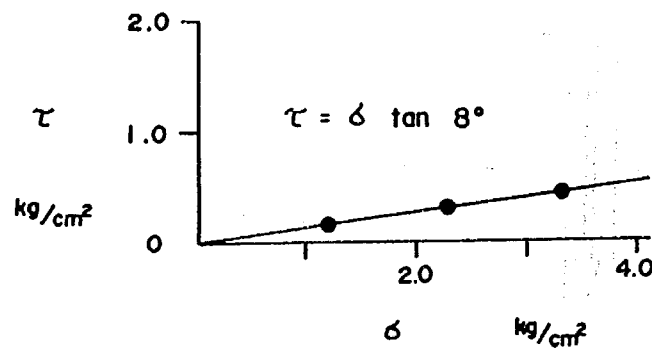


図-22 くり返し一面せん断試験結果

3. 地すべり運動特性

地すべり調査結果をもとに、滝坂地すべりの運動特性を次のように考えた。まず、地すべりの移動形態は、地すべり構成土塊の土質力学的特性（例えば平均延性度及び延性度較差など¹²⁾の影響を受けることが良く知られている。特に、地すべり構成土塊のこの特性は地すべり地形の分化、いわゆる地すべり階程の移行に伴って脆弱化し、移動特性が破碎帯地すべりでみられるbrittle^{13), 14)}な運動を示すものから、第三紀層黒色泥岩地帯でみられるクリーブ的な運動を示すものへと変遷すると考えられる。

滝坂地すべりの場合、図-10に示した変動状況から地すべり構成土塊の脆弱化はそれ程進んでいないものの、水平移動が非常に大きなものとなっていることから、すべり面である破碎層の脆弱化はかなり進んでいると思われる。図-23には、移動計の観測結果を地すべりが止まる前の一連の移動について累積移動量で示した。図からは、第三紀層黒色泥岩地帯でみられるクリーブ的な運動を示しているのが認められる。また、このクリーブ曲線は指数クリーブ ($\gamma = \gamma_0 + b t^n$ 、 γ はひずみ、 γ_0 は瞬間ひずみ、 b 、 n は定数)¹⁵⁾に属し、図に示す破線で近似することができる。

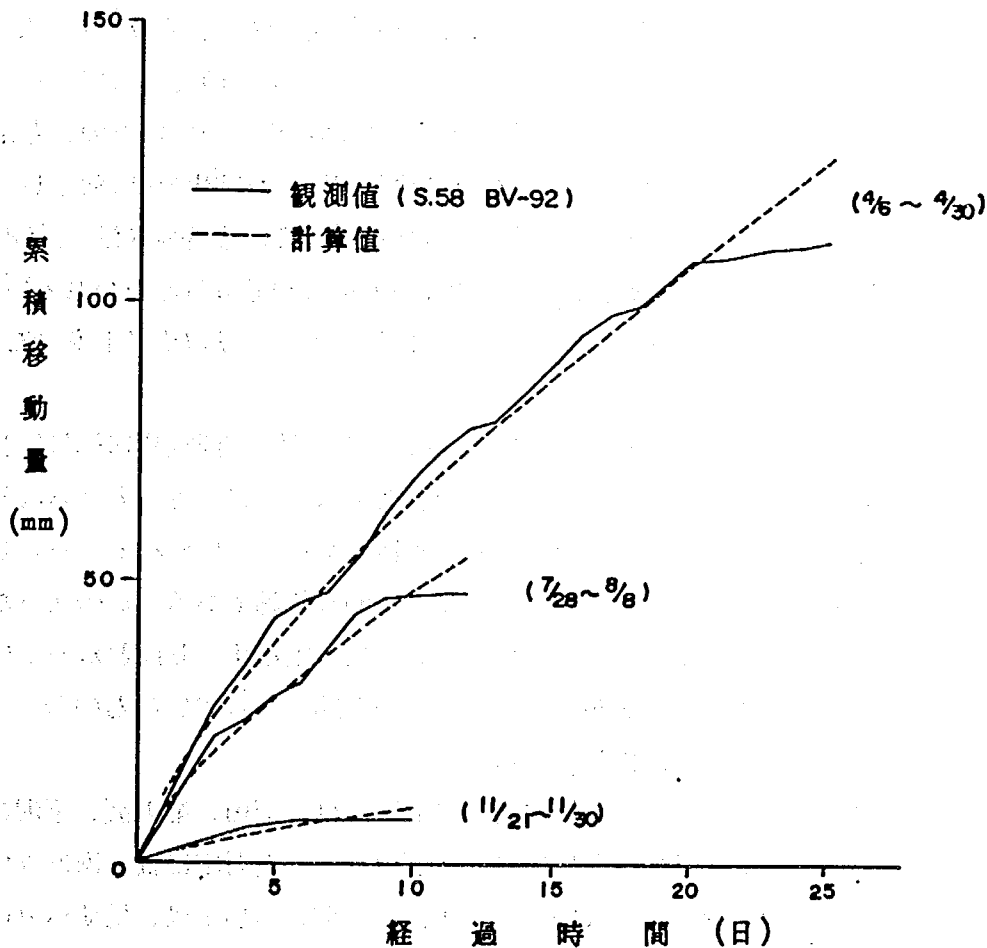


図-23 累積移動量と経過時間の関係

一方、土質特性から運動特性を調べるために土質試験を実施している。試料は、すべり面である袖の沢における緑色凝灰岩の破碎層のボーリングコアである。黒色泥岩地帯に発生している猿供養寺地すべり¹⁶⁾及び御荷鉾緑色岩地帯の破碎帯地すべりである下地藏寺地すべり¹³⁾と対比してみると、塑性指数は滝坂地すべり57.6、猿供養寺地すべり30~80、下地藏寺地すべり20となっており、猿供養寺地すべりに近い値を示している。この他、カサグランデの塑性図¹⁷⁾では液性限界が99.9%でC H領域に属し、第三紀層地すべりの物理的特質を示している。

粘土の活性化を調べるために、Skemptonによって提唱された手法¹⁸⁾

$$\text{粘土の活性} = \frac{\text{塑性指数}}{2 \mu \text{以下の粘土含有量}}$$

によって解析すると、滝坂地すべり2.40、猿供養寺地すべり4.0、下地藏寺地すべり0.83~1.96となり、Skemptonの粘土の活性分類に従えば、下地藏寺地すべりはNormal 3からActive 4の範囲で、滝坂地すべり及び猿供養寺地すべりはActive 5に分割される。SkemptonによればActive 5にはモンモリロナイトだけが知られていると報告しており、この結果は、前述したX線回析の結果とも一致している。黒色泥岩地帯の地すべりとモンモリロナイト鉱物の関係については布施¹⁹⁾が詳しいが、モンモリロナイト類の粘土鉱物が黒色泥岩層に広く分布し、地すべりは粘性流動を起こしやすいと報告している。このことから、粘土の活性値を判断すると、滝坂地すべりにおけるすべり面の工学的特性は、黒色泥岩と同様に活性化しやすいものと考えられる。

スラリー試料¹⁷⁾を用いて、繰り返し一面せん断試験を実施した結果では、前述したように図-22に示す残留強さ $C_r = 0 \text{ t/m}^2$ 、 $\phi_r = 8.0^\circ$ が得られた。一般に残留強さは、鉱物組成や化学結合に左右され、モンモリロナイト鉱物に対しては $\tan \phi < 0.20$ であるといわれている¹⁷⁾。滝坂地すべりでは $\phi_r = 8.0^\circ$ 、塑性指数57.6であり、やはり、モンモリロナイトを含む土の特性を示している。

本地すべりは、渡の地すべりの型分類²⁰⁾によれば、主な土塊の性質が岩盤又は弱風化岩であり、すべり面形状も舟型を呈していることから、岩盤地すべりに属すると考えられる。岩盤地すべりは、運動速度が早く短時間に突発的に運動する特性を示すといわれている。しかし、本地すべりの場合は、毎年移動がみられ、且つ、クリープ的な移動である。このような運動特性は、前述したような岩盤地すべりのものと異なる。これは、主なすべり面となっている凝灰岩破碎層が粘土化しているため、移動層が岩盤地すべりの形態を呈しているものの、すべり面が粘質土すべりの運動特性を示すためと考えられる。

地すべりブロックについて考えると、堰沢南部においては、沼田、袖の沢、下沢の目が主な地すべりブロックであり、引牧は袖の沢に付随したブロック、大石出口は二次的な地すべりブロックであることが明らかになった。(図-3) また、常磐については、地すべりの「分化」²¹⁾の進行過程で派生したブロックであると考えられる。つまり、地すべり活動によって地すべり地塊は破碎される。この破碎は地すべり地形の縁辺部で著しく、また、縁辺部は亀裂の発達

が著しいため集水性の高い地区となる。このため、地塊の破碎と地下水のため流動性を帯びた新規の地すべりが発生しやすく、地すべり地塊の軟弱な特性から、細長い地すべり地形を呈することが多くなる。常磐ブロックは、図-2に示すように地すべり発生位置をみると、この分化的進行過程において派生した地すべりと考えられ、地すべり地形は細長く、また、堰沢からの地下水の供給等から流動性の高い泥流状の地すべり形態(クリープ型地すべり⁸⁾)を示し、移動の最も激しいブロックとなっている。

4. 地すべり発生機構

地すべり地内には、大石出口及び湯出野沢方面からの沢水が湯出野沢沼に集まり、堰沢を流下し阿賀川に達している。これらの地表水は、地すべり地内を走る断層を地下水経路としていと考えられる。図-13,14,15の観測結果からも明らかのように、移動量は、地下水位の上昇に敏感に反応している。図-24(a)~(f)には、下沢の目ブロックの地下水位と袖の沢の移動(BV-92)との関係を昭和58年のデータで示した。図-24(a),(b),(c),(d)については、地下水位の上昇とともに、移動量が大きくなるのが一層明瞭に示されている。一方、下沢の目ブロック内でも大石出口に近い図-24(e)のBV-73及び堰沢に近い図-24(f)のBV-97については、前者ほど明瞭な関係はみられない。また、下沢の目以外の大石出口のBV-100を図-25(a)に、湯出野沢沼のBV-99を図-25(b)に、沼田のBV-3を図-25(c)に示した。やはり、前述した下沢の目のものと比較して移動と地下水位の関係は明瞭ではなく、沼田のBV-3については更にその関係はみられない。

以上のことから、堰沢南部ブロックの地すべり発生機構は、地すべり末端部が阿賀川に接しているため、融雪期、豪雨期に侵食されることと、前述した地下水位の上昇により地すべりが発生するものと考えられる。

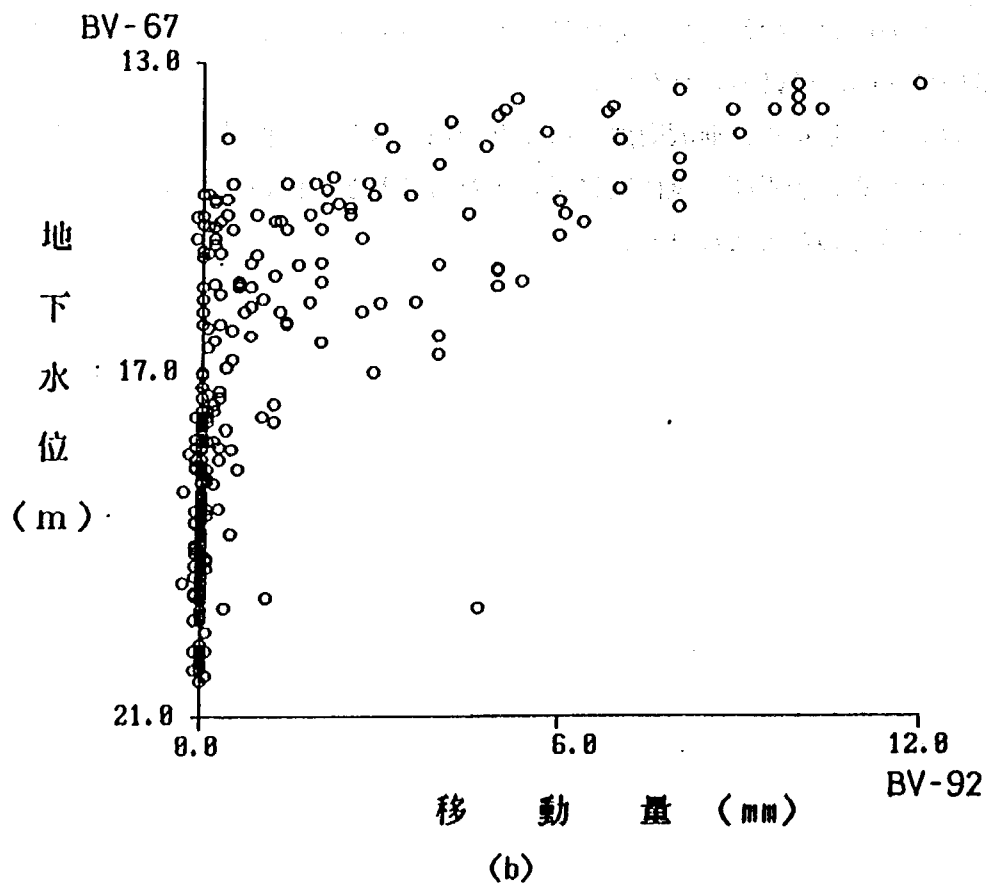
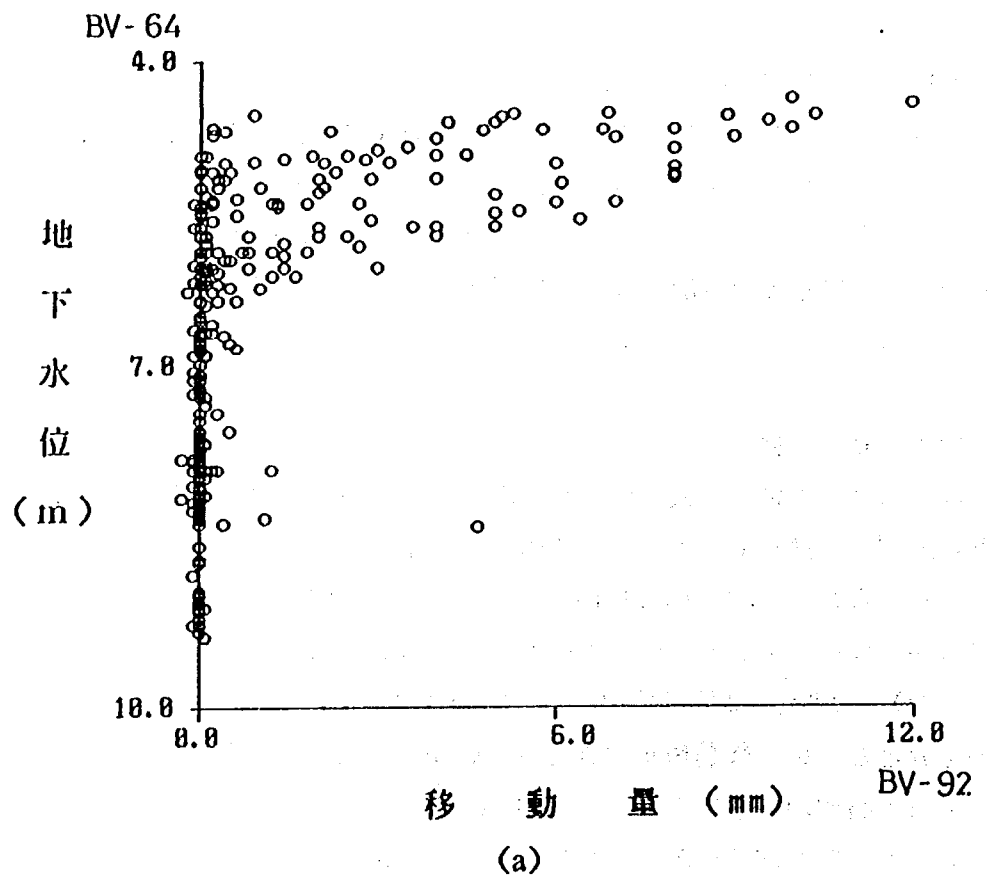


図-24 移動量と地下水水位の関係

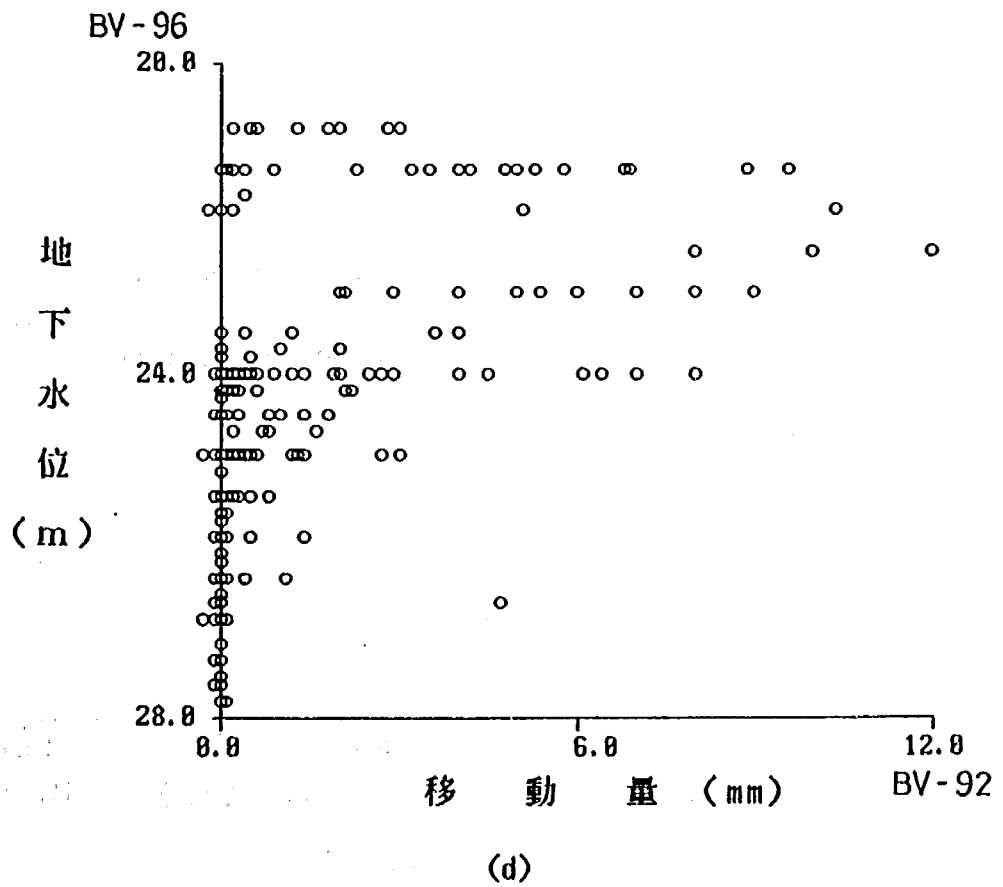
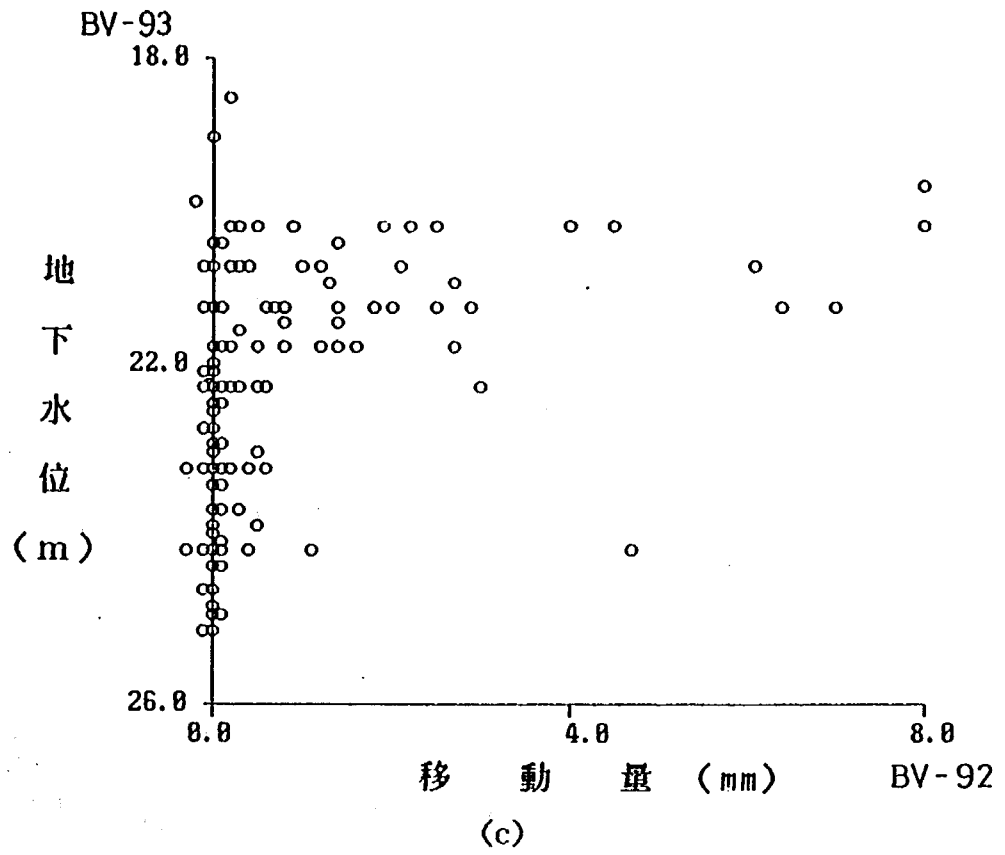
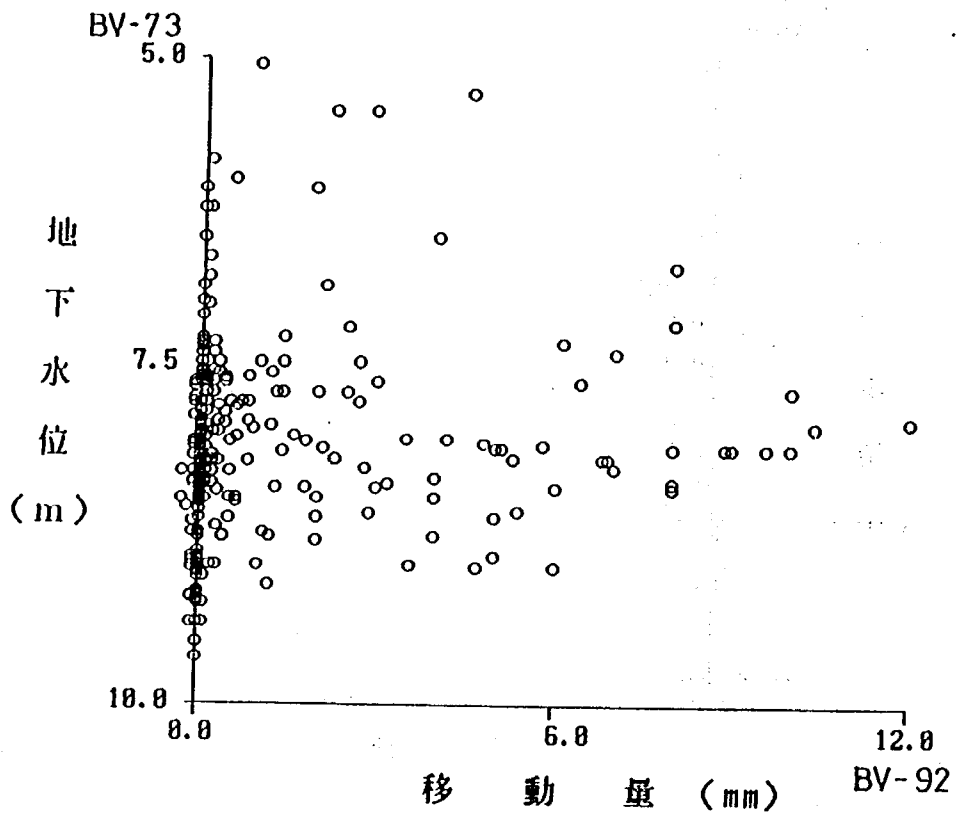
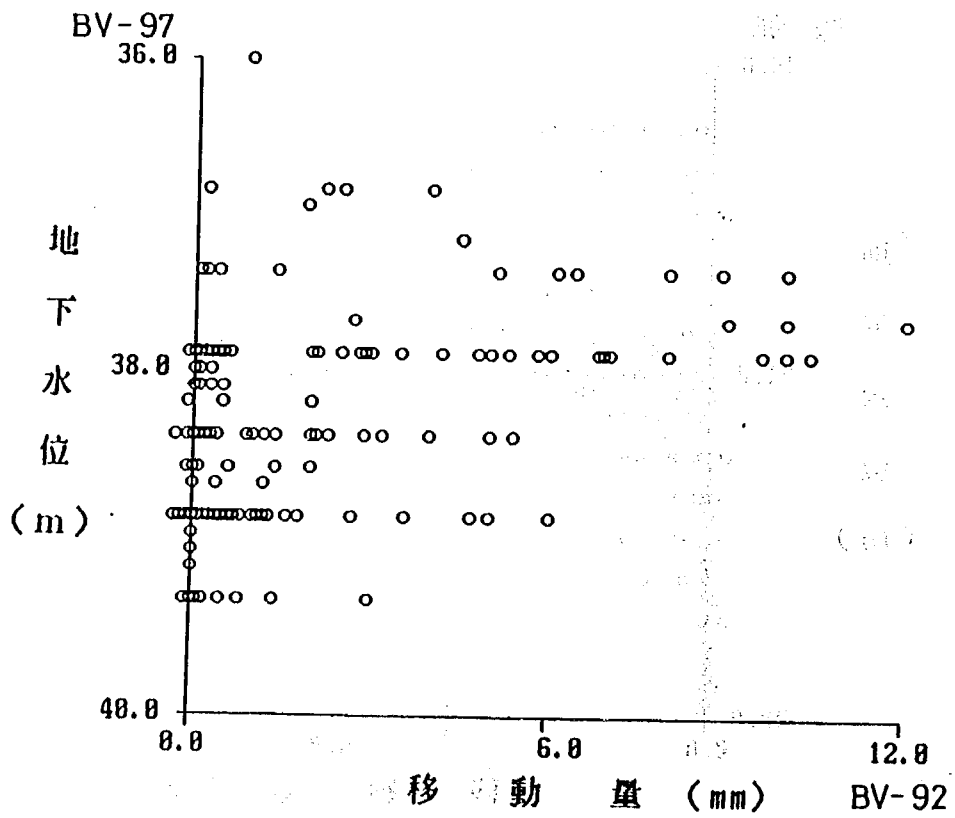


図-24 移動量と地下水位の関係



(e)



(f)

図-24 移動量と地下水位の関係

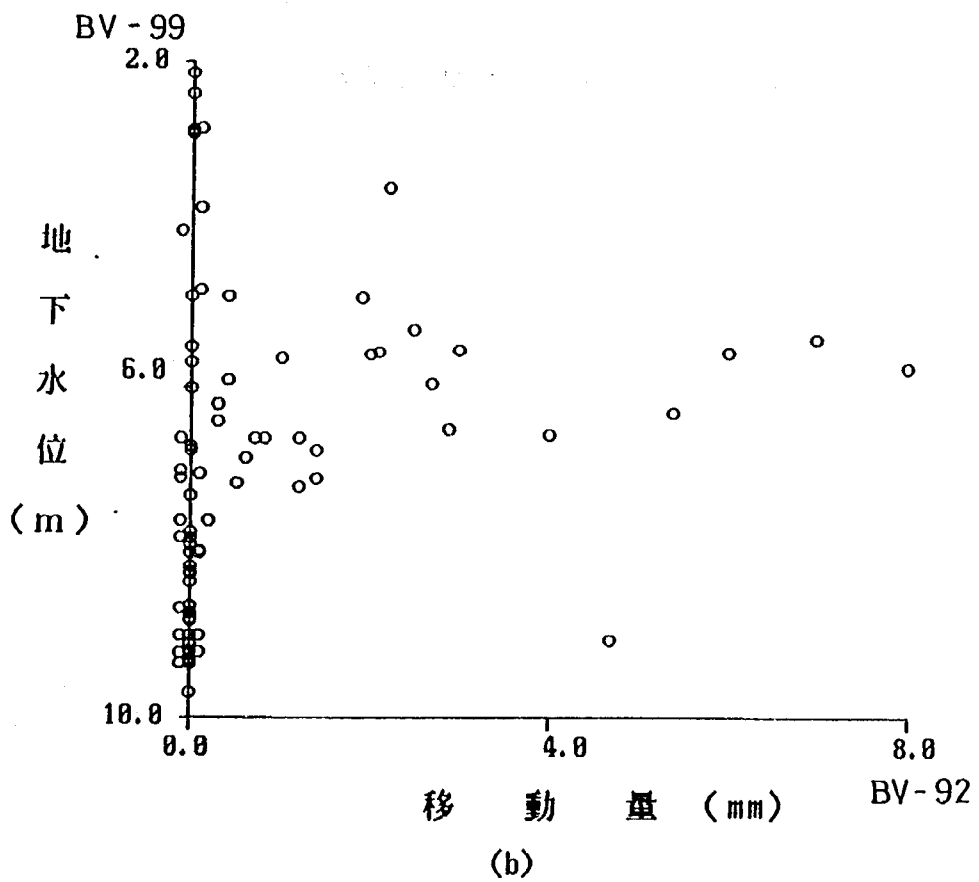
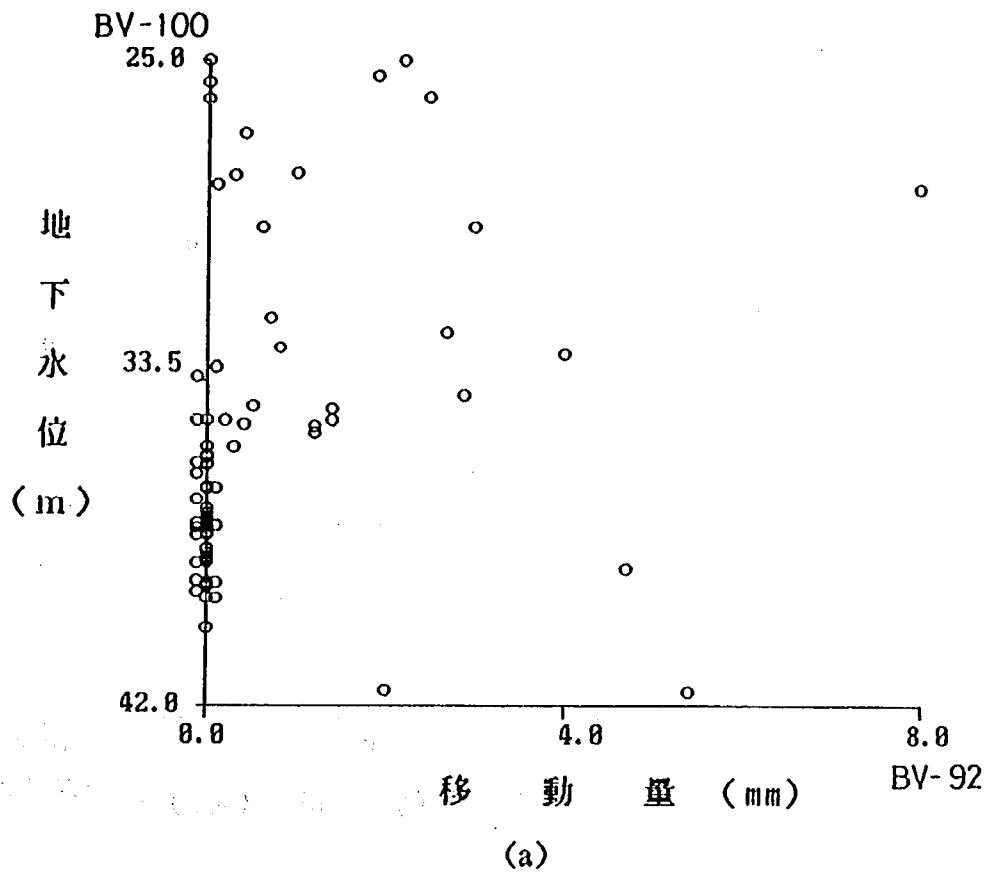
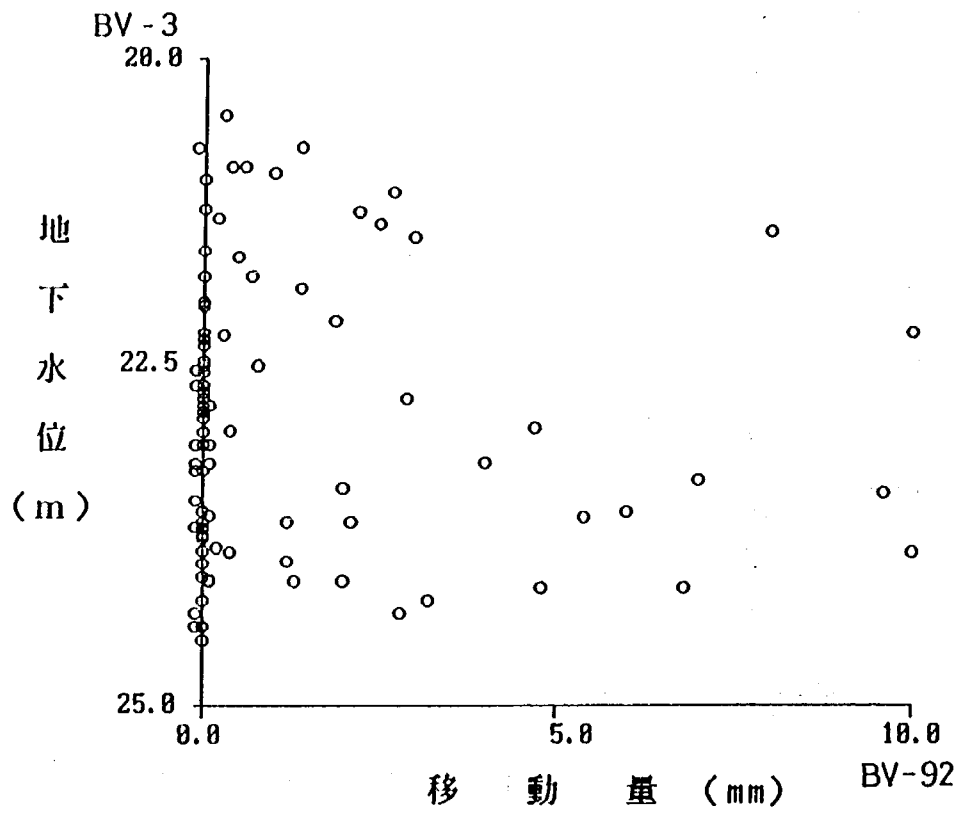


図-25 移動量と地下水位の関係



(c)

図-25 移動量と地下水位の関係

5. 安定解析

安定解析は、すべり面調査及び地下水位調査結果をもとにした図-5の主測線地すべり断面により行った。土質強度定数は土質試験結果から得られた $C_r=0\text{ t/m}^2$ 、 $\phi_r=8.0^\circ$ を用いた。また、単位体積重量は、第三紀の緑色凝灰岩、泥岩が主体であることから、 $\gamma_t=1.85\text{ t/m}^3$ とした。

解析方法は、一般的な簡便法と任意のすべり面においてすべての静的つり合い条件を満足するMorgenstern and Price法²²⁾を用いた。解析結果は、表-1に示した。簡便法については、HWLで $F_s=0.90$ 、LWLで $F_s=1.04$ 、Morgenstern and Price法では、HWLで $F_s=0.88$ 、LWLで $F_s=1.00$ が得られ、両者はほぼ同じ安全率を示したが、若干簡便法の方が大きな値となっている。

表-1 安定解析結果

方 法	F_s (HWL)	F_s (LWL)
簡 便 法	0.90	1.04
Morgenstern and Price法	0.88	1.00
$C = 0\text{ t/m}^2$ $\phi = 8^\circ$ $\gamma_t = 1.85\text{ t/m}^3$		

6. 地すべり対策

前述したように、堰沢南部ブロック群の移動は、地下水の挙動と密接に関連し、更には阿賀川による地すべり末端部の侵食もその一因となっている。したがって、堰沢南部ブロック群の基本的な防止工法としては、地下水排除工が中心となる。このためには、陥没帯である下沢の目ブロックの地下水排除が有効であり、同時に地すべり地内の地表水が集中する堰沢の処理も重要となる。

現在、湯出野沢沼及び堰沢沿いの地表面排水路工と、浅層の地下水排除工として堰沢沿いに集水井が施工されているが、今後、更に深層地下水を排除するためには、トンネル排水工等が考えられている。また、これらの防止工事が実施された上で、地すべりの移動状況に応じて、阿賀川のショートカット、沼田ブロックの押え盛土、護岸工、更にはアンカー工、シャフト工による地山の強化と抑止が考えられている。

6.1 防止工事の効果判定

6.1.1 防止工事前後の地下水位と移動量の変化

昭和58年度末から図-3に示す湯出野沢沼に集水井が、また、湯出野沢沼と堰沢沿いに地表排水路工の施工が進められている。これに伴い、堰沢南部ブロック群内の地下水位、移動量に変化が生じ、防止工事の効果が見られている。ここでは、防止工事の効果について検討した結果を示す。

防止工事前後の地下水位、移動量、降雨量の観測結果を図-13,14,15に示した。ここで、防止工事前に当たるものが昭和58年であり、防止工事開始後に当たるものが昭和59、60年である。移動量については融雪期に集中し、年変化をみると昭和59、60年がかなり小さくなっている。また、地下水位については、下沢の目において、昭和59、60年に低下している傾向がみられる。しかし、図-13,14,15からはこれらの変化をはっきりと確認できないので、次に示す方法により整理した。まず、線形判別関数²³⁾を用いて、工事前後における地下水位に変化があるかについて解析を行った。データは、昭和58年と60年のものである。この方法は、線形判別関数の係数の検定を行い、有意水準1%で有意であるかどうかを求めるものである。有意である場合は係数が判別に寄与していることになり、防止工事前後の地下水位に変化あり、防止工事の効果があったことを示す。但し、各年の降雨状況に差がないことが前提である。

図-26には、各ボーリング孔の F_0 値を示した。堰沢沿いのBV-98, 102と大石出口のBV-74, 100については F_0 (0.01)値より小さく判別することができないことから、各年の降雨状況に差はなく、且つ、防止工事前後の地下水位にも変化がなかったことを示した。下沢の目と袖の沢の地下水位観測孔については、前者が有意であり後者は F_0 (0.01)値に近い値を示した。したがって、この工事段階では、防止工事の効果は解析に用いたボーリング孔によれば下沢の目に現れ、堰沢沿い、大石出口、袖の沢では現れていない結果となった。

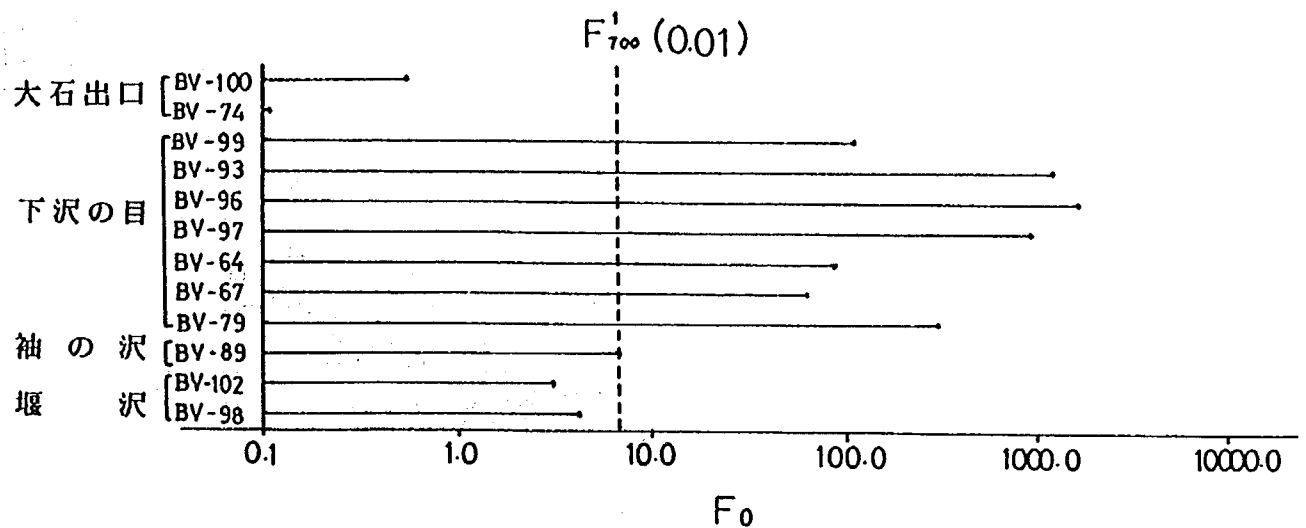
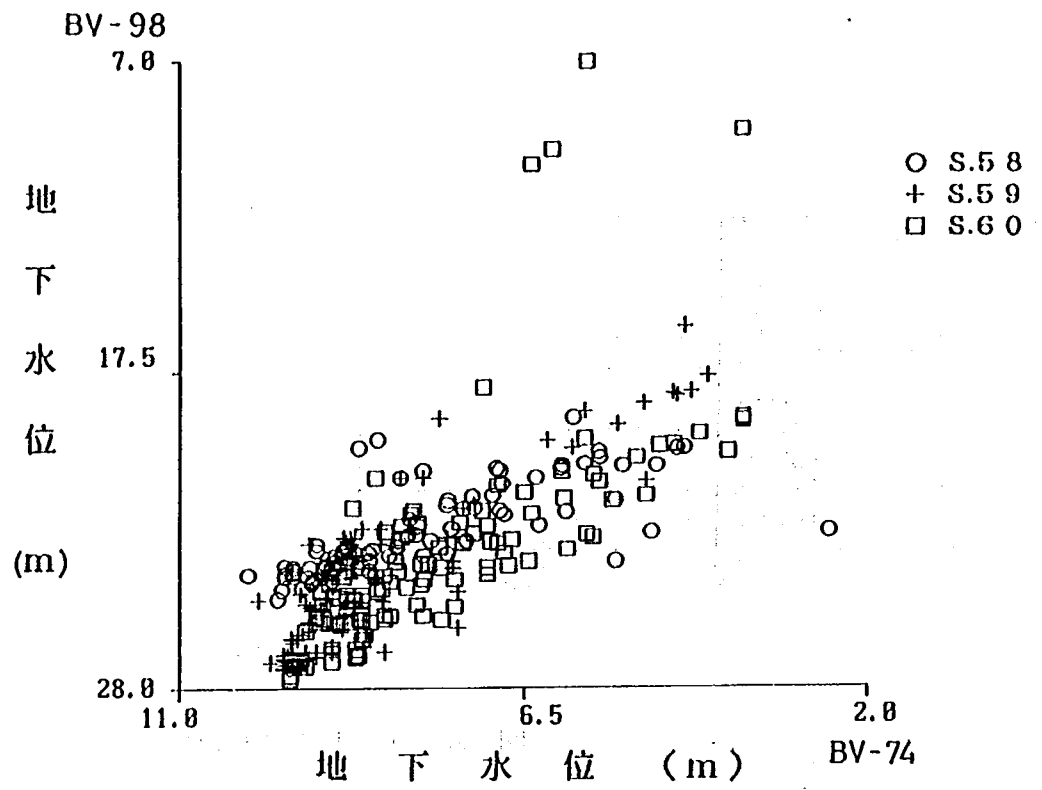


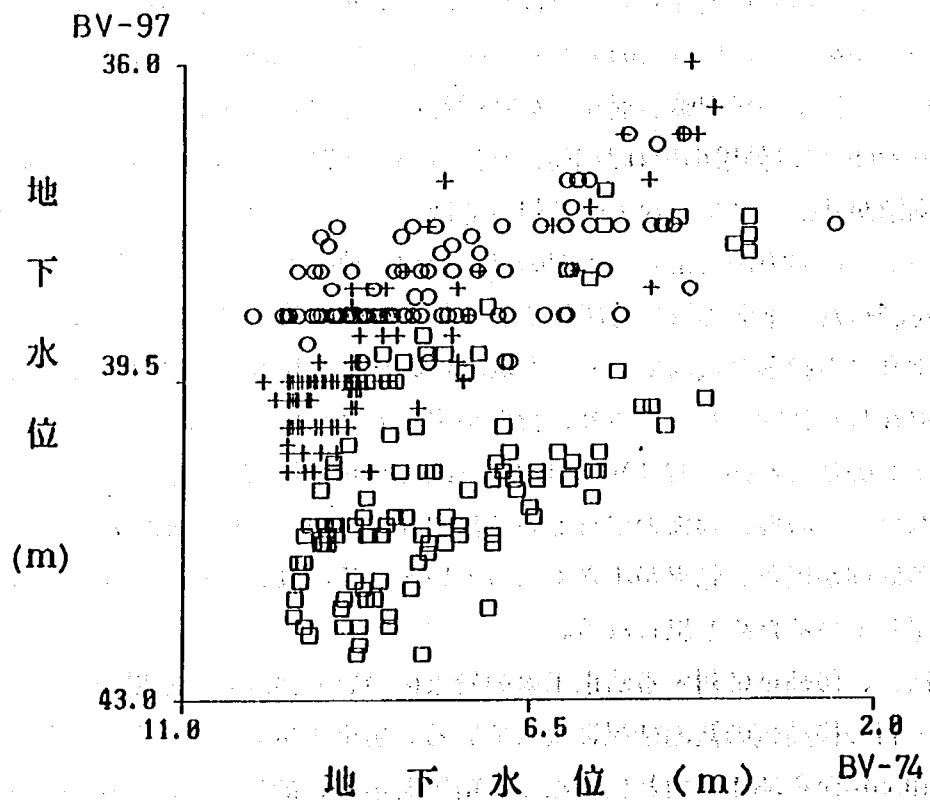
図-26 ボーリング孔のF₀

次に、防止工事による地下水位の変化状況について図-27(a)~(f)に示した。これらの図は、防止工事の効果が現れていないBV-74を基準にし、効果が現れると思われる地下水位観測孔との関係をもとに示した。図-27(a)には効果が現れなかった堰沢のBV-98について示した。各年の観測値が混在した状態となっており、効果が現れていないことを示している。図-27(b)には効果の現れた下沢の目のBV-97について示した。昭和58、59、60年の地下水位観測値が基準のBV-74の値に対して低下しているのがみられ、効果が現れていることを示している。この方法により、下沢の目、堰沢、袖の沢の地下水位観測孔を用いて、防止工事の影響を調べた。下沢の目に位置しているBV-93、96、について、図-27(c),(d)に示した。どの観測孔にも影響が現れている。堰沢沿いのBV-102については、図-27(e)に示した。観測値が混在した状態になっており、影響が現れていない。袖の沢ブロックについては、BV-89の観測孔の結果を図-27(f)に示した。堰沢沿いの観測孔と同様に、観測値が混在し影響が現れていない。その他、効果が現れている観測孔においても地下水位が上昇するに従い観測値が混在する傾向が現れ、効果が小さくなっている。これは、防止施設が施工途上であり、能力がまだ不足しているためと思われる。

次に、移動量に対する防止工事の効果について検討した結果を示す。この結果については、図-11の移動杭の観測結果に現れている。防止工事の始まった昭和59年の観測結果をみると、昭和55年から58年の値とは異なった結果を示し、最終最大積雪深が153cmと一番大きいにもかかわらず、水平移動量は昭和58年並となっており、防止工事により水平移動量が小さくなったことを示している。

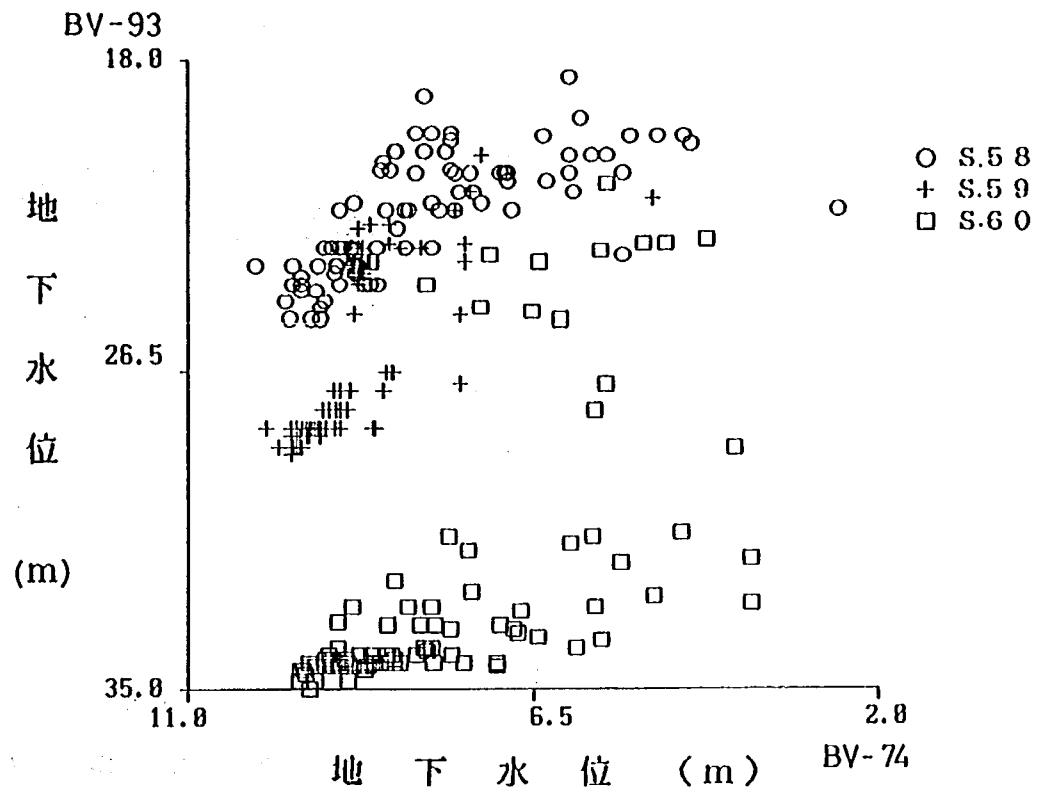


(a)

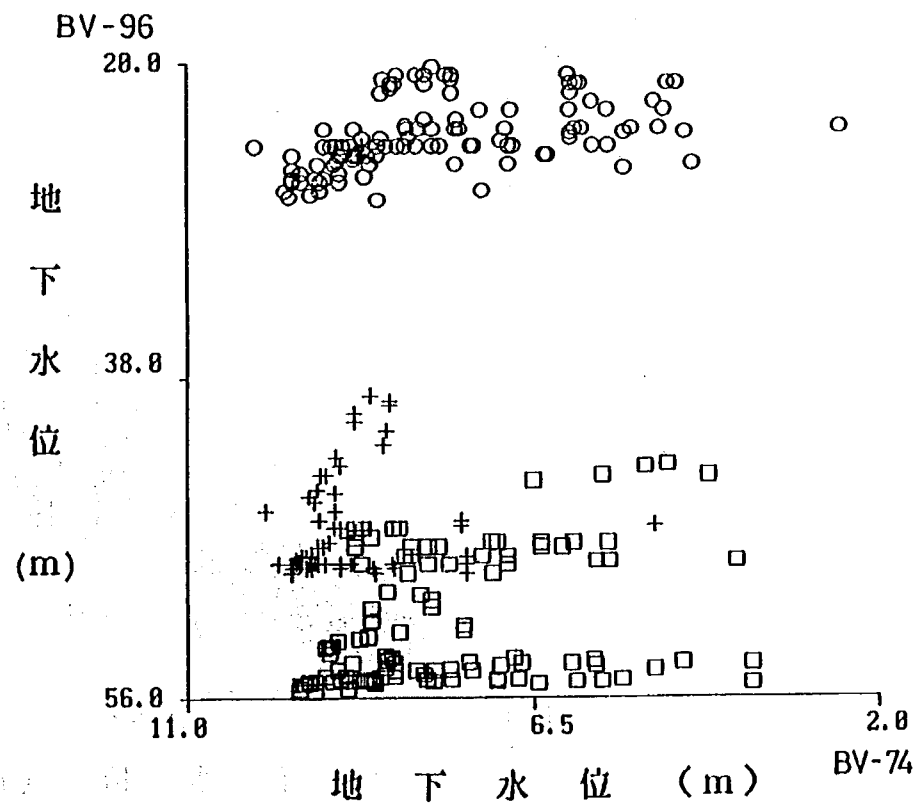


(b)

図-27 防止工事による地下水水位の変化状況

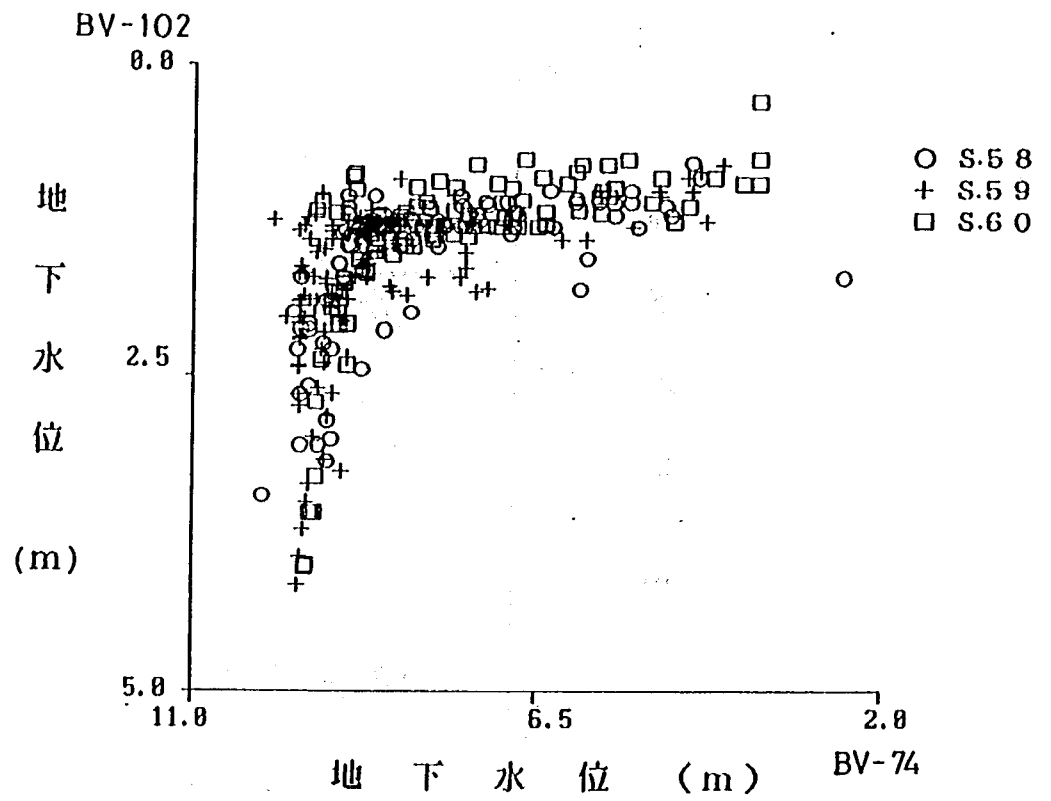


(c)

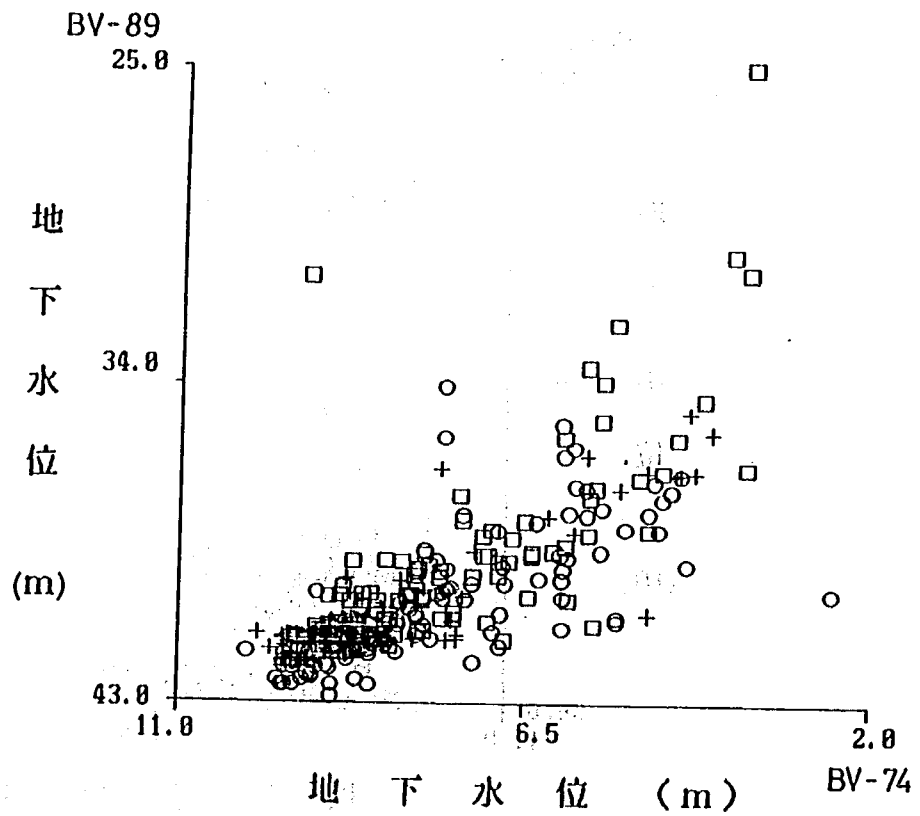


(d)

図-27 防止工事による地下水水位の変化状況



(e)



(f)

図-27 防止工事による地下水位の変化状況

6.1.2 降雨と地下水位のモデル化²⁴⁾

防止工事の効果判定について1つの方法を前述したが、地下水位の変化は大半が降雨の変化によるものであり、防止工事による変化をみる場合、同一の降雨状態で比較する必要がある。このためには、降雨と地下水位のモデル化が必要となる。ここでは、応答関数を用いた方法²⁵⁾で防止工事前の降雨と地下水位のモデル化を行い、防止工事後の地下水位の観測結果とこのモデルに降雨量を入力して得られた地下水位とを対比させ、防止工事の効果について検討を行った。

応答関数を用いた降雨に対する地下水位の変動モデルを簡単に示すと、以下のようになる。地下水位は、地すべり地内外の土層をブラックボックスと考えると、入力である降雨量 $x(t)$ と出力である地下水位 $y(t)$ との応答関数として表示できる。入力～出力の応答関数をWienerの一般的な形式で表示すると

$$y(t) = \sum_{n=1}^{\infty} \int_{-\infty}^t h_n(\tau_1, \tau_2, \dots, \tau_n) \prod_{i=1}^n x(t - \tau_i) \cdot d\tau_1 \cdot d\tau_2 \cdot \dots \cdot d\tau_n \quad \dots (1)$$

(1)式の1項までとり、重回帰モデルで示せば

$$Y(t) = b_0 + \sum_{i=1}^p b_i x_i \quad \dots \dots (2)$$

となる。

ここに $Y(t)$: 推定地下水位

b_i : 偏回帰係数

p : さかのぼる日数

x_i : 降雨量

(2)式は線形であるが、土の浸透能等を考慮して非線形変換法²⁶⁾を用いた次式により、解析を行うことにする。

$$Y(t) = b_0 + \sum_{i=1}^p b_i x_i^m \quad \dots \dots (3)$$

ここに m : 定数

ここで(3)式を解く場合、問題となるのがさかのぼる日数 p をどの程度にするかである。一般的には、 p を増して行くと重相関係数は常に大きくなる。しかし、本来の目的は現状のデータでの適合性ではなく、将来の対象についての地下水位の予測であることから、再現性について考える必要がある。この点については、自由度二重調整済み寄与率 $R^{**23)}$ を用いてさかのぼる日数 p を決めることにした。

$$R^{**2} = R^2 - \frac{2nP(1-R^2)}{(n+1)(n-P-1)} \dots (4)$$

ここに n : データ数

P : 説明変数の数

解析は、図-13~15に示す防止工事前後にわたって地下水位の観測が実施されたBV-97、93について行った。図-28には、さかのぼる日数 p と重相関係数 R との関係を示した。 R は p の増大とともに大きくなって行く。ここで、(4)式を用いて p との関係を R^{**2} で表すと、図-28ではみられなかったピークが図-29ではみられる。ピーク値の p はBV-97については、 $p=24$ 日、BV-93については、 $p=35$ 日である。また、 m については図-30に示した。図からBV-97については $m=0.5$ 、BV-93については $m=0.6$ で R^{**2} がピーク値となっている。

図-31には、BV-97の $p=24$ 、 $m=0.5$ 、BV-93の $p=35$ 、 $m=0.6$ の値の時の偏回帰係数 b_i を示した。BV-97の b_i は、 p に対してかなり変動しながら値が0に収束する傾向がみられる。降雨の影響は、当日よりも1日前の方が大きくなっている。BV-93の b_i はBV-97と同様な変化がみられ、降雨の影響は当日よりも4日前の方が大きくなっている。

以上の m 、 p 、 b_i を用いた(3)式により、昭和58、59、60年にわたって防止工事の効果を検討した結果を以下に示す。図-32(a)には、BV-97の地下水位の変動状況を示す。昭和58年は、モデルの適合性を示したものである。昭和59、60年の推定値は防止工事が行われなかった場合の地下水位変動状況である。モデルの適合性については、BV-97の観測計器の精度が悪いことと、地下水位の変動幅が小さいことから十分に精度を上げることができなかった。昭和59年の変化をみると、実測値と推定値との差がほぼ1m程度あり、地下水位の低下がみられたと推定される。また、昭和60年については、全体として実測値と推定値との差がほぼ2~3mみられる。しかし、7月上旬の地下水位の上昇時には実測値と推定値とが近接する状況がある。これは、防止工事が施工途中であり、能力がまだ不足しているためと思われる。

図-32(b)、同じくBV-93の地下水位の変動状況を示した。昭和58年の地下水位の変動は、BV-97に比較して良く適合している。昭和59、60年の実測値と推定値の変動状況の差は2~12mみられる。また、昭和59年7月には、実測値と推定値との接近がみられ、BV-97と同様に防止工事の能力がまだ不足しているものと思われる。

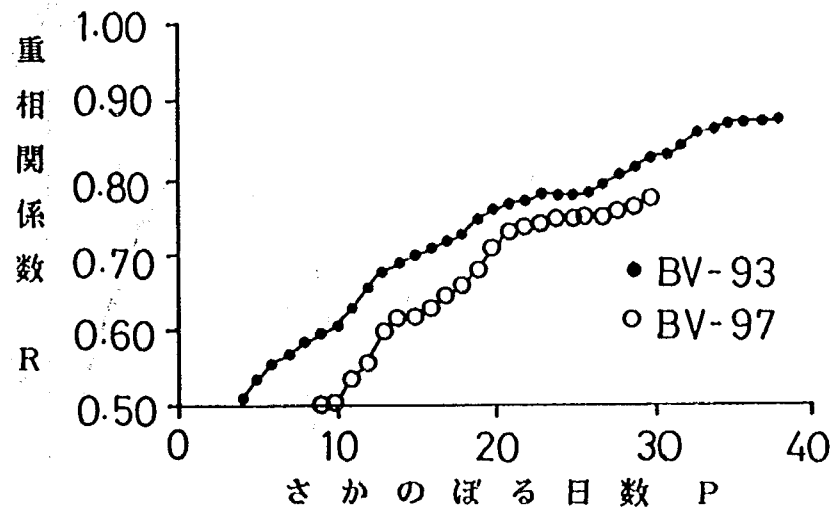


図-28 さかのぼる日数と重相関係数の関係

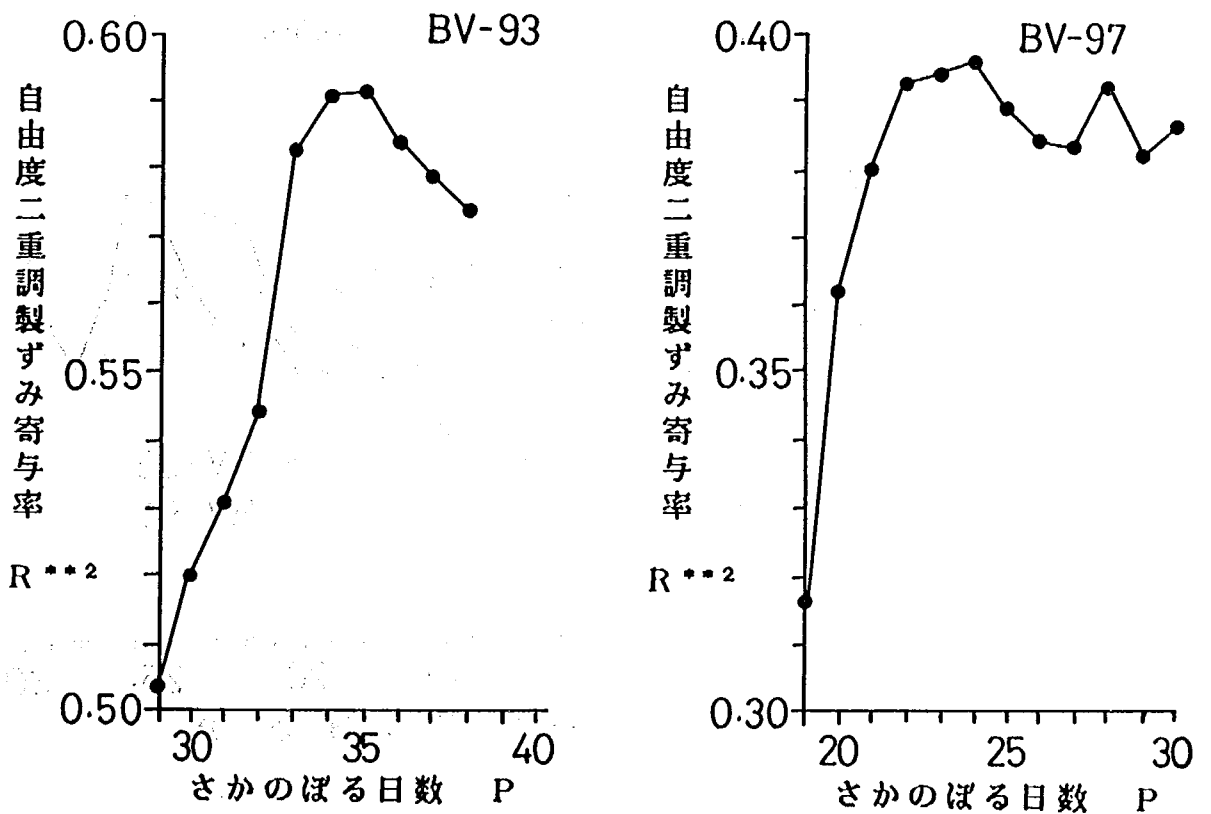


図-29 さかのぼる日数と自由度二重調整ずみ寄与率の関係

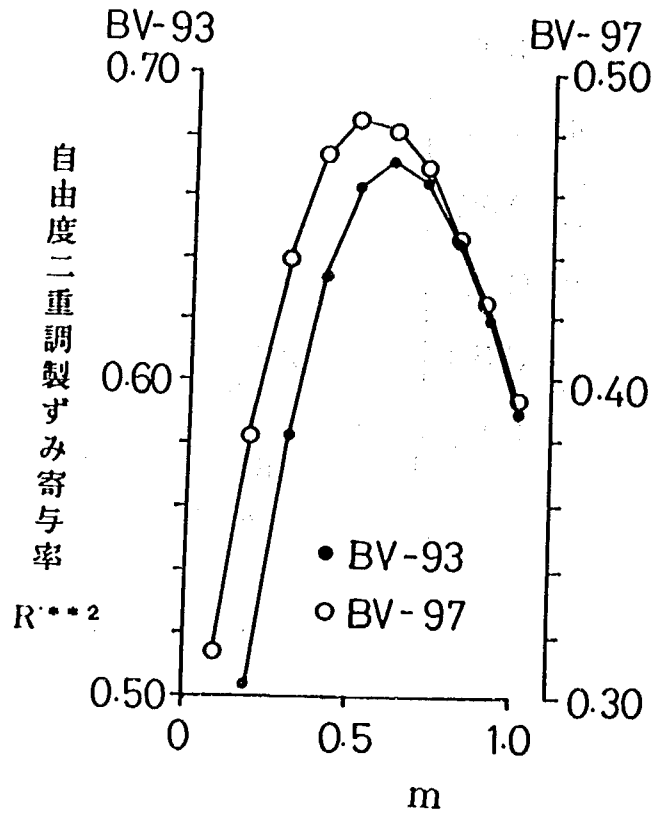


図-30 mと自由度二重調整ずみ寄与率の関係

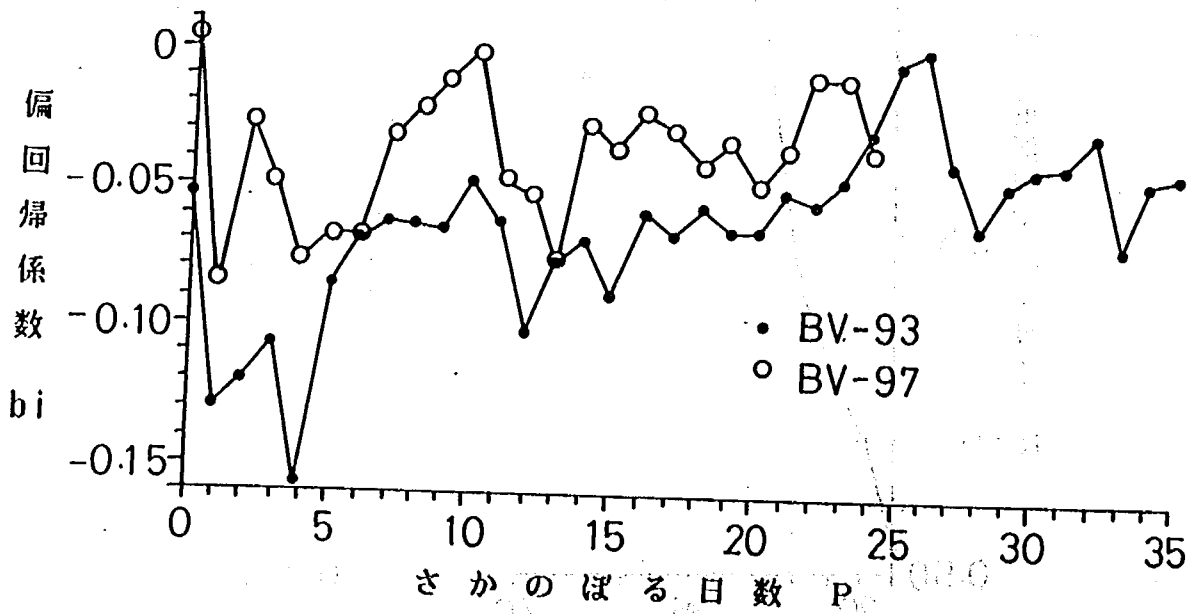


図-31 さかのぼる日数と偏回帰係数の関係

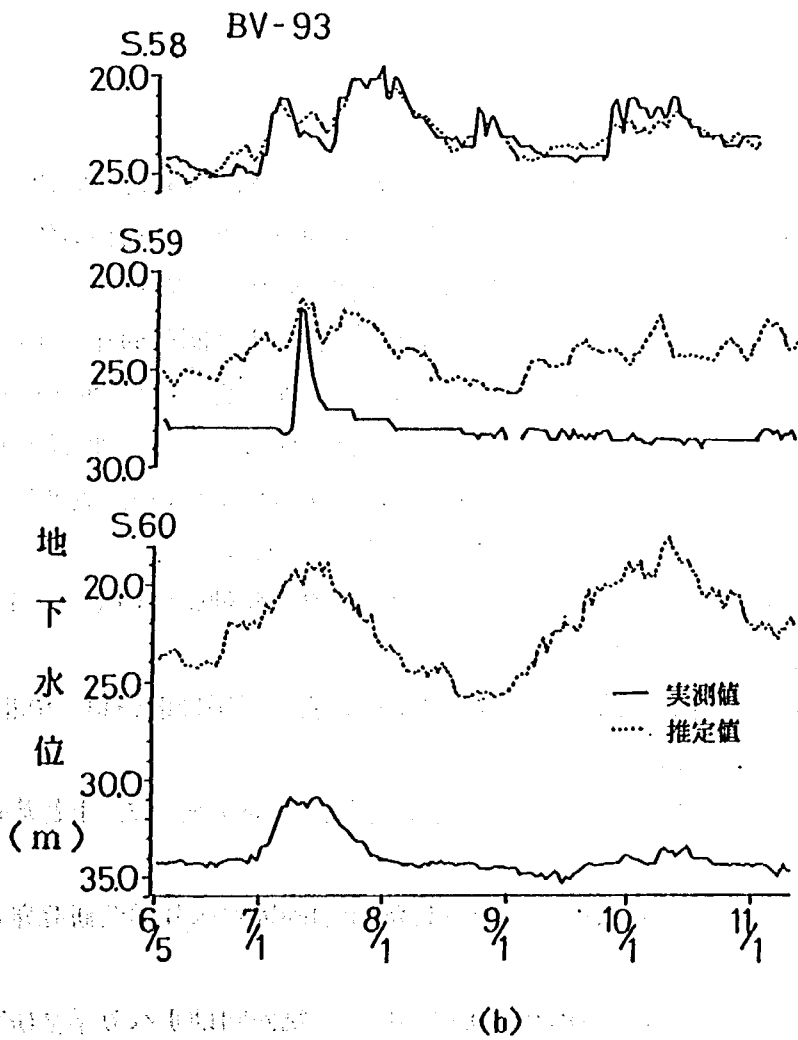
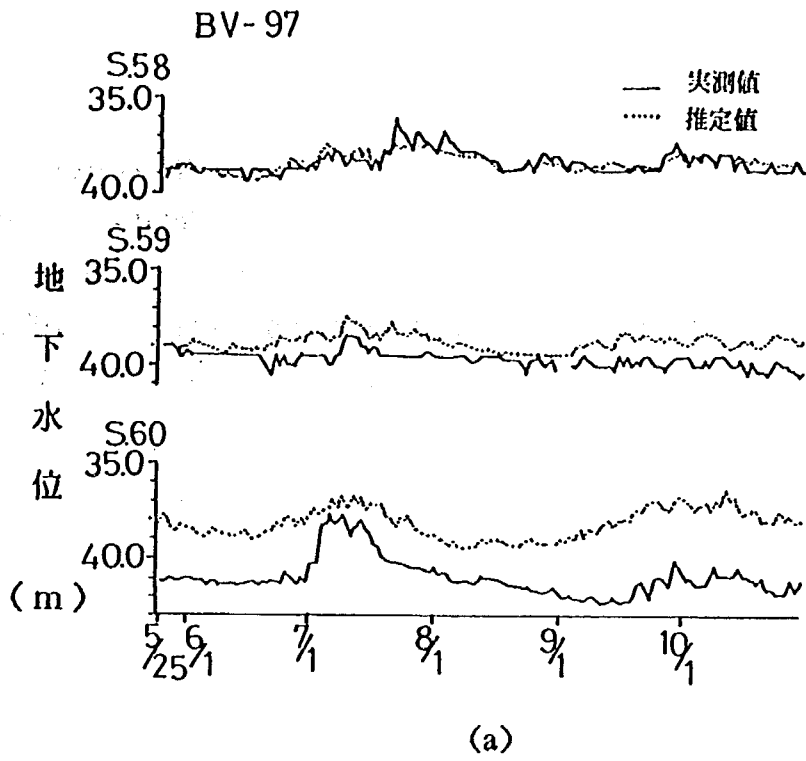


図-32 地下水位のシミュレーション結果

あとがき

滝坂地すべりを、第三紀緑色凝灰岩地域における大規模な深層岩すべりのモデル試験地として、地すべり調査を実施した。この調査では、広大で且つすべり面が深い地すべりのための、移動量調査、地下水位調査、すべり面調査について、調査方法及び計測器の改良開発を行った。また、観測データをもとに防止工事の効果判定についても若干の考察を行った。今後は、これらの調査方法及び防止工事の効果判定方法を更に充実させ、他の地すべり現場においても実施して行きたいと考えている。

参考文献

- 1) 渡 正亮, 阿部彰夫: 福島県、滝坂地すべりについて 新砂防 Vol.15, No.2 PP.1~15 1962.
- 2) 阿賀野川水系滝坂地すべり調査報告書 建設省北陸地方建設局 昭和54年8月
- 3) 滝坂地すべり技術検討会資料 福島県土木部砂防課 昭和58年7月
- 4) 滝坂地すべり調査 建設省土木研究所砂防事業調査費報告 昭和54年~60年
- 5) 藤田至則, 鈴木幸治, 国安 稔, 長谷川良三, 仁多見 郎, 西山 享: 地すべり崩積土内の亀裂の発生に関する実験とその意義 自然災害科学会誌 Vol.3, No.2 PP.29~40 1984.
- 6) 江口正紀, 近藤政司, 白石一夫, 丸山清輝: 滝坂地すべりについて 災害シンポジウム資料集 マスムーブメントに関する諸問題 地学団体研究会 1983.
- 7) 守随治雄: 福島県西会津地域の地すべりとグリーンタフ変動について 日本応用地質学会 昭和59年度研究発表会予稿集 1984.
- 8) ダムサイト適地選定調査の手法と地すべり地形の意義 河川技術資料 東北地方建設局河川部河川計画課 昭和57年3月
- 9) 奥園誠之, 小川正二: 設計における土のせん断強度とC, ϕ の考え方 土と基礎 Vol.32, No.12 pp.75~81 1984.
- 10) 針生幸治, 山崎宣悦: すべり面検知装置の開発 第24回地すべり学会研究発表会予稿集 PP.134~135 1985.
- 11) 近藤政司, 丸山清輝: すべり面検知装置について 第24回地すべり学会研究発表会予稿集 PP.136~137 1985.

- 12) 植村 武：新潟県下の地すべりの地質学的考察 地すべり Vol.18, No.4 PP.39~43 1982.
- 13) 吉松弘行, 福井義隆, 白石吉信：下地蔵寺, 怒田地すべりから見た御荷鉾緑色岩地帯の地すべりの特性について 地すべり Vol.19, No.3 PP.19~26 1983.
- 14) 末峯 章, 島 通保, 小西利史：地すべり発生機構に関する二・三の知見（破碎帯地すべりの一例）, 京都大学防災研究所年報第23号B-1 PP.345~355 昭和55年4月
- 15) 栗原則夫：粘土のクリーブ破壊に関する実験的研究 土木学会論文報告集 第202号 PP.59~71 1972.
- 16) 猿供養寺地すべり調査報告書(資料編) 土木研究所資料第1249号 昭和53年3月
- 17) 中村浩之：現場技術者のための土質調査ポケットブック PP.67~116 山海堂
- 18) 村山朔郎, 赤井浩一, 植下 協：大阪洪積層粘土の工学的特性 土と基礎 Vol.6, No.4 PP.39~47
- 19) 布施 弘：新潟県の黒色泥岩層にみられる地すべりの機構 地すべり Vol.5, No.4 PP.9~12 1969.
- 20) 地すべり地の概査と調査の考え方 土木研究所資料 第1003号 昭和50年3月
- 21) 江川良武：地すべり地形の「分化」について 地すべり学会第17回研究発表会予稿集 PP.76~77 1978.
- 22) Morgenstern and Price法による地すべり斜面の安定解析法 土木研究所資料第1510号 昭和54年6月
- 23) 奥野忠一ほか：統多変量解析法 日科技連
- 24) 近藤政司, 丸山清輝：地すべり斜面における降雨と地下水位の関係 第24回地すべり学会研究発表会予稿集 pp.108~111 1985.
- 25) 橋本ほか：確率統計水文学3 土木学会 Vol.63, No2 pp.66~76 1978.
- 26) 日野幹雄：非線形降雨流出系における流出予測 東工大 No6 pp.145~154 1968.

滝坂地すべり調査報告書

ISSN 0386-5878
土木研究所資料 第2404号
昭和61年9月 (1986)

吉 松 弘 行
近 藤 政 司
丸 山 清 輝

要旨 第三紀緑色凝灰岩地域における大規模な深層岩すべりのモデル試験地として、滝坂地すべりの地すべり調査を実施し、この調査をもとに、(1)地すべり運動特性 (2)地すべり発生機構 (3)防止工事の効果判定について考察を行った。

キーワード：第三紀層地すべり，調査方法，地すべり運動特性，防止工事効果判定，発生機構

